

برقی و مقناطیسیات

خالد خان یوسفزئی
 کامپیٹ انسٹیٹیوٹ آف انفارمیشن ٹیکنالوجی، اسلام آباد
 khalidyousafzai@comsats.edu.pk

عنوان

3

1	سمتیاں	1
1	مقداری اور سمتیہ	1.1
2	سمتی الجبرا	1.2
3	کارتیسی محدود	1.3
5	اکائی سمتیاں	1.4
9	میدانی سمتیہ	1.5
9	سمتی رقبہ	1.6
10	غیر سمتی ضرب	1.7
14	سمتی ضرب یا صلیبی ضرب	1.8
17	گول نلکی محدود	1.9
20	1.9.1 نلکی اکائی سمتیاں کا کارتسی اکائی سمتیاں کے ساتھ غیر سمتی ضرب	
20	1.9.2 نلکی اور کارتسی اکائی سمتیاں کا تعلق	
25	1.9.3 نلکی لامحدود سطحیں	
27	1.10 کروی محدود	
39	کولومب کا قانون	2
39	2.1 قوت کشش یا دفع	
43	2.2 برقی میدان کی شدت	
46	2.3 یکساں چارج بردار سیدھی لامحدود لکیر کا برقی میدان	
51	2.4 یکساں چارج بردار ہموار لامحدود سطح	
55	2.5 چارج بردار حجم	
56	2.6 مزید مثال	
64	2.7 برقی میدان کے سمت بہاؤ خط	

69 ²⁶	گاؤس کا قانون اور پھیلاؤ	3
69 ²⁷	ساکن چارج	3.1
69 ²⁸	فیراڈے کا تجربہ	3.2
70 ²⁹	گاؤس کا قانون	3.3
72 ³⁰	گاؤس کے قانون کا استعمال	3.4
72 ³¹	نقطہ چارج	3.4.1
74 ³²	یکساں چارج بردار کروی سطح	3.4.2
74 ³³	یکساں چارج بردار سیدھی لامحدود لکیر	3.4.3
75 ³⁴	ہم محوری تار	3.5
77 ³⁵	یکساں چارج بردار ہموار لامحدود سطح	3.6
77 ³⁶	انتہائی چھوٹی حجم پر گاؤس کے قانون کا اطلاق	3.7
80 ³⁷	پھیلاؤ	3.8
82 ³⁸	نلکی محدود میں پھیلاؤ کی مساوات	3.9
84 ³⁹	پھیلاؤ کی عمومی مساوات	3.10
86 ⁴⁰	مسئلہ پھیلاؤ	3.11
93 ⁴¹	توانائی اور برقی دباؤ	4
93 ⁴²	توانائی اور کام	4.1
94 ⁴³	لکیری تکملہ	4.2
99 ⁴⁴	برقی دباؤ	4.3
100 ⁴⁵	نقطہ چارج کا برقی دباؤ	4.3.1
101 ⁴⁶	لکیری چارج کثافت سے پیدا برقی دباؤ	4.3.2
102 ⁴⁷	ہم محوری تار کا برقی دباؤ	4.3.3
102 ⁴⁸	متعدد نقطہ چارجوں کی برقی دباؤ	4.4
106 ⁴⁹	برقی دباؤ کی ڈھلوان	4.5
110 ⁵⁰	نلکی محدود میں ڈھلوان	4.5.1
111 ⁵¹	کروی محدود میں ڈھلوان	4.5.2
112 ⁵²	جفت قطب	4.6
114 ⁵³	جفت قطب کے سمت بہاؤ خط	4.6.1
117 ⁵⁴	ساکن برقی میدان کی کثافت توانائی	4.7

125 ₈₅	5	موصل، ذو برق اور کیپسٹر
125 ₈₆	5.1	برقی رو اور کثافت برقی رو
127 ₈₇	5.2	استمراری مساوات
129 ₈₈	5.3	موصل
134 ₈₉	5.4	موصل کے خصوصیات اور سرحدی شرائط
137 ₉₀	5.5	عکس کی ترکیب
140 ₉₁	5.6	نیم موصل
141 ₉₂	5.7	ذو برق
146 ₉₃	5.8	کامل ذو برق کے سرحد پر برقی شرائط
150 ₉₄	5.9	موصل اور ذو برقی کے سرحدی شرائط
150 ₉₅	5.10	کیپسٹر
152 ₉₆	5.10.1	متوازی چادر کیپسٹر
153 ₉₇	5.10.2	ہم محوری کیپسٹر
153 ₉₈	5.10.3	ہم کوہ کیپسٹر
155 ₉₉	5.11	سلسلہ وار اور متوازی جڑے کیپسٹر
156 ₀₀	5.12	دو متوازی تاروں کا کیپسٹنس
169 ₀₁	6	پوٹنسن اور لاپلاس مساوات
171 ₀₂	6.1	مسئلہ یکنائی
173 ₀₃	6.2	لاپلاس مساوات خطی ہے
173 ₀₄	6.3	نلکی اور کروی محدود میں لاپلاس کی مساوات
174 ₀₅	6.4	لاپلاس مساوات کے حل
181 ₀₆	6.5	پوٹنسن مساوات کے حل کی مثال
183 ₀₇	6.6	لاپلاس مساوات کا ضربی حل
191 ₀₈	6.7	عددی دہرائے کا طریقہ

199 ₉	ساکن مقناطیسی میدان	7
199 ₀	بایوٹ-سیوارٹ کا قانون	7.1
203 ₁	ایمپیٹر کا دوری قانون	7.2
209 ₂	گردش	7.3
216 ₃	نلکی محدود میں گردش	7.3.1
222 ₄	عمومی محدود میں گردش کی مساوات	7.3.2
223 ₅	کروی محدود میں گردش کی مساوات	7.3.3
224 ₆	مسئلہ سٹوکس	7.4
228 ₇	مقناطیسی بہاؤ اور کثافت مقناطیسی بہاؤ	7.5
234 ₈	غیر سمتی اور سمتی مقناطیسی دباؤ	7.6
239 ₉	ساکن مقناطیسی میدان کے قوانین کا حصول	7.7
240 ₀	سمتی مقناطیسی دباؤ	7.7.1
241 ₁	ایمپیٹر کا دوری قانون	7.7.2
249 ₂	مقناطیسی قوتیں، مقناطیسی مادے اور امالہ	8
249 ₃	متحرک چارج پر قوت	8.1
250 ₄	تفرقی چارج پر قوت	8.2
253 ₅	برقی رو گزارتے تفرقی تاروں کے مابین قوت	8.3
255 ₆	قوت اور مروڑ	8.4
261 ₇	فولادی مقناطیسی اشیاء اور مقناطیسی خطے	8.5
262 ₈	مقناطیسیت اور مقناطیسی مستقل	8.6
265 ₉	مقناطیسی سرحدی شرائط	8.7
267 ₀₀	مقناطیسی دور	8.8
270 ₀₁	مقناطیسی مخفی توانائی	8.9
271 ₀₂	خود امالہ اور مشترکہ امالہ	8.10
275 ₀₃	مشترکہ امالہ	8.11

279 ₀₄	9	وقت کے ساتھ بدلنے میدان اور میکس ویل کے مساوات
279 ₀₅	9.1	فیراڈے کا قانون
285 ₀₆	9.2	انتقالی برقی رو
289 ₀₇	9.3	میکس ویل مساوات کی نقطہ شکل
290 ₀₈	9.4	میکس ویل مساوات کی تکمل شکل
292 ₀₉	9.5	تاخیری دباؤ
297 ₁₀	10	مستوی امواج
297 ₁₁	10.1	خالی خلاء میں برقی و مقناطیسی مستوی امواج
298 ₁₂	10.2	برقی و مقناطیسی مستوی امواج
305 ₁₃	10.2.1	خالی خلاء میں امواج
307 ₁₄	10.2.2	خالص یا کامل ذو برق میں امواج
309 ₁₅	10.2.3	ناقص یا غیر کامل ذو برقی میں امواج
312 ₁₆	10.3	پوئنٹنگ سمتیہ
316 ₁₇	10.4	موصل میں امواج
322 ₁₈	10.5	انعکاس مستوی موج
328 ₁₉	10.6	شرح ساکن موج
335 ₂₀	11	ترسیلی تار
335 ₂₁	11.1	ترسیلی تار کے مساوات
339 ₂₂	11.2	ترسیلی تار کے مستقل
340 ₂₃	11.2.1	ہم محوری تار کے مستقل
343 ₂₄	11.2.2	دو متوازی تار کے مستقل
344 ₂₅	11.2.3	سطح مستوی ترسیلی تار
345 ₂₆	11.3	ترسیلی تار کے چند مثال
350 ₂₇	11.4	ترسیمی تجزیہ، سمتیہ نقشہ
357 ₂₈	11.4.1	سمتہ فراوانی نقشہ
358 ₂₉	11.5	تجرباتی نتائج پر مبنی چند مثال

363 ₃₀	12	تقطیب موج
363 ₃₁	12.1	خطی، بیضوی اور دائری تقطیب
366 ₃₂	12.2	بیضوی یا دائری قطبی امواج کا پرنٹنگ سمتیہ
369 ₃₃	13	ترچھی آمد، انعکاس، انحراف اور انکسار
369 ₃₄	13.1	ترچھی آمد
380 ₃₅	13.2	ترسیم بائی گن
383 ₃₆	14	مویج اور گھمکیا
383 ₃₇	14.1	برقی دور، ترسیلی تار اور مویج کا موازنہ
384 ₃₈	14.2	دو لامحدود وسعت کے مستوی چادروں کے مویج میں عرضی برقی موج
390 ₃₉	14.3	کھوکھلا مستطیلی مویج
399 ₄₀	14.3.1	مستطیلی مویج کے میدان پر تفصیلی غور
406 ₄₁	14.4	مستطیلی مویج میں عرضی مقناطیسی TM_{mn} موج
410 ₄₂	14.5	کھوکھلی نالی مویج
417 ₄₃	14.6	انقطاعی تعدد سے کم تعدد پر تضعیف
419 ₄₄	14.7	انقطاعی تعدد سے بلند تعدد پر تضعیف
421 ₄₅	14.8	سطحی موج
426 ₄₆	14.9	ذو برق تختی مویج
429 ₄₇	14.10	شیش ریشہ
432 ₄₈	14.11	پردہ بصارت
434 ₄₉	14.12	گھمکی خلاء
437 ₅₀	14.13	میکس ویل مساوات کا عمومی حل

- 445⁵² تعارف 15.1
- 445⁵³ تاخیری دباؤ 15.2
- 447⁵⁴ تکمل 15.3
- 448⁵⁵ مختصر جفت قطبی اینٹینا 15.4
- 456⁵⁶ مختصر جفت قطب کا اخراجی مزاحمت 15.5
- 460⁵⁷ ٹھوس زاویہ 15.6
- 461⁵⁸ اخراجی رقبہ، سمتیت اور افزائش 15.7
- 468⁵⁹ قطاری ترتیب 15.8
- 468⁶⁰ 15.8.1 غیر سمتی، دو نقطہ منبع
- 469⁶¹ 15.8.2 ضرب نقش
- 470⁶² 15.8.3 ثنائی قطار
- 472⁶³ 15.8.4 یکساں طاقت کے متعدد رکن پر مبنی قطار
- 474⁶⁴ 15.8.5 یکساں طاقت کے متعدد رکن پر مبنی قطار: چوڑائی جانب اخراجی قطار
- 474⁶⁵ 15.8.6 یکساں طاقت کے متعدد رکن پر مبنی قطار: لمبائی جانب اخراجی قطار
- 478⁶⁶ 15.8.7 یکساں طاقت کے متعدد رکن پر مبنی قطار: بدلنے زاویہ اخراجی اینٹینا
- 479⁶⁷ 15.9 تداخل پیم
- 480⁶⁸ 15.10 مسلسل خطی اینٹینا
- 481⁶⁹ 15.11 مستطیل سطحی اینٹینا
- 484⁷⁰ 15.12 اخراجی سطح پر میدان اور دور میدان آپس کے فوریئر بدل ہیں
- 484⁷¹ 15.13 خطی اینٹینا
- 489⁷² 15.14 چلتے موج اینٹینا
- 490⁷³ 15.15 چھوٹا گھیرا اینٹینا
- 491⁷⁴ 15.16 پیچ دار اینٹینا
- 493⁷⁵ 15.17 دو طرفہ کردار
- 495⁷⁶ 15.18 جھری اینٹینا
- 496⁷⁷ 15.19 پیپا اینٹینا
- 498⁷⁸ 15.20 فرانس ریڈار مساوات
- 501⁷⁹ 15.21 ریڈیائی دوربین، اینٹینا کی حرارت اور تحلیلی کارکردگی
- 503⁸⁰ 15.22 حرارت نظام اور حرارت بعید

ساکن مقناطیسی میدان

برقی میدان کا منبع برقی چارج ہے جس پر باب 2 میں تفصیلی غور کیا گیا۔ مقناطیسی میدان کا منبع یا تو مقناطیس ہو سکتا ہے، یا وقت کے ساتھ بدلتا برقی میدان اور یا پھر برقی رو۔ اس کتاب میں مقناطیس سے پیدا ہونے والے مقناطیسی میدان پر غور نہیں کیا جائے گا۔ وقت کے ساتھ بدلتے برقی میدان سے پیدا مقناطیسی میدان پر یا ایک اور باب میں غور کیا جائے گا جبکہ اس باب میں برقی رو سے پیدا ساکن مقناطیسی میدان پر غور کیا جائے گا۔

7.1 بایوٹ-سیوارٹ کا قانون

برقی رو اور اس سے پیدا مقناطیسی میدان کا تعلق **بایوٹ-سیوارٹ**¹ کا قانون²

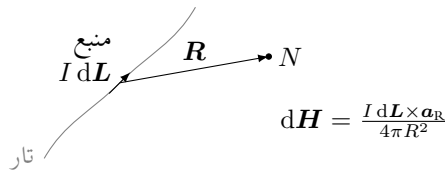
$$(7.1) \quad d\mathbf{H} = \frac{I d\mathbf{L} \times \mathbf{a}_R}{4\pi R^2}$$

بیان کرتا ہے جہاں سے مقناطیسی شدت H کی اکائی ایمپیئر فی میٹر ($\frac{A}{m}$) حاصل ہوتی ہے۔ آئیں شکل 7.1 کی مدد سے اس قانون کا مطلب سمجھیں۔

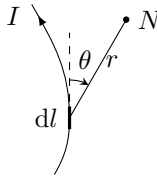
یہ قانون باریک تار کے انتہائی چھوٹے حصے dL جس میں I برقی رو گزر رہی ہو سے نقطہ N پر پیدا اسمتی برقی میدان H دیتا ہے۔ نقطہ N باریک تار کے چھوٹے حصے R فاصلے پر ہے۔ باریک تار سے مراد ایسی ٹھوس نکلی نما موصل تار ہے جس کے رقبہ عمودی تراش کا رداس کم سے کمتر ہو۔ چھوٹے لمبائی dL کی سمت برقی رو کی سمت میں ہے جبکہ $I dL$ منبع مقناطیسی میدان ہے۔

Biot-Savart law¹

² یہ قانون فرانس کے بایوٹ اور سیوارٹ نے 1820 میں پیش کیا۔ یہ دونوں ایپینٹر کے ساتھی تھے۔



شکل 7.1: بایوٹ سیوارٹ کا قانون۔



شکل 7.2: تار کے چھوٹے حصے سے پیدا میدان۔

مقناطیسی شدت کی قیمت برقی رو ضرب باریک چھوٹی تار کی لمبائی $I dL$ اور a_R کے سمتی ضرب کے برائے راست تناسب جبکہ ان کے مابین فاصلہ R کے مربع کے بالعکس تناسب رکھتی ہے۔ تناسبی مستقل $\frac{1}{4\pi}$ ہے۔

2003

بایوٹ-سیوارٹ کے قانون کا موازنہ کولومب کے قانون کے ساتھ کرنے کی غرض سے دونوں مساوات کو ایک ساتھ لکھتے ہیں۔

$$dH_2 = \frac{I_1 dL_1 \times a_{R21}}{4\pi R_{21}^2} \quad (7.2)$$

$$dE_2 = \frac{dQ_1 a_{R21}}{4\pi \epsilon_0 R_{21}^2}$$

ان مساوات میں زیر نوشت میں 2 اس مقام کو ظاہر کرتی ہے جہاں میدان کی قیمت حاصل کی گئی ہے جبکہ زیر نوشت میں 1 میدان کے منبع کے مقام کو ظاہر کرتی ہے۔ دونوں میدان فاصلے کے مربع کا بالعکس تناسب رکھتے ہیں۔ دونوں اقسام کے میدان کی شدت اور میدان کی منبع کا خطی تعلق ہے۔ دونوں میں فرق میدان کی سمت کا ہے۔ برقی میدان کی سمت منبع سے اس نقطہ کی جانب ہے جس پر میدان حاصل کیا جا رہا ہو۔ مقناطیسی میدان کی سمت سمتی ضرب کے دائیں ہاتھ کے قانون سے حاصل ہوتی ہے۔

2007

شکل 7.2 میں تار کے چھوٹے حصے dl سے نقطہ N پر مقناطیسی میدان کی مقدار

$$dH = \frac{I dl \sin \theta}{4\pi r^2} \quad (7.3)$$

2008

ہوگا۔

بایوٹ-سیوارٹ کے قانون کو مساوات 7.1 کی شکل میں تجرباتی طور پر ثابت نہیں کیا جاسکتا چونکہ باریک تار کی چھوٹی لمبائی میں برقی رو تب گزرے گی جب برقی رو اس چھوٹی تار تک پہنچائی جائے۔ جو تار اس تک برقی رو پہنچائے گی، وہ بھی مقناطیسی میدان پیدا کرے گی۔ انہیں علیحدہ علیحدہ نہیں کیا جاسکتا۔ ہم فی الحال صرف ایک سمتی برقی رو کی بات کر رہے ہیں۔ ایک سمتی برقی رو کی صورت میں وقت کے ساتھ حجمی چارج کثافت تبدیل نہیں ہوگا لہذا صفحہ 129 پر دئے استمراری مساوات

$$\nabla \cdot \mathbf{J} = -\frac{\partial \rho_h}{\partial t}$$

سے

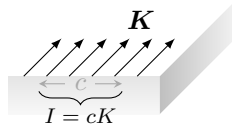
$$\nabla \cdot \mathbf{J} = 0 \quad (7.4)$$

حاصل ہوگا جسے مسئلہ پھیلاؤ کی مدد سے

$$\oint_S \mathbf{J} \cdot d\mathbf{S} = 0$$

لکھا جاسکتا ہے۔ یہ مساوات کہتی ہے کہ کسی بھی بند سطح سے گزرتی ہوئی برقی رو صفر کے برابر ہے۔ یہ صرف اس صورت ممکن ہے جب برقی رو کسی بند راہ پر گزر رہی ہو۔ ہمیں ایسی ہی مکمل بند راہ کے برقی رو کے اثر کو دیکھنا ہوگا ناکہ تار کے کسی چھوٹے حصے کے برقی رو کو۔

2010



شکل 7.3: سطحی کثافت برقی رو کے c چوڑائی میں کل cK برقی رو ہو گا۔

یوں بايوٹ-سيوارٹ قانون کی مکمل شکل

$$(7.5) \quad H = \oint \frac{I dL \times a_R}{4\pi R^2}$$

2011

ہی تجرباتی طور ثابت کی جاسکتی ہے۔

مساوات 7.1 سے مساوات 7.5 لکھی جاسکتی ہے۔ البتہ مساوات 7.5 میں مکمل کے اندر کوئی بھی ایسی اضافی تفاعل شامل کیا جاسکتا ہے جس کا بند مکمل صفر کے برابر ہو۔ مقداری میدان کا ڈھلوان ہر صورت بقائی میدان ہوتا ہے لہذا مساوات 7.5 میں ∇G کے شمول سے اس کے جواب میں کوئی فرق نہیں پڑے گا۔ G کوئی بھی مقداری میدان ہو سکتا ہے۔

2014

واقع رہے کہ کسی بھی نقطے پر مقناطیسی میدان مکمل برقی دور کے اثر کو شامل کرنے سے ہی حاصل کیا جاسکتا ہے۔ برقی رو گزارتی تار کے کچھ حصے کے میدان یا ایسے میدان سے پیدا قوت کی بات بے معنی ہوگی۔

2016

شکل 7.3 میں یکساں سطحی کثافت برقی رو K دکھایا گیا ہے۔ سطحی کثافت برقی رو کو ایمپیر فی اکائی چوڑائی پیش کیا جاتا ہے لہذا c چوڑائی کے حصے میں

$$I = cK$$

برقی رو ہو گا۔ اگر کثافت برقی رو یکساں نہ ہو تب کسی بھی چوڑائی میں کل برقی تو بذریعہ مکمل

$$I = \int K dc$$

حاصل ہوگی جہاں dc چوڑائی کا چھوٹا حصہ ہے۔ یوں dL کو سطحی کثافت برقی رو K یا جمعی کثافت برقی رو J کی صورت میں

(7.6)

$$I dL = K dS = J dh$$

لکھا جاسکتا ہے۔ یوں بايوٹ-سيوارٹ کے قانون کو

(7.7)

$$H = \int_S \frac{K \times a_R dS}{4\pi R^2}$$

یا

(7.8)

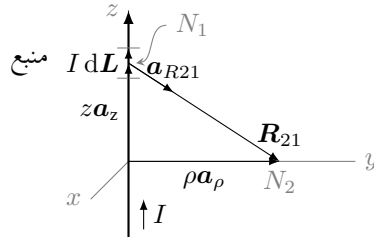
$$H = \int_h \frac{J \times a_R dh}{4\pi R^2}$$

2017

لکھا جاسکتا ہے۔

آئیں سیدھی لامحدود لمبائی کی تار جس میں سے برقی رو گزر رہی ہو کی مقناطیسی میدان بايوٹ-سيوارٹ کے قانون سے حاصل کریں۔ شکل 7.4 میں صورت حال دکھائی گئی ہے۔ اس تار کے دونوں سرے لامحدود فاصلے پر ہیں۔ تار کے قریب نقطہ N_2 پر مقناطیسی میدان کا بیشتر حصہ تار کے اس حصے کی وجہ سے ہو گا جہاں N_2 کے قریب ہو۔ یوں لامحدود فاصلے پر تار کے سروں تک برقی رو پہنچانے والی تار کا نقطہ N_2 پر اثر کو نظر انداز کرتے ہوئے آگے بڑھتے ہیں۔

2020



شکل 7.4: سیدھی لامحدود تار سے پیدا مقناطیسی میدان

نقطہ N_1 پر تار کے چھوٹے حصے dL میں برقی رو کو منبع مقناطیسی میدان تصور کرتے ہوئے مساوات 7.1 کی مدد سے نقطہ N_2 پر مقناطیسی میدان لکھی جاسکتی ہے۔ چونکہ

$$\mathbf{R}_{21} = \rho \mathbf{a}_\rho - z \mathbf{a}_z$$

کے برابر ہے لہذا

$$R_{21} = |\mathbf{R}_{21}| = \sqrt{\rho^2 + z^2}$$

$$\mathbf{a}_R = \frac{\mathbf{R}_{21}}{|\mathbf{R}_{21}|} = \frac{\rho \mathbf{a}_\rho - z \mathbf{a}_z}{\sqrt{\rho^2 + z^2}}$$

لکھے جاسکتے ہیں۔ نکلی محدود میں چھوٹی لمبائی

$$dL = d\rho \mathbf{a}_\rho + \rho d\phi \mathbf{a}_\phi + dz \mathbf{a}_z$$

لکھی جاتی ہے۔ چونکہ یہاں $d\rho = 0$ اور $d\phi = 0$ ہیں لہذا $dL = dz \mathbf{a}_z$ لکھتے ہوئے مساوات 7.1 کو

$$dH_2 = \frac{I dz \mathbf{a}_z \times (\rho \mathbf{a}_\rho - z \mathbf{a}_z)}{4\pi(\rho^2 + z^2)^{\frac{3}{2}}}$$

لکھا جاسکتا ہے۔ پورے تار کا مقناطیسی میدان اس مساوات کے مکمل سے حاصل ہوگا جہاں مکمل $-\infty$ تا $+\infty$ حاصل کیا جائے گا۔ اس طرح

$$H_2 = \int_{-\infty}^{\infty} \frac{I dz \mathbf{a}_z \times (\rho \mathbf{a}_\rho - z \mathbf{a}_z)}{4\pi(\rho^2 + z^2)^{\frac{3}{2}}}$$

$$= \frac{I\rho}{4\pi} \int_{-\infty}^{\infty} \frac{\mathbf{a}_\phi dz}{(\rho^2 + z^2)^{\frac{3}{2}}}$$

لکھا جاسکتا ہے جہاں صفحہ 18 پر مساوات 1.23 کی مدد سے $\mathbf{a}_\phi = \mathbf{a}_z \times \mathbf{a}_\rho$ جبکہ مساوات 1.24 کی مدد سے $\mathbf{a}_z \times \mathbf{a}_z = 0$ لکھے گئے ہیں۔

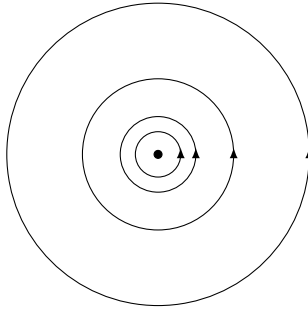
مندرجہ بالا مساوات میں مکمل کے اندر \mathbf{a}_ϕ پر نظر رکھنی ہوگی۔ اگرچہ \mathbf{a}_ϕ کا کئی سمتیہ ہے لہذا اس کی لمبائی تبدیل نہیں ہو سکتی البتہ یہ دیکھنا ضروری ہے کہ آیا مکمل کا متغیر یعنی z تبدیل کرنے سے \mathbf{a}_ϕ کی سمت تو تبدیل نہیں ہوتی۔ صفحہ 21 پر مساوات 1.34 کے تحت

$$\mathbf{a}_\phi = -\frac{y}{\sqrt{x^2 + y^2}} \mathbf{a}_x + \frac{x}{\sqrt{x^2 + y^2}} \mathbf{a}_y$$

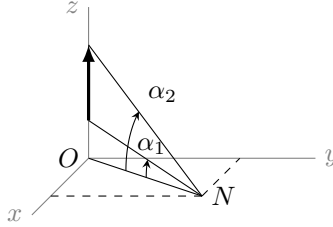
لکھا جاسکتا ہے۔ آپ دیکھ سکتے ہیں کہ z تبدیل کرنے سے \mathbf{a}_ϕ پر کوئی اثر نہیں پڑتا لہذا \mathbf{a}_ϕ کو مکمل کے باہر منتقل کیا جاسکتا ہے۔ یوں

$$H_2 = \frac{I\rho \mathbf{a}_\phi}{4\pi} \int_{-\infty}^{\infty} \frac{dz}{(\rho^2 + z^2)^{\frac{3}{2}}}$$

$$= \frac{I\rho \mathbf{a}_\phi}{4\pi} \left. \frac{z}{\rho^2 \sqrt{\rho^2 + z^2}} \right|_{-\infty}^{+\infty}$$



شکل 7.5: سیدھی لمبی تار کا مقناطیسی میدان تار کے گرد دائرے بناتا ہے۔ برقی رو صفحے سے باہر نکل رہی ہے۔



شکل 7.6: سیدھی محدود لمبائی کے تار کی مقناطیسی شدت۔

سے

$$(7.10) \quad H_2 = \frac{I}{2\pi\rho} a_\phi$$

حاصل ہوتا ہے۔ شکل 7.5 میں برقی رو صفحے سے باہر نکل رہی ہے جبکہ گول دائرے مقناطیسی میدان کو ظاہر کرتے ہیں۔ اگر تار کو دائیں ہاتھ سے یوں پکڑا جائے کہ انگوٹھا برقی رو کی سمت میں ہو تب اس ہاتھ کی انگلیاں تار کے گرد مقناطیسی میدان کی سمت میں لپٹی ہوں گی۔ آپ دیکھ سکتے ہیں کہ یہ مقناطیسی میدان نا تو z اور ϕ زاویہ کے ساتھ تبدیل ہوتا ہے۔ اس کی قیمت صرف تار سے فاصلے پر منحصر ہے۔

2024

اگر شکل 7.4 میں تار لا محدود نہ ہو تب مساوات 7.6 میں مکمل کے محدود حد وپر کرنے سے مقناطیسی میدان کی شدت

$$(7.11) \quad H = \frac{I}{4\pi\rho} (\sin \alpha_2 - \sin \alpha_1) a_\phi$$

حاصل ہوتی ہے جہاں شکل 7.6 میں α_1 اور α_2 کی نشاندہی کی گئی ہے۔ تار کا نچلا سرا xy سطح یعنی $z = 0$ سطح سے نیچے ہونے کی صورت میں α_1 کی قیمت منفی ہوگی۔ کچھ تار کے دوسرے سرے اور α_2 کے لئے بھی درست ہے۔

2026

7.2 ایمپیٹر کا دوری قانون

کولومب کے قانون کی مدد سے مختلف طرز پر پائے جانے والے چارج کے برقی میدان حاصل کرنے کے بعد ہم نے گاؤس کا قانون اخذ کیا جس سے ہماری زندگی نہایت آسان ہو گئی۔ گاؤس کے قانون کی مدد سے متشکل چارج سے پیدا برقی میدان انتہائی آسانی سے حاصل ہوتا ہے۔ متشکل برقی رو کے مقناطیسی میدان حاصل کرنے کا بھی انتہائی آسان طریقہ موجود ہے جسے **ایمپیٹر کا دوری قانون**³ کہتے ہیں۔ اس قانون کو بایوٹ-سیوارٹ کے قانون سے حصہ 7.7.2 میں حاصل کیا گیا ہے۔ فی الحال

ہم اس قانون کو استعمال کرنا سیکھتے ہیں۔ اس قانون کے استعمال کے وقت مسئلے پر غور کرتے ہوئے بغیر حساب و کتاب کے فیصلہ کیا جاتا ہے کہ مقناطیسی میدان کے کون کون سے اجزاء موجود نہیں ہونے چاہئے۔ یہ فیصلہ برقی رو کے راستے کو دیکھ کر کیا جاتا ہے۔

2032

ایمپیر کادوری قانون کہتا ہے کہ یک سمتی برقی رو کے گرد کسی بھی راہ H کا لکیری بند مکمل گھیرے برقی رو کے برابر ہوگا یعنی

$$\oint H \cdot dL = I \quad (7.12)$$

لکیری بند مکمل کی سمت میں برقی رو کے گرد دائیں ہاتھ کی انگلیاں گھمانے سے اسی ہاتھ کا انگوٹھا مثبت برقی رو کی سمت دے گا۔ ایسا کرتے وقت انگوٹھے کا ہتھکڑی چار انگلیوں کے عمودی رکھا جاتا ہے۔

2034

کسی بھی راہ H کے لکیری مکمل سے مراد اس راہ کو انتہائی چھوٹے چھوٹے ٹکڑوں dL میں تقسیم کر کے ہر ٹکڑے پر H کی قیمت استعمال کرتے ہوئے $H_{2035} dL$ حاصل کر کے تمام $H \cdot dL$ کا مجموعہ حاصل کرنا ہے۔ مقناطیسی شدت H کی قیمت مختلف مقامات پر عموماً مختلف ہوگی۔ یوں کسی ایک نقطے پر $H_{2036} dL$ کی قیمت کسی دوسرے نقطے کے $H \cdot dL$ سے مختلف ہوگی۔ ایمپیر کادوری قانون کہتا ہے کہ اگرچہ یک سمتی برقی رو کے گرد دو مختلف بند راہوں پر جگہ جگہ $H \cdot dL$ کی قیمتیں مختلف ہوں گی لیکن دونوں راہ پر ان کا مجموعہ عین برقی رو کے برابر ہوگا۔

2038

کسی بھی سطح کا محیط، بند راہ ہوتی ہے۔ اسی طرح کوئی بھی بند راہ، لامحدود سطحوں کا محیط ہوتا ہے۔ یوں بند راہ کا گھیرا ہوا برقی روان تمام سطحوں کو چھیرتا ہوا گردشے گا جن کا محیط یہ بند راہ ہو۔

2040

گاؤس کے قانون کا استعمال تب ممکن ہوتا ہے جب بند سطح میں کل برقی چارج معلوم ہو۔ ایمپیر کادوری قانون اس صورت استعمال کیا جاسکتا ہے جب بند راہ میں گھیرا کل یک سمتی برقی رو معلوم ہو۔

2042

آئیں شکل 7.4 میں دکھائے گئے برقی رو گزارتے سیدھی لامحدود لمبائی کے تار کی مقناطیسی شدت ایمپیر کے دوری قانون یعنی مساوات 7.12 کی مدد سے حساب کر لیں۔ اس مساوات کو استعمال کرتے ہوئے برقی رو کے گرد راہ یوں چنی جاتی ہے کہ اس پر H اور dL یا تو آپس میں عمودی ہوں اور یا H کی قیمت قطعاً اور اس کی سمت dL کے متوازی ہو۔ پہلی صورت میں دونوں متغیرات کے مابین نوے درجے کا زاویہ ہے اور $\cos 90 = 0$ ہوتا ہے لہذا $H \cdot dL$ صفر کے برابر ہو گا اور یوں راہ کے اس حصے پر مکمل صفر کے برابر ہوگا۔ دوسری صورت میں متغیرات کے مابین صفر درجے کا زاویہ ہے اور $\cos 0 = 1$ ہوتا ہے لہذا $H_{2046} dL$ کو $H dL$ لکھا جاسکتا ہے اور ساتھ ہی ساتھ مقناطیسی شدت کی قیمت قطعی ہونے کی وجہ سے H کو مکمل کے باہر لے جایا جاسکتا ہے۔ یوں راہ کے اس راستے پر مکمل کی قیمت HL کے برابر ہوگی جہاں L راہ کے اس حصے کی لمبائی ہے۔

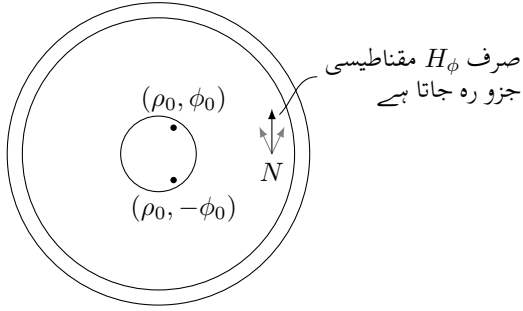
2048

تار کے گرد اور اس کے ساتھ ساتھ حرکت کرنے سے واضح ہوتا ہے کہ مسئلے کی نوعیت نا تو تار کے گرد زاویہ ϕ پر اور نہ ہی محدود ϕ پر منحصر ہے۔ تار سے دور یا اس کے قریب ہونے سے ہی مسئلے کی نوعیت میں تبدیلی آتی ہے۔ یوں صاف ظاہر ہے کہ مقناطیسی شدت صرف ρ پر منحصر ہو سکتی ہے۔ اسی طرح باؤٹ-سیوارٹ کے قانون کو مد نظر رکھتے ہوئے ہم دیکھ سکتے ہیں کہ مقناطیسی شدت α_ϕ سمت رکھتی ہے یعنی اس کا صرف H_ϕ جزو پایا جائے گا۔ یوں اگر ρ تبدیل کئے بغیر تار کے گرد چلا جائے تو ہم یقین رکھ سکتے ہیں کہ H کی حتمی قیمت H_ϕ تبدیل نہیں ہوگی۔ ساتھ ہی ساتھ اس راہ پر کسی بھی نقطے پر $dL = \rho d\alpha_\phi$ اور $H_\phi \alpha_\phi$ آپس میں متوازی ہوں گے لہذا ایمپیر کے دوری قانون سے

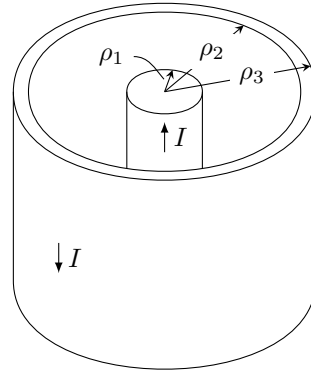
$$\oint H \cdot dL = \int_0^{2\pi} H_\phi \rho d\phi = H_\phi \rho \int_0^{2\pi} d\phi = H_\phi 2\pi \rho = I$$

یا

$$H_\phi = \frac{I}{2\pi\rho}$$



(ب) رداسی اجزاء آپس میں ختم ہو جاتے ہیں اور یوں صرف زاویائی جزو رہ جاتا ہے۔



(ا) ہم محوری تار کے اندرونی تار میں مثبت جبکہ بیرونی تار میں منفی برقی رو ہے۔

شکل 7.7: ہم محوری تار۔

حاصل ہوتا ہے جو ہم پہلے بھی حاصل کر چکے ہیں۔

ایمپیر کے دوری قانون کے استعمال کی دوسری مثال کی خاطر ہم شکل 7.7 میں دکھائے گئے ہم محوری تار لیتے ہیں۔ فرض کریں کہ z محدود پڑی ایسی لامحدود لمبائی کے ہم محوری تار کے اندرونی حصے میں I اور اس کے بیرونی سطح میں I - برقی رو گزر رہی ہے۔ اندرونی موصل موٹی ساخت کے تار کو نہایت پتلی فرضی تاروں کا مجموعہ تصور کیا جاسکتا ہے۔ آئیں ان پتلی فرضی تاروں سے نقطہ N پر پیدا مقناطیسی شدت پر غور کریں۔ نقطہ N کو کارٹیزی محدود کے x محدود پر رکھتے ہوئے مسئلے کی نوعیت شکل 7.7-ب میں دکھائی گئی ہے۔ پچھلی مثال سے یہ واضح ہے کہ ایسی کسی بھی پتلی تار کی مقناطیسی شدت میں H_z جزو نہیں پایا جاتا۔ ساتھ ہی ساتھ ہم یہ بھی جانتے ہیں کہ ایسی تار کی مقناطیسی شدت تار کے گرد گول دائرہ بناتی ہے۔ کسی بھی فرضی تار جو (ρ_0, ϕ_0) پر پائی جاتی ہو N پر ΔH_ρ اور ΔH_ϕ اجزاء پیدا کرے گی ایسی طرح $(\rho_0, -\phi_0)$ پر پتلی تار سے پیدا مقناطیسی شدت کے بھی ایسے رداسی اور زاویائی اجزاء ہوں گے۔ ان دونوں پتلی تاروں کے رداسی اجزاء آپس میں الٹ بیٹ میں ہوں گے لہذا یہ ایک دوسرے کو ختم کریں گے جبکہ زاویائی اجزاء ایک ہی سمت میں ہوتے ہیں لہذا N پر صرف زاویائی جزو پایا جائے گا۔

اندرونی ٹھوس موصل تار کے گرد ایسا گول دائرہ لیتے ہیں جس کا رداس ρ اندرونی تار کے رداس ρ_1 سے زیادہ مگر بیرونی تار کے اندرونی رداس ρ_2 سے کم ہو۔ اس راہ پر ہم ایمپیر کے دوری قانون کی مدد سے

$$H_\phi = \frac{I}{2\pi\rho} \quad (\rho_1 < \rho < \rho_2) \quad (7.13)$$

لکھ سکتے ہیں۔

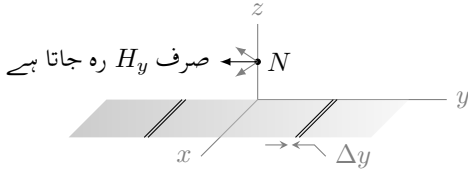
اندرونی تار کا رقبہ عمودی تراش $\pi\rho_1^2$ ہے لہذا اس میں کثافت برقی رو $\frac{I}{\pi\rho_1^2}$ ہوگی۔ اگر ρ کو اندرونی ٹھوس موصل تار کے رداس ρ_1 سے کم رکھا جائے تب یہ

راہ

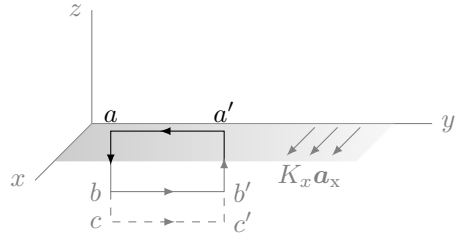
$$I_{\text{ہم}} = \frac{I}{\pi\rho_1^2} \pi\rho^2 = \frac{\rho^2}{\rho_1^2} I$$

برقی رو کو گھیرے گا لہذا ایمپیر کے دوری قانون کے تحت اندرونی ٹھوس تار میں

$$H_\phi = \frac{\rho I}{2\pi\rho_1^2} \quad (\rho < \rho_1)$$



(ب) کسی بھی نقطے کے دونوں جانب فرضی تاروں کے H_z اجزاء آپس میں ختم ہو جاتے ہیں جبکہ ان کے H_y اجزاء جمع ہوتے ہیں۔



(ا) لامحدود جسامت کے موصل سطح پر سطحی کثافت برقی رو۔

شکل 7.8: لامحدود سطحی کثافت برقی رو۔

مقناطیسی شدت پایا جائے گا۔ اسی طرح اگر ρ کو بیرونی تار کے بیرونی رداس ρ_3 سے زیادہ رکھا جائے تب یہ راہ اندرونی تار کے $I + I$ اور بیرونی تار کے $I - I$ کو گھیرے گی لہذا یہ کل $I - I = 0$ برقی رو کو گھیرے گا لہذا

$$H_\phi = 0 \quad (\rho_3 < \rho)$$

ہوگا۔ آخر میں اس صورت کو بھی دیکھتے ہیں جب ρ بیرونی تار کے اندر پایا جائے۔ ایسی صورت میں یہ راہ

$$I_{\text{گھیر}} = I - \left(\frac{\rho^2 - \rho_2^2}{\rho_3^2 - \rho_2^2} \right) I = \left(\frac{\rho_3^2 - \rho^2}{\rho_3^2 - \rho_2^2} \right) I$$

برقی رو گھیرے گی لہذا بیرونی تار میں

$$H_\phi = \frac{I}{2\pi\rho} \left(\frac{\rho_3^2 - \rho^2}{\rho_3^2 - \rho_2^2} \right) \quad (\rho_2 < \rho < \rho_3)$$

ہوگا۔

ہم محوری تار کے باہر مقناطیسی شدت صفر کے برابر ہے۔ اس کی وجہ یہ ہے کہ تار کے باہر کوئی بھی بند گول دائرہ اندرونی تار کی برقی رو I اور بیرونی تار کی برقی رو $-I$ دونوں کو گھیرتا ہے۔ یہ دونوں برابر مقدار مگر الٹ سمت کے برقی رو ہر نقطے پر برابر مگر الٹ سمت میں مقناطیسی شدت پیدا کرتے ہیں جن کا مجموعہ صفر کے برابر ہوتا ہے۔ ہم محوری تار کی یہ خاصیت کہ یہ بیرون تار کسی قسم کا مقناطیسی میدان نہیں پیدا کرتا انتہائی اہمیت کا حامل ہے۔ ہم محوری تار کی خاصیت کی بنا پر ہر ایسی جگہ پر استعمال کیا جاتا ہے جہاں تار میں پائے گئے برقی اشارات سے بیرونی تار کسی قسم کا اثر ناقابل برداشت ہو۔

ایمپیر کے دوری قانون کے استعمال کی تیسری مثال کو شکل 7.8-الف میں دکھایا گیا ہے جہاں $z = 0$ لامحدود چوڑائی اور لامحدود لمبائی کے موصل سطح پر $K_x a_x$ سطحی کثافت برقی رو گزر رہی ہے۔ ہمیں اس سطح کے قریب نقطہ N پر مقناطیسی شدت حاصل کرنے سے دلچسپی ہے۔ سطح کے $x = +\infty$ سرے سے $x = -\infty$ سرے تک برقی رو بذریعہ دو لامحدود چوڑائی کے موصل سطحوں سے واپس پہنچتی ہے۔ یہ سطحیں $z = +\infty$ اور $z = -\infty$ پر پائی جاتی ہیں۔ ساتنی دور سطحوں کے اثر کو نقطہ N پر نظر انداز کیا جاسکتا ہے۔

موصل سطح کو Δy چوڑائی کی فرضی تاروں میں تقسیم کیا جاسکتا ہے۔ ایسا شکل 7.8-ب میں دکھایا گیا ہے۔ یوں ہر ایسی فرضی تار $K_x \Delta y a_x$ برقی رو گزارتی ہے۔ لامحدود تار کے مقناطیسی میدان سے ہم بخوبی واقف ہیں۔ ایسی کسی بھی فرضی تار کی برقی رو H_x جزو پیدا نہیں کرے گا۔ سطح پر N کے ایک جانب فرضی تار کا H_z جزو سطح پر N کے دوسری جانب فرضی تار کے H_z جزو کو ختم کرتا ہے جبکہ ان کے H_y اجزاء مل کر دو گنی مقناطیسی شدت پیدا کرتے ہیں۔ اس طرح مقناطیسی شدت کا صرف اور صرف H_y جزو ممکن ہے۔

شکل 7.8-الف میں موصل سطح کے کچھ حصے کو گھیرتی ہوئی مستطیلی راہ $a'abb'$ دکھائی گئی ہے جس کے اطراف y_1 اور $2z_1$ لمبائی رکھتے ہیں۔ اس راہ کے z_1 حصوں پر مقناطیسی شدت صفر کے برابر ہے لہذا اس حصے پر مقناطیسی شدت کا مکمل بھی صفر کے برابر ہوگا۔ راہ کے y_1 اطراف سطح سے دونوں جانب z_1 فاصلے پر ہیں۔ سطح

کے دونوں اطراف بالکل یکساں مشابہت رکھتے ہیں۔ باؤٹ-سیوارٹ کے قانون سے آپ دیکھ سکتے ہیں کہ سطحی کثافت برقی رو موصل سطح کے اوپر جانب $-H_{ya}a_y$ جبکہ اس کے چُلی جانب $+H_{yb}a_y$ مقناطیسی شدت پیدا کرتا ہے۔ مستطیلی راہ Ky_1 برقی رو کو گھیرتی ہے لہذا ایمپیر کے دوری قانون کے تحت

$$H_{ya}y_1 + H_{yb}y_1 = K_x y_1$$

یا

$$(7.14) \quad H_{ya} + H_{yb} = K_x$$

ہوگا۔ اب اگر موصل سطح کے ایک جانب مستطیلی راہ کا y_1 حصہ قدر دور کرتے ہوئے z_2 فاصلے پر کر دیا جائے تب مندرجہ بالا مساوات

$$H_{ya} + H_{yc} = K_x$$

صورت اختیار کر لے گی جس سے صاف ظاہر ہے کہ H_{yb} اور H_{yc} عین برابر ہیں یعنی مقناطیسی شدت کا دار و مدار سطح سے فاصلے پر ہر گز نہیں ہے۔ اس طرح تمام ایسے نقطے جو مثبت z پر پائے جاتے ہوں پر مقناطیسی شدت یک برابر ہوگی۔ یہی کچھ تمام ایسے نقطوں کے لئے بھی درست ہے جو منفی z پر پائے جاتے ہوں۔²⁰⁷²

سطح کے دونوں اطراف بالکل یکساں مشابہت رکھتے ہیں لہذا دونوں جانب مقناطیسی شدت بھی برابر ہوگا یعنی $|H_{ya}| = |H_{yb}|$ ہوگا۔ اس طرح مساوات 7.14 سے $H_{ya} = H_{yb} = H_y = \frac{K_x}{2}$ لکھتے ہوئے

$$H_y = -\frac{1}{2}K_x a_x \quad (z > 0)$$

$$H_y = +\frac{1}{2}K_x a_x \quad (z < 0)$$

حاصل ہوتا ہے جسے بہتر طور پر

$$(7.15) \quad H = \frac{1}{2}K \times a_N$$

لکھا جاسکتا ہے جہاں a_N موصل سطح کی عمودی اکائی سمتیہ ہے۔

اگر $z = -h$ پر دوسری لامحدود موصل سطح رکھی جائے جس میں سطحی کثافت برقی رو $K_x a_x$ ہو تب دونوں سطحی کثافت برقی رو کی مجموعی مقناطیسی شدت

$$(7.16) \quad \begin{aligned} H &= K \times a_N & (-h < z < 0) \\ H &= 0 & (z < -h, \quad z > 0) \end{aligned}$$

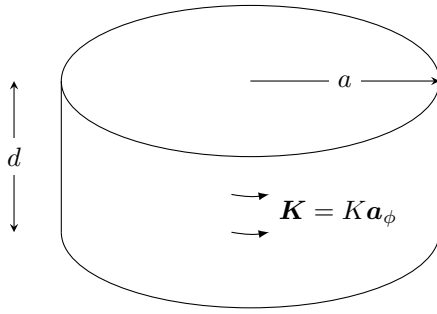
ہوگی۔

ایمپیر کے دوری قانون کے استعمال میں سب سے مشکل کام ایسی راہ تلاش کرنا ہے جس پر مقناطیسی میدان یا راہ کے عمودی ہو اور یا پھر اس کی قیمت مستقل ہو۔ جہاں قبل از وقت ایسا جاننا ممکن نہ ہو وہاں باؤٹ-سیوارٹ کا قانون ہی قابل استعمال ہوگا۔

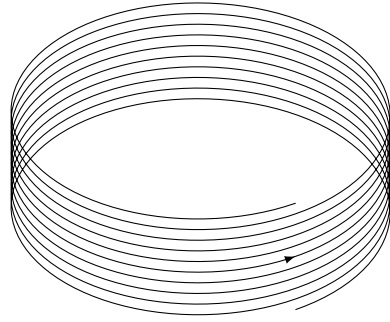
آئیں ایمپیر کے دوری قانون کو استعمال کرتے ہوئے شکل 7.9-الف میں دکھائے گئے، لامحدود لمبائی کے پیچدار لچھے کا مقناطیسی میدان حاصل کریں۔ لچھے کا رداس a جبکہ اس میں لمبائی جانب d فاصلے پر N چکر پائے جاتے ہیں۔ اس کا محور عین z محور پر پایا جاتا ہے۔²⁰⁷⁸

لچھے کے چکر انتہائی قریب قریب ہونے کی صورت میں لچھے کے تاروں میں برقی رو کو سطحی کثافت رو تصور کیا جاسکتا ہے۔ شکل 7.9-ب میں ایسا ہی کرتے ہوئے لچھے کو ٹکلی سطحی کثافت

$$K = K a_\phi = \frac{NI}{d} a_\phi$$

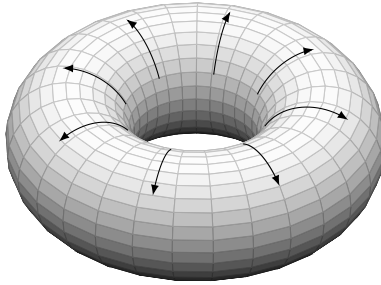


(ب) پیچدار لچھے کو سطحی کثافت تصور کیا جا سکتا ہے۔

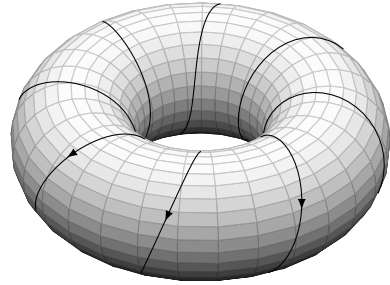


(ا) پیچ دار لچھے کا مقناطیسی میدان۔

شکل 7.9: پیچدار لچھے کے میدان کا حصول۔



(ب) اندر سے کی سطح پر کثافت برقی رو پائی جاتی ہے



(ا) اندر سے کی سطح پر لپٹی تار میں برقی رو گزر رہی ہے

شکل 7.10: اندر سے کی سطح پر تار میں برقی رو کو کثافت برقی رو تصور کیا جا سکتا ہے۔

تصور کیا گیا ہے۔ سطحی کثافت برقی رو کی صورت میں سطح کے باہر مقناطیسی میدان صفر کے برابر ہوگا جبکہ اس کے اندر میدان نہ تو ρ اور نہ ہی ϕ پر منحصر ہے۔ لا محدود لمبائی کی نلکی میں میدان z پر بھی منحصر نہیں ہوگا۔ ساتھ ہی ساتھ میدان صرف اور صرف a_z سمت میں ہوگا۔

نلکی کے اندر اور باہر، z محور کے متوازی لمبائی d کے فرضی لکڑوں کے سرے آپس میں جوڑنے سے بند راہ پر ایمپیئر کا دوری قانون لاگو کرتے ہوئے میدان

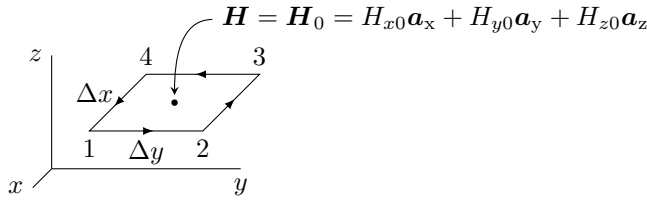
$$(7.17) \quad H = Ka_z = \frac{NI}{d} a_z \quad \text{نلکی کے اندر}$$

$$(7.18) \quad H = 0 \quad \text{نلکی کے باہر}$$

حاصل ہوتا ہے۔

محدود لمبائی کی پیچدار لچھا جس کے چکر قریب قریب ہوں کا میدان مساوات 7.17 ہی دیتی ہے البتہ ایسی صورت میں لچھے کے سروں اور تار سے دور ہی دوری میدان حاصل ہوتا ہے

آئیں ایمپیئر کے دوری قانون کی ایک اور مثال دیکھیں۔



شکل 7.11: گردش کی تعریف۔

شکل 7.10-الف میں اندر سے ⁵⁴ شکل کی سطح پر N چکر کی لپٹی تار میں I برقی رو گزر رہی ہے۔ اندر سے $z = 0$ سطح پر پڑی ہے جبکہ z محدد اس کے محور سے گزرتا ہے۔ لپٹی تار کے چکر قریب قریب ہونے کی صورت میں اندر سے کی سطح پر K کثافت برقی رو تصور کی جاسکتی ہے۔ اندر سے کا عمودی تراش رداس a کا دائرہ ہے جبکہ اندر سے کا اوسط رداس b ہے۔ اس طرح اندر سے کا اندرونی رداس $b - a$ جبکہ اس کا بیرونی رداس $b + a$ ہوگا۔ یوں اندر سے کے محور کے قریبی سطح پر کثافت برقی رو

$$K = \frac{NI}{2\pi(b-a)} \quad \frac{A}{m}$$

ہوگی۔ ایمپیر کا دوری قانون استعمال کرنے کی غرض سے ہم اندر سے کے اندر رداس $(b+a) < \rho < (b-a)$ کا دائرہ لیتے ہیں۔ یہ فرضی دائرہ اندر سے کے محور کے قریبی سطح پر کثافت K کو گھیرے گا لہذا یہ

$$2\pi(b-a)K$$

برقی رو کو گھیرے گا۔ یوں ایمپیر کے دوری قانون سے اس رداس پر مقناطیسی میدان

$$H = \frac{2\pi(b-a)K}{2\pi\rho} = \frac{NI}{2\pi\rho} a_\phi \quad \text{اندر سے کے اندر}$$

$$H = 0 \quad \text{اندر سے کے باہر}$$

(7.19)

ہوگا۔

شکل 7.10-الف میں تار کے چکر قریب قریب نہ ہونے کی صورت میں جب تک ہم دو چکر کے مابین فاصلے سے چند گنا زیادہ دور، تار سے ہٹ کر رہیں، یہی مساوات اصل میدان کی قیمت کے قریب قریب جواب دے گی۔

2087

7.3 گردش

آپ کو یاد ہوگا کہ ہم نے گاؤس کے قانون کو انتہائی چھوٹے حجم پر لاگو کرتے ہوئے پھیلاؤ کی مساوات حاصل کی تھی۔ اس حصے میں ہم ایمپیر کے دوری قانون کو انتہائی چھوٹی بند راہ پر استعمال کرتے ہوئے گردش⁶ کی مساوات حاصل کریں گے۔

2090

کار تیسری محدود میں ہم کسی نقطے N پر Δx اور Δy اطراف کی چھوٹی بند راہ لیتے ہیں۔ شکل 7.11 میں اس چھوٹی بند راہ کو دکھایا گیا ہے جو رقبہ $\Delta x \Delta y$ کو گھیرتی ہے۔ یہ راہ مقناطیسی میدان $H = H_x a_x + H_y a_y + H_z a_z$ میں پائی جاتی ہے۔ شکل میں راہ پر تیر کے نشان راہ پر چلنے کی سمت کو ظاہر کرتے ہیں۔ اس رقبے کے عین وسط میں نقطہ (x_0, y_0, z_0) پر مقناطیسی شدت

$$H_0 = H_x(x_0, y_0, z_0) a_x + H_y(x_0, y_0, z_0) a_y + H_z(x_0, y_0, z_0) a_z$$

$$= H_{x0} a_x + H_{y0} a_y + H_{z0} a_z$$

⁴ بچپن میں اندر سے کس نے نہیں کھایا۔ یہ شکل اندر سے کی طرح ہے لہذا اس کتاب میں اسے اندر سے ہی پکارا جائے گا۔ اگر آپ کو منہائی پسند نہیں تو اسے سائیکل کے ٹائر میں موجود نیوب تصور کر سکتے

کے برابر ہے۔ ایمپیئر کے دوری قانون کے تحت اس بند راہ کے گرد مقناطیسی شدت کا مکمل رقبہ $\Delta x \Delta y$ سے گزرتی برقی رو کے برابر ہوگا۔ آئیں اس مکمل کو حاصل کریں۔ ایسا کرنے کی خاطر ہم بند راہ پر 1 سے 2 کی طرف چلتے ہوئے پورا چکر کاٹیں گے۔

2092

کار تیزی محدود میں کسی بھی چھوٹے فاصلے کو $dL = dx a_x + dy a_y + dz a_z$ لکھا جاسکتا ہے۔ شکل 7.11 میں 2 تا 1 پر $dx = 0$ اور $dz = 0$ ہیں لہذا اس چھوٹے فاصلے کو $dL = dy a_y$ لکھا جاسکتا ہے۔ چھوٹے چکور کا وسط (x_0, y_0, z_0) ہے۔ یوں چکور کا 1 کو $(x_0 + \frac{\Delta x}{2}, y_0 - \frac{\Delta y}{2})$ پر اور 2 کو $(x_0 + \frac{\Delta x}{2}, y_0 + \frac{\Delta y}{2})$ پر ہوگا۔ یوں راہ کے پہلے حصے 2 تا 1 پر لکیری مکمل

$$\int_{y_0 - \frac{\Delta y}{2}}^{y_0 + \frac{\Delta y}{2}} (H_x a_x + H_y a_y + H_z a_z) \cdot dy a_y = \int_{y_0 - \frac{\Delta y}{2}}^{y_0 + \frac{\Delta y}{2}} H_y dy = H_{y21} \int_{y_0 - \frac{\Delta y}{2}}^{y_0 + \frac{\Delta y}{2}} dy = H_{y21} \Delta y$$

لکھا جاسکتا ہے جہاں 2 تا 1 پر مقناطیسی شدت کو H_y کے بجائے H_{y21} لکھتے ہوئے اور اس راہ پر مقناطیسی شدت میں تبدیلی کو نظر انداز کرتے ہوئے مکمل کے باہر لے جایا گیا۔ ہمیں اس طرح کے مکمل بار بار حاصل کرنے ہوں گے لہذا اس پورے عمل کو ہم

$$(7.20) \quad (\mathbf{H} \cdot d\mathbf{L})_{21} = H_{y21} \Delta y$$

لکھیں گے۔ ہمیں رقبے کے عین وسط میں مقناطیسی شدت معلوم ہے البتہ راہ کے پہلے حصے پر ہمیں اس کے بارے میں معلومات فراہم نہیں ہے۔ ایسی صورت میں ہمیں **ٹیلر تسلسل**⁷ بروئے کار لانا ہوگا۔

2094

ٹیلر تسلسل

$$f(x + \delta x) = f(x) + \frac{1}{1!} \frac{\partial f}{\partial x} \delta x + \frac{1}{2!} \frac{\partial^2 f}{\partial x^2} (\delta x)^2 + \dots$$

سے آپ بخوبی واقف ہیں جہاں $\frac{\partial f}{\partial x}$ اور دیگر تفرق کو نقطہ x پر حاصل کیا جاتا ہے۔ اگر اس میں $\delta x = \frac{\Delta x}{2}$ پر کیا جائے تو اس کی نئی شکل

$$f(x + \frac{\Delta x}{2}) = f(x) + \frac{1}{1!} \frac{\partial f}{\partial x} \frac{\Delta x}{2} + \frac{1}{2!} \frac{\partial^2 f}{\partial x^2} \left(\frac{\Delta x}{2} \right)^2 + \dots$$

2095

حاصل ہوتی ہے جسے ہم اب استعمال کرتے ہیں۔

اگر نقطہ (x_0, y_0, z_0) پر تفاعل H_y کی قیمت $H_y(x_0, y_0, z_0)$ ہو تب نقطہ $(x_0 + \frac{\Delta x}{2}, y_0, z_0)$ پر اس کی قیمت مسئلہ ٹیلر سے

$$\begin{aligned} H_y(x_0 + \frac{\Delta x}{2}, y_0, z_0) &= H_y(x_0, y_0, z_0) + \frac{\partial H_y}{\partial x} \frac{\Delta x}{2} + \dots \\ &= H_{y0} + \frac{\partial H_y}{\partial x} \frac{\Delta x}{2} + \dots \end{aligned}$$

حاصل ہوتی ہے جہاں $\frac{\partial H_y}{\partial x}$ کو نقطہ (x_0, y_0, z_0) پر حاصل کیا جاتا ہے۔ راہ 2 تا 1 پر مقناطیسی شدت کی قیمت ٹیلر تسلسل کے پہلے دو اجزاء سے حاصل کرتے ہوئے

$$(7.21) \quad H_{y21} \doteq H_{y0} + \frac{\partial H_y}{\partial x} \frac{\Delta x}{2}$$

لکھ کر مساوات 7.20 کو

$$(7.22) \quad (\mathbf{H} \cdot d\mathbf{L})_{21} \doteq \left(H_{y0} + \frac{\partial H_y}{\partial x} \frac{\Delta x}{2} \right) \Delta y$$

لکھا جاسکتا ہے۔

مساوات 7.21 کو یوں بھی حاصل کیا جاسکتا ہے۔ چھوٹے رقبے کے وسط میں x کے ساتھ H_y تبدیل ہونے کی شرح $\frac{\partial H_y}{\partial x}$ ہے۔ یوں اگر x میں Δx تبدیلی پیدا ہو تب H_y میں تبدیلی تقریباً $\Delta x \frac{\partial H_y}{\partial x}$ ہوگی اور یوں اس کی نئی قیمت تقریباً $H_y + \frac{\partial H_y}{\partial x} \Delta x$ ہوگی۔ اسی طرح اگر x میں $\frac{\Delta x}{2}$ تبدیلی پیدا ہو تب H_y میں تبدیلی تقریباً $\frac{\partial H_y}{\partial x} \frac{\Delta x}{2}$ ہوگی اور یوں اس کی نئی قیمت تقریباً $H_y + \frac{\partial H_y}{\partial x} \frac{\Delta x}{2}$ ہوگی۔ اب رقبے کے وسط سے $\frac{\Delta x}{2} + \frac{\Delta x}{2}$ فاصلے پر 1 تا 2 راہ کا درمیانہ نقطہ ہے لہذا یہاں

$$(7.23) \quad H_{y21} \doteq H_{y0} + \frac{\partial H_y}{\partial x} \frac{\Delta x}{2}$$

ہوگا جو عین مساوات 7.21 ہی ہے۔

راہ کے اگلے حصے یعنی 2 تا 3 بھی کچھ کرتے ہوئے

$$(7.24) \quad (\mathbf{H} \cdot d\mathbf{L})_{32} = H_{x32}(-\Delta x) \doteq - \left(H_{x0} + \frac{\partial H_x}{\partial y} \frac{\Delta y}{2} \right) \Delta x$$

جبکہ 4 تا 3 پر

$$(7.25) \quad (\mathbf{H} \cdot d\mathbf{L})_{43} = H_{43}(-\Delta y) \doteq - \left(H_{y0} - \frac{\partial H_y}{\partial x} \frac{\Delta x}{2} \right) \Delta y$$

اور 4 تا 1 پر

$$(7.26) \quad (\mathbf{H} \cdot d\mathbf{L})_{14} = H_{x14} \Delta x \doteq \left(H_{x0} - \frac{\partial H_x}{\partial y} \frac{\Delta y}{2} \right) \Delta x$$

حاصل ہوتے ہیں۔ مساوات 7.22، مساوات 7.24، مساوات 7.25 اور مساوات 7.26 کو جمع کرتے ہوئے پورے بند راستے کا مکمل

$$(7.27) \quad \oint \mathbf{H} \cdot d\mathbf{L} \doteq \left(\frac{\partial H_y}{\partial x} - \frac{\partial H_x}{\partial y} \right) \Delta x \Delta y$$

حاصل ہوتا ہے۔ اگر اس چھوٹے بند راہ کے گھیرے رقبے پر کثافت برقی رو

$$\mathbf{J} = J_x \mathbf{a}_x + J_y \mathbf{a}_y + J_z \mathbf{a}_z$$

ہو تب اس رقبے سے $J_z \Delta x \Delta y$ برقی رو گزرے گی۔ ایمپیر کے دوری قانون کے تحت بند راہ کا مکمل اور رقبے سے گزرتی برقی رو برابر ہوں گے یعنی

$$\oint \mathbf{H} \cdot d\mathbf{L} \doteq \left(\frac{\partial H_y}{\partial x} - \frac{\partial H_x}{\partial y} \right) \Delta x \Delta y \doteq J_z \Delta x \Delta y$$

ہوگا جسے

$$\frac{\oint \mathbf{H} \cdot d\mathbf{L}}{\Delta x \Delta y} \doteq \frac{\partial H_y}{\partial x} - \frac{\partial H_x}{\partial y} \doteq J_z$$

لکھا جاسکتا ہے۔ رقبے کو جتنا چھوٹا کیا جائے مندرجہ بالا مساوات اتنی ہی زیادہ درست ہوگی حتیٰ کہ $\Delta x \rightarrow 0$ اور $\Delta y \rightarrow 0$ کی صورت میں یہ مکمل طور پر درست ہوگا اور یوں مساوات میں تقریباً برابر کی علامت \doteq کی جگہ بالکل برابر کی علامت استعمال کی جائے گی یعنی

$$(7.28) \quad \lim_{\substack{\Delta x \rightarrow 0 \\ \Delta y \rightarrow 0}} \frac{\oint \mathbf{H} \cdot d\mathbf{L}}{\Delta x \Delta y} = \frac{\partial H_y}{\partial x} - \frac{\partial H_x}{\partial y} = J_z$$

لکھا جائے گا۔

اگر ہم کارتیسی محدود کے بقایا دو محدود کے عمودی چھوٹے رقبے لیں اور مندرجہ بالا عمل دہرائیں تو ہمیں

$$(7.29) \quad \lim_{\substack{\Delta y \rightarrow 0 \\ \Delta z \rightarrow 0}} \frac{\oint \mathbf{H} \cdot d\mathbf{L}}{\Delta y \Delta z} = \frac{\partial H_z}{\partial y} - \frac{\partial H_y}{\partial z} = J_x$$

اور

$$(7.30) \quad \lim_{\substack{\Delta z \rightarrow 0 \\ \Delta x \rightarrow 0}} \frac{\oint \mathbf{H} \cdot d\mathbf{L}}{\Delta z \Delta x} = \frac{\partial H_x}{\partial z} - \frac{\partial H_z}{\partial x} = J_y$$

حاصل ہوں گے۔ مساوات 7.29 میں چھوٹے رقبے کے اطراف Δy اور Δz ہیں جس سے $J_x \Delta y \Delta z$ برقی رو گزرتی ہے۔ اسی طرح مساوات 7.30 میں چھوٹے رقبے کے اطراف Δz اور Δx ہیں جس سے $J_y \Delta z \Delta x$ برقی رو گزرتی ہے۔

2100

ایمپیر کے دوری قانون سے شروع کرتے ہوئے ہم نے مساوات 7.28، مساوات 7.29 اور مساوات 7.30 حاصل کئے جو مقناطیسی شدت کے بند تکمل فی اکائی رقبہ کو گھیرے گئے کثافت برقی رو کے برابر ٹھہراتے ہیں۔ کسی بھی متغیر کے بند تکمل فی اکائی رقبہ کو اس متغیر کی **گردش**⁸ کہتے ہیں۔ انتہائی چھوٹے رقبے کے گردش گردش کرتے ہوئے کسی بھی متغیر کے بند تکمل کو اس نقطے پر متغیر کے گھومنے یا گردش کی ناپ تصور کی جاسکتی ہے۔ اسی لئے اس عمل کو **گردش** کہا جاتا ہے۔

کسی بھی سمتیہ کی گردش بھی سمتیہ ہوگی۔ گردش کا کوئی بھی جزو انتہائی چھوٹے سیدھے رقبے کے گردش سمتیہ کے بند تکمل فی اکائی رقبہ کے برابر ہوگا جہاں بند تکمل کی راہ درکار جزو کے عمودی سطح میں پایا جاتا ہو اور رقبے کی قیمت صفر کے قریب سے قریب تر ہو۔ گردش کی یہ تعریف کسی بھی محدود پر مبنی نہیں ہے۔ اس تعریف کی حسابی شکل

$$H_{\text{گردش}} = \lim_{\Delta S_n \rightarrow 0} \frac{\oint \mathbf{H} \cdot d\mathbf{L}}{\Delta S_n}$$

ہے جہاں H کی گردش حاصل کی گئی ہے۔ اس مساوات میں ΔS_n وہ چھوٹا سیدھا رقبہ ہے جس کے گردش H کا بند تکمل حاصل کیا گیا ہے۔ گردش از خود سیدھے سطح کے عمودی ہوگا۔ رقبہ ΔS_n لکھتے ہوئے زیر نوشت میں n اسی حقیقت کی یاد دہانی کرتا ہے کہ رقبہ اور گردش کے درمیان نوے درجے کا زاویہ پایا جاتا ہے۔

2106

کارتیسی محدود میں گردش H کے x, y اور z اجزاء مساوات 7.29، مساوات 7.30 اور مساوات 7.28 بالترتیب دیتے ہیں لہذا

$$(7.31) \quad H_{\text{گردش}} = \left(\frac{\partial H_z}{\partial y} - \frac{\partial H_y}{\partial z} \right) a_x + \left(\frac{\partial H_x}{\partial z} - \frac{\partial H_z}{\partial x} \right) a_y + \left(\frac{\partial H_y}{\partial x} - \frac{\partial H_x}{\partial y} \right) a_z = J$$

لکھا جاسکتا ہے۔ اس مساوات کو قالب کے **حتی قیمت**⁹ کی شکل میں

$$(7.32) \quad H_{\text{گردش}} = \begin{vmatrix} a_x & a_y & a_z \\ \frac{\partial}{\partial x} & \frac{\partial}{\partial y} & \frac{\partial}{\partial z} \\ H_x & H_y & H_z \end{vmatrix} = J$$

لکھا جاسکتا ہے۔ صفحہ 81 پر مساوات 3.29 نیلے ∇ کے عمل کو بیان کرتا ہے جسے یہاں دوبارہ پیش کرتے ہیں

$$\nabla = \frac{\partial}{\partial x} a_x + \frac{\partial}{\partial y} a_y + \frac{\partial}{\partial z} a_z$$

اور صفحہ 15 پر مساوات 1.19 دو سمتیات کا سمتی ضرب دیتا ہے۔ ان سے گردش نہایت خوبصورتی سے

$$(7.33) \quad \nabla \times \mathbf{H} = \mathbf{H}_{\text{گردش}}$$

لکھی جاسکتی ہے۔ آپ جلد دیکھیں گے کہ صرف کارتیسی محدود میں ہی گردش ∇ اور \mathbf{H} کے صلیبی ضرب سے حاصل ہوتا ہے۔ اس کے باوجود کسی بھی محدود میں گردش کو $\nabla \times \mathbf{H}$ سے ہی ظاہر کیا جاتا ہے۔ یوں کارتیسی محدود میں \mathbf{H} کی گردش یوں لکھی جائے گی۔

$$(7.34) \quad \nabla \times \mathbf{H} = \left(\frac{\partial H_z}{\partial y} - \frac{\partial H_y}{\partial z} \right) \mathbf{a}_x + \left(\frac{\partial H_x}{\partial z} - \frac{\partial H_z}{\partial x} \right) \mathbf{a}_y + \left(\frac{\partial H_y}{\partial x} - \frac{\partial H_x}{\partial y} \right) \mathbf{a}_z$$

امپیر کے دوری قانون کی نقطہ شکل

$$(7.35) \quad \nabla \times \mathbf{H} = \mathbf{J}$$

لکھی جاسکتی ہے جو میکس ویل کی دوسری مساوات ہے جو وقت کے ساتھ تبدیل نہ ہوتے میدان کے لئے درست ہے۔ یہاں میکس ویل کے تیسری مساوات کا بھی ذکر کر لیتے ہیں جو $\oint \mathbf{E} \cdot d\mathbf{L}$ کی نقطہ شکل

$$(7.36) \quad \nabla \times \mathbf{E} = 0$$

ہے۔ میکس ویل کے چوتھی مساوات پر اس کتاب میں آگے غور کیا جائے گا۔

2106

آپ جانتے ہیں کہ ساکن برقی میدان بقائی میدان ہے لہذا اس میں چارج q کو کسی بھی بند راہ پر پورا چکر گھمانے کے لئے صفر توانائی درکار ہوگی۔ یوں $\oint \mathbf{E} \cdot d\mathbf{L} = q$ صفر کے برابر ہوگا جس سے \mathbf{E} کا گردش بھی صفر ہوگا۔ مساوات 7.36 یہی کہتا ہے۔ اس کے برعکس وقت کے ساتھ غیر تغیر پذیر مقناطیسی میدان غیر بقائی میدان ہے جس میں چارج کو برقی رو گھیرتی کسی بھی بند راہ پر پورا چکر گھمانے کے لئے توانائی درکار ہوگی۔ اسی لئے اس کا گردش صفر نہیں ہوگا۔ مساوات 7.35 یہی کہتا ہے۔

2110

مشق 7.1: گردش یعنی $\nabla \times \mathbf{H}$ کو

$$\left(\frac{\partial}{\partial x} \mathbf{a}_x + \frac{\partial}{\partial y} \mathbf{a}_y + \frac{\partial}{\partial z} \mathbf{a}_z \right) \times (H_x \mathbf{a}_x + H_y \mathbf{a}_y + H_z \mathbf{a}_z)$$

لکھ کر سمتی ضرب سے مساوات 7.31 حاصل کریں۔

2111

2112

2113

مشق 7.2: اگر $\mathbf{H} = (x^2y + 2z)\mathbf{a}_x + (xz - y)\mathbf{a}_y + (e^xyz)\mathbf{a}_z$ تب $\nabla \times \mathbf{H}$ کیا ہوگا اور اس کی قیمت نقطہ $(0, 1, 2)$ پر کیا ہوگی۔

جوابات: $\nabla \times \mathbf{H} = (e^{xz} - x)\mathbf{a}_x + (2 - e^xyz)\mathbf{a}_y + (z - x^2)\mathbf{a}_z$ گردش کی قیمت $2\mathbf{a}_x + 2\mathbf{a}_z$ ہوگی۔

2115

2116

مثال 7.1: سمتیہ $\mathbf{A} = A_x \mathbf{a}_x + A_y \mathbf{a}_y + A_z \mathbf{a}_z$ کے گردش کی گردش یعنی $\nabla \times \mathbf{A}$ حاصل کریں۔

حل: مساوات 7.34 سے

$$(7.37) \quad \nabla \times \mathbf{A} = \left(\frac{\partial A_z}{\partial y} - \frac{\partial A_y}{\partial z} \right) \mathbf{a}_x + \left(\frac{\partial A_x}{\partial z} - \frac{\partial A_z}{\partial x} \right) \mathbf{a}_y + \left(\frac{\partial A_y}{\partial x} - \frac{\partial A_x}{\partial y} \right) \mathbf{a}_z$$

لکھتے ہیں۔ مساوات 7.34 دوبارہ استعمال کرتے ہوئے

$$\begin{aligned} \nabla \times \nabla \times \mathbf{A} &= \left[\frac{\partial}{\partial y} \left(\frac{\partial A_y}{\partial x} - \frac{\partial A_x}{\partial y} \right) - \frac{\partial}{\partial z} \left(\frac{\partial A_x}{\partial z} - \frac{\partial A_z}{\partial x} \right) \right] \mathbf{a}_x \\ &+ \left[\frac{\partial}{\partial z} \left(\frac{\partial A_z}{\partial y} - \frac{\partial A_y}{\partial z} \right) - \frac{\partial}{\partial x} \left(\frac{\partial A_y}{\partial x} - \frac{\partial A_x}{\partial y} \right) \right] \mathbf{a}_y \\ &+ \left[\frac{\partial}{\partial x} \left(\frac{\partial A_x}{\partial z} - \frac{\partial A_z}{\partial x} \right) - \frac{\partial}{\partial y} \left(\frac{\partial A_z}{\partial y} - \frac{\partial A_y}{\partial z} \right) \right] \mathbf{a}_z \end{aligned}$$

تمام تفرق حاصل کرتے ہوئے

$$\begin{aligned} \nabla \times \nabla \times \mathbf{A} &= \left[\frac{\partial^2 A_y}{\partial y \partial x} - \frac{\partial^2 A_x}{\partial y^2} - \frac{\partial^2 A_x}{\partial z^2} + \frac{\partial^2 A_z}{\partial z \partial x} \right] \mathbf{a}_x \\ &+ \left[\frac{\partial^2 A_z}{\partial z \partial y} - \frac{\partial^2 A_y}{\partial z^2} - \frac{\partial^2 A_y}{\partial x^2} + \frac{\partial^2 A_x}{\partial x \partial y} \right] \mathbf{a}_y \\ &+ \left[\frac{\partial^2 A_x}{\partial x \partial z} - \frac{\partial^2 A_z}{\partial x^2} - \frac{\partial^2 A_z}{\partial y^2} + \frac{\partial^2 A_y}{\partial y \partial z} \right] \mathbf{a}_z \end{aligned}$$

اس مساوات کے پہلے جزو میں $\frac{\partial^2 A_x}{\partial x^2}$ ، دوسرے جزو میں $\frac{\partial^2 A_y}{\partial y^2}$ اور تیسرے میں $\frac{\partial^2 A_z}{\partial z^2}$ شامل کرتے ہوئے ذرہ مختلف ترتیب سے لکھتے ہیں۔

$$\begin{aligned} (7.38) \quad \nabla \times \nabla \times \mathbf{A} &= \left[\frac{\partial^2 A_x}{\partial x^2} + \frac{\partial^2 A_y}{\partial y \partial x} + \frac{\partial^2 A_z}{\partial z \partial x} \right] \mathbf{a}_x - \left[\frac{\partial^2 A_x}{\partial x^2} + \frac{\partial^2 A_x}{\partial y^2} + \frac{\partial^2 A_x}{\partial z^2} \right] \mathbf{a}_x \\ &+ \left[\frac{\partial^2 A_x}{\partial x \partial y} + \frac{\partial^2 A_y}{\partial y^2} + \frac{\partial^2 A_z}{\partial z \partial y} \right] \mathbf{a}_y - \left[\frac{\partial^2 A_y}{\partial x^2} + \frac{\partial^2 A_y}{\partial y^2} + \frac{\partial^2 A_y}{\partial z^2} \right] \mathbf{a}_y \\ &+ \left[\frac{\partial^2 A_x}{\partial x \partial z} + \frac{\partial^2 A_y}{\partial y \partial z} + \frac{\partial^2 A_z}{\partial z^2} \right] \mathbf{a}_z - \left[\frac{\partial^2 A_z}{\partial x^2} + \frac{\partial^2 A_z}{\partial y^2} + \frac{\partial^2 A_z}{\partial z^2} \right] \mathbf{a}_z \end{aligned}$$

یہاں رک کر \mathbf{A} کے پھیلاؤ کی ڈھلوان یعنی $(\nabla \cdot \mathbf{A})$ حاصل کرتے ہیں۔ پھیلاؤ

$$\nabla \cdot \mathbf{A} = \frac{\partial A_x}{\partial x} + \frac{\partial A_y}{\partial y} + \frac{\partial A_z}{\partial z}$$

استعمال کرتے ہوئے

$$\begin{aligned} \nabla (\nabla \cdot \mathbf{A}) &= \left(\frac{\partial^2 A_x}{\partial x^2} + \frac{\partial^2 A_y}{\partial x \partial y} + \frac{\partial^2 A_z}{\partial x \partial z} \right) \mathbf{a}_x \\ &+ \left(\frac{\partial^2 A_x}{\partial y \partial x} + \frac{\partial^2 A_y}{\partial y^2} + \frac{\partial^2 A_z}{\partial y \partial z} \right) \mathbf{a}_y \\ &+ \left(\frac{\partial^2 A_x}{\partial z \partial x} + \frac{\partial^2 A_y}{\partial z \partial y} + \frac{\partial^2 A_z}{\partial z^2} \right) \mathbf{a}_z \end{aligned} \quad (7.39)$$

حاصل ہوتا ہے۔ اگر ہم

$$\begin{aligned} \nabla^2 \mathbf{A} &\equiv \nabla^2 A_x \mathbf{a}_x + \nabla^2 A_y \mathbf{a}_y + \nabla^2 A_z \mathbf{a}_z \\ &= \left(\frac{\partial^2 A_x}{\partial x^2} + \frac{\partial^2 A_x}{\partial y^2} + \frac{\partial^2 A_x}{\partial z^2} \right) \mathbf{a}_x + \left(\frac{\partial^2 A_y}{\partial x^2} + \frac{\partial^2 A_y}{\partial y^2} + \frac{\partial^2 A_y}{\partial z^2} \right) \mathbf{a}_y + \left(\frac{\partial^2 A_z}{\partial x^2} + \frac{\partial^2 A_z}{\partial y^2} + \frac{\partial^2 A_z}{\partial z^2} \right) \mathbf{a}_z \end{aligned} \quad (7.40)$$

لکھیں تب مندرجہ بالا دو مساوات کی مدد سے مساوات 7.38 کو یوں لکھا جاسکتا ہے۔

$$\nabla \times \nabla \times \mathbf{A} \equiv \nabla (\nabla \cdot \mathbf{A}) - \nabla^2 \mathbf{A} \quad (7.41)$$

مساوات 7.40 سمتیہ کی لاپلاسی¹⁰ ہے۔

2119

2120

2121

مثال 7.2: سمتیہ S اور مقداری M کے حاصل ضرب کی گردش کے لئے ثابت کریں کہ

$$\nabla \times (MS) \equiv (\nabla M) \times S + M (\nabla \times S) \quad (7.42)$$

2122

کے برابر ہے۔

حل: سمتیہ اور مقداری کے حاصل ضرب کو

$$MS = M (S_x \mathbf{a}_x + S_y \mathbf{a}_y + S_z \mathbf{a}_z) = MS_x \mathbf{a}_x + MS_y \mathbf{a}_y + MS_z \mathbf{a}_z$$

لکھتے ہوئے اس کی گردش مساوات 7.34 کی طرح لکھ کر

$$\nabla \times MS = \left(\frac{\partial MS_z}{\partial y} - \frac{\partial MS_y}{\partial z} \right) \mathbf{a}_x + \left(\frac{\partial MS_x}{\partial z} - \frac{\partial MS_z}{\partial x} \right) \mathbf{a}_y + \left(\frac{\partial MS_y}{\partial x} - \frac{\partial MS_x}{\partial y} \right) \mathbf{a}_z$$

تفرق کھولتے ہیں۔

$$\begin{aligned} \nabla \times MS &= \left(\frac{\partial M}{\partial y} S_z + M \frac{\partial S_z}{\partial y} - \frac{\partial M}{\partial z} S_y - M \frac{\partial S_y}{\partial z} \right) \mathbf{a}_x \\ &+ \left(\frac{\partial M}{\partial z} S_x + M \frac{\partial S_x}{\partial z} - \frac{\partial M}{\partial x} S_z - M \frac{\partial S_z}{\partial x} \right) \mathbf{a}_y \\ &+ \left(\frac{\partial M}{\partial x} S_y + M \frac{\partial S_y}{\partial x} - \frac{\partial M}{\partial y} S_x - M \frac{\partial S_x}{\partial y} \right) \mathbf{a}_z \end{aligned}$$

اس کو یوں ترتیب دیتے ہیں

$$\nabla \times M\mathbf{S} = \left[\left(\frac{\partial M}{\partial y} S_z - \frac{\partial M}{\partial z} S_y \right) \mathbf{a}_x + \left(\frac{\partial M}{\partial z} S_x - \frac{\partial M}{\partial x} S_z \right) \mathbf{a}_y + \left(\frac{\partial M}{\partial x} S_y - \frac{\partial M}{\partial y} S_x \right) \mathbf{a}_z \right] \\ + M \left[\left(\frac{\partial S_z}{\partial y} - \frac{\partial S_y}{\partial z} \right) \mathbf{a}_x + \left(\frac{\partial S_x}{\partial z} - \frac{\partial S_z}{\partial x} \right) \mathbf{a}_y + \left(\frac{\partial S_y}{\partial x} - \frac{\partial S_x}{\partial y} \right) \mathbf{a}_z \right]$$

اس مساوات کا دوسرا جزو $M(\nabla \times \mathbf{S})$ کے برابر ہے جبکہ اس کا پہلا جزو $\mathbf{S} \times (\nabla M)$ کے برابر ہے جسے

$$(\nabla M) \times \mathbf{S} = \left(\frac{\partial M}{\partial x} \mathbf{a}_x + \frac{\partial M}{\partial y} \mathbf{a}_y + \frac{\partial M}{\partial z} \mathbf{a}_z \right) \times (S_x \mathbf{a}_x + S_y \mathbf{a}_y + S_z \mathbf{a}_z)$$

لکھ کر صلیبی ضرب کے بعد ترتیب دینے سے

$$(\nabla M) \times \mathbf{S} = \left(\frac{\partial M}{\partial y} S_z - \frac{\partial M}{\partial z} S_y \right) \mathbf{a}_x + \left(\frac{\partial M}{\partial z} S_x - \frac{\partial M}{\partial x} S_z \right) \mathbf{a}_y + \left(\frac{\partial M}{\partial x} S_y - \frac{\partial M}{\partial y} S_x \right) \mathbf{a}_z$$

حاصل کیا جاسکتا ہے۔

2123

2124

7.3.1 نلکی محدد میں گردش

2125

نلکی محدد میں J_z کثافت برقی رو کے عمودی سطح پر چھوٹا رقبہ لیتے ہیں جسے شکل 7.12 میں دکھایا گیا ہے۔ ایسے رقبے کے اطراف $\Delta\rho$ اور $\rho\Delta\phi$ ہوں گے جبکہ اس سطح پر z کی قیمت تبدیل نہیں ہوگی۔ اس رقبے کے وسط میں

$$H_0(\rho_0, \phi_0, z_0) = H_{\rho 0} \mathbf{a}_\rho + H_{\phi 0} \mathbf{a}_\phi + H_{z 0} \mathbf{a}_z$$

ہوگا۔ کارتیسی محدد میں رقبے کے وسط سے $\frac{\Delta x}{2}$ اور $-\frac{\Delta x}{2}$ فاصلے پر اطراف کی لمبائیاں عین برابر تھیں۔ نلکی محدد میں رقبے کے وسط سے $\frac{\Delta\rho}{2}$ فاصلے پر طرف کی لمبائی $(\rho_0 + \frac{\Delta\rho}{2})\Delta\phi$ جبکہ وسط سے $-\frac{\Delta\rho}{2}$ فاصلے پر طرف کی لمبائی $(\rho_0 - \frac{\Delta\rho}{2})\Delta\phi$ ہے۔ انہیں اطراف پر مقناطیسی شدت بالترتیب

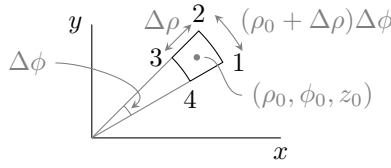
$$H_{\phi 21} \doteq H_{\phi 0} + \frac{\partial H_\phi}{\partial \rho} \frac{\Delta\rho}{2}$$

اور

$$H_{\phi 43} \doteq H_{\phi 0} - \frac{\partial H_\phi}{\partial \rho} \frac{\Delta\rho}{2}$$

ہوگی جہاں $\frac{\partial H_\phi}{\partial \rho}$ چھوٹے رقبے کے وسط میں حاصل کیا جائے گا۔ یوں 1 سے 2 جانب چھوٹے رقبے کے گرد چکر کاٹتے ہوئے ان دو اطراف پر مکمل

$$(\mathbf{H} \cdot d\mathbf{L})_{21} \doteq \left(H_{\phi 0} + \frac{\partial H_\phi}{\partial \rho} \frac{\Delta\rho}{2} \right) \left(\rho_0 + \frac{\Delta\rho}{2} \right) \Delta\phi \\ \doteq \left[H_{\phi 0} \rho_0 + H_{\phi 0} \frac{\Delta\rho}{2} + \rho_0 \frac{\partial H_\phi}{\partial \rho} \frac{\Delta\rho}{2} + \frac{\partial H_\phi}{\partial \rho} \left(\frac{\Delta\rho}{2} \right)^2 \right] \Delta\phi$$



شکل 7.12: نلکی محدد میں چھوٹا رقبہ۔

اور

$$\begin{aligned} (\mathbf{H} \cdot d\mathbf{L})_{43} &\doteq \left(H_{\phi 0} - \frac{\partial H_{\phi}}{\partial \rho} \frac{\Delta \rho}{2} \right) \left[- \left(\rho_0 - \frac{\Delta \rho}{2} \right) \Delta \phi \right] \\ &\doteq \left[-H_{\phi 0} \rho_0 + H_{\phi 0} \frac{\Delta \rho}{2} + \rho_0 \frac{\partial H_{\phi}}{\partial \rho} \frac{\Delta \rho}{2} - \frac{\partial H_{\phi}}{\partial \rho} \left(\frac{\Delta \rho}{2} \right)^2 \right] \Delta \phi \end{aligned}$$

2126

ہوں گے۔

چھوٹے رقبے کے وسط سے $+\frac{\Delta \phi}{2}$ یا $-\frac{\Delta \phi}{2}$ پر اطراف $\Delta \rho$ لمبائی رکھتے ہیں جبکہ ان پر اوسط شدت بالترتیب

$$H_{\phi 32} \doteq H_{\rho 0} + \frac{\partial H_{\rho}}{\partial \phi} \frac{\Delta \phi}{2}$$

اور

$$H_{\phi 14} \doteq H_{\rho 0} - \frac{\partial H_{\rho}}{\partial \phi} \frac{\Delta \phi}{2}$$

ہیں۔ یوں ان اطراف پر مکمل

$$(\mathbf{H} \cdot d\mathbf{L})_{32} \doteq \left(H_{\rho 0} + \frac{\partial H_{\rho}}{\partial \phi} \frac{\Delta \phi}{2} \right) (-\Delta \rho)$$

اور

$$(\mathbf{H} \cdot d\mathbf{L})_{14} \doteq \left(H_{\rho 0} - \frac{\partial H_{\rho}}{\partial \phi} \frac{\Delta \phi}{2} \right) \Delta \rho$$

ہوں گے۔

2127

یوں پورا مکمل ان چار جوابات کا مجموعہ

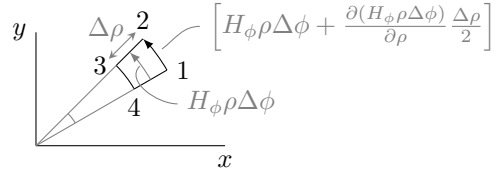
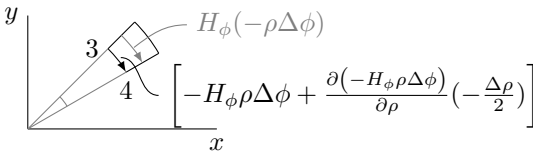
$$(7.43) \quad \oint \mathbf{H} \cdot d\mathbf{L} \doteq \left(H_{\phi 0} + \rho_0 \frac{\partial H_{\phi}}{\partial \rho} - \frac{\partial H_{\rho}}{\partial \phi} \right) \Delta \rho \Delta \phi$$

ہوگا۔ اس چھوٹے رقبے سے $J_z \rho_0 \Delta \rho \Delta \phi$ برقی رو گزرے گی۔ یوں ایمپیر کے دوری قانون سے

$$\oint \mathbf{H} \cdot d\mathbf{L} \doteq \left(H_{\phi 0} + \rho_0 \frac{\partial H_{\phi}}{\partial \rho} - \frac{\partial H_{\rho}}{\partial \phi} \right) \Delta \rho \Delta \phi \doteq J_z \rho_0 \Delta \rho \Delta \phi$$

یعنی

$$\frac{\oint \mathbf{H} \cdot d\mathbf{L}}{\rho_0 \Delta \rho \Delta \phi} \doteq \left(\frac{H_{\phi 0}}{\rho_0} + \frac{\partial H_{\phi}}{\partial \rho} - \frac{1}{\rho_0} \frac{\partial H_{\rho}}{\partial \phi} \right) \doteq J_z$$



(ا) چھوٹے رقبے کے وسط پر تکمل کے قیمت سے بیرونی زاویائی تکمل کی قیمت کا حصول۔ (ب) چھوٹے رقبے کے وسط پر تکمل کے قیمت سے اندرونی زاویائی تکمل کی قیمت کا حصول۔

شکل 7.13: زاویائی حصوں پر تکمل کے قیمت کے حصول کا بہتر طریقہ۔

لکھا جاسکتا ہے۔ اگر $\rho \Delta \phi$ اور $\Delta \phi$ کو کم سے کم کرتے ہوئے صفر کے قریب تر کر دیا جائے تب مندرجہ بالا مساوات بالکل درست ہوگا اور تقریباً برابر کی علامت \approx کی جگہ برابر کی علامت $=$ استعمال کی جائے گی۔ اس طرح گردش کا پہلا جزو

$$(7.44) \quad \lim_{\substack{\Delta \rho \rightarrow 0 \\ \Delta \phi \rightarrow 0}} \frac{\oint \mathbf{H} \cdot d\mathbf{L}}{\rho_0 \Delta \rho \Delta \phi} = \left(\frac{H_{\phi 0}}{\rho_0} + \frac{\partial H_{\phi}}{\partial \rho} - \frac{1}{\rho_0} \frac{\partial H_{\rho}}{\partial \phi} \right) = J_z$$

لکھا جاسکتا ہے۔

اس سے پہلے کہ ہم گردش کے بقایا دو اجزاء بھی حاصل کریں، آئیں مساوات 7.43 کو قدر مختلف اور بہتر طریقے سے حاصل کریں۔ شکل 7.13-الف کو دیکھتے ہوئے آگے پڑھیں۔ اگر ہم کسی نقطے کے $-\frac{\Delta \phi}{2}$ سے نقطے کے $+\frac{\Delta \phi}{2}$ تک حرکت کریں تو ہم $\rho \Delta \phi$ فاصلہ طے کریں گے۔ اس راہ پر تکمل تقریباً

$$\mathbf{H} \cdot d\mathbf{L} = H_{\phi} \rho \Delta \phi$$

کے برابر ہوگا۔ اس تکمل کو تفاعل g تصور کرتے ہوئے یعنی $g = H_{\phi} \rho \Delta \phi$ لیتے ہوئے ہم دیکھتے ہیں کہ اگر ہم چھوٹے رقبے کے وسط سے رداسی سمت میں $+\frac{\Delta \rho}{2}$ حرکت کریں تو اس تفاعل کی قیمت میں تبدیلی

$$\Delta(\mathbf{H} \cdot d\mathbf{L}) = \frac{\partial g}{\partial \rho} \frac{\Delta \rho}{2} = \frac{\partial (H_{\phi} \rho \Delta \phi)}{\partial \rho} \frac{\Delta \rho}{2}$$

لکھی جاسکتی ہے جہاں $\frac{\partial (H_{\phi} \rho \Delta \phi)}{\partial \rho}$ کو چھوٹے رقبے کے وسط پر حاصل کیا جاتا ہے جہاں رداس ρ_0 کے برابر ہے۔ چونکہ چھوٹے رقبے کے عین وسط پر اس تکمل کی قیمت $H_{\phi 0} \rho_0 \Delta \phi$ کے برابر ہے لہذا وسط سے $\frac{\Delta \rho}{2}$ فاصلے پر تکمل کی قیمت

$$(7.45) \quad \mathbf{H} \cdot d\mathbf{L}_{21} = H_{\phi} \rho \Delta \phi + \frac{\partial (H_{\phi} \rho \Delta \phi)}{\partial \rho} \frac{\Delta \rho}{2}$$

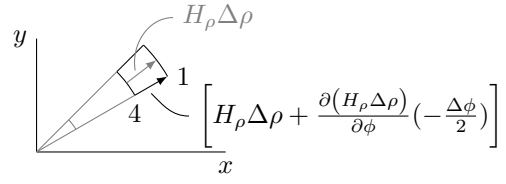
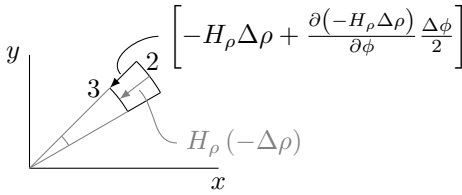
ہوگی۔ اسی طرح، جیسا شکل 7.13-ب میں دکھایا گیا ہے، اگر ہم کسی نقطے کے $+\frac{\Delta \phi}{2}$ سے نقطے کے $-\frac{\Delta \phi}{2}$ تک حرکت کریں تو اس راہ پر تکمل

$$\mathbf{H} \cdot d\mathbf{L} = H_{\phi}(-\rho \Delta \phi)$$

کے برابر ہوگا۔ اگر اس نقطے کو چھوٹے رقبے کا وسط تصور کیا جائے تب وسط سے $-\frac{\Delta \rho}{2}$ فاصلے پر یہی تکمل

$$(7.46) \quad \begin{aligned} \mathbf{H} \cdot d\mathbf{L}_{43} &= -H_{\phi} \rho \Delta \phi + \frac{\partial (-H_{\phi} \rho \Delta \phi)}{\partial \rho} \left(-\frac{\Delta \rho}{2} \right) \\ &= -H_{\phi} \rho \Delta \phi + \frac{\partial (H_{\phi} \rho \Delta \phi)}{\partial \rho} \frac{\Delta \rho}{2} \end{aligned}$$

ہوگا۔



(۱) چھوٹے رقبے کے وسط پر رداسی تکمل کے قیمت سے کم زاویہ پر تکمل کی قیمت کا (ب) چھوٹے رقبے کے وسط پر رداسی تکمل کے قیمت سے زیادہ زاویہ پر تکمل کی قیمت کا حصول۔

شکل 7.14: رداسی حصوں پر تکمل کے قیمت کے حصول کا بہتر طریقہ۔

اسی طرح، جیسے شکل 7.14-الف میں دکھایا گیا ہے، کسی بھی نقطے پر $-\frac{\Delta \rho}{2}$ تا $\frac{\Delta \rho}{2}$ حرکت کرتے ہوئے تکمل کی قیمت $H_\rho \Delta \rho$ ہوگی۔ اس نقطے سے $-\frac{\Delta \phi}{2}$ پر تکمل کی قیمت میں تبدیلی رونما ہوگی جسے

$$\Delta(H \cdot dL) = \frac{\partial(H_\rho \Delta \rho)}{\partial \phi} \left(-\frac{\Delta \phi}{2} \right)$$

لکھا جاسکتا ہے اور یوں تکمل کی نئی قیمت

$$H \cdot dL = H_\rho \Delta \rho - \frac{\partial(H_\rho \Delta \rho)}{\partial \phi} \frac{\Delta \phi}{2}$$

ہوگی۔ اگر چھوٹے رقبے کے عین وسط کو یہی نقطہ تصور کیا جائے تب مندرجہ بالا مساوات 4 تا 1 پر تکمل دیتا ہے یعنی

$$(7.47) \quad H \cdot dL_{14} = H_\rho \Delta \rho - \frac{\partial(H_\rho \Delta \rho)}{\partial \phi} \frac{\Delta \phi}{2}$$

اسی طرح، جیسے شکل 7.14-ب میں دکھایا گیا ہے، کسی بھی نقطے پر $+\frac{\Delta \rho}{2}$ تا $-\frac{\Delta \rho}{2}$ حرکت کرتے ہوئے تکمل کی قیمت

$$H \cdot dL = H_\rho(-\Delta \rho)$$

ہوگی۔ اس نقطے کو چھوٹے رقبے کا وسط تصور کرتے ہوئے وسط سے $+\frac{\Delta \phi}{2}$ پر یہی تکمل

$$(7.48) \quad H \cdot dL_{32} = -H_\rho \Delta \rho - \frac{\partial(H_\rho \Delta \rho)}{\partial \phi} \frac{\Delta \phi}{2}$$

کے برابر ہوگا۔

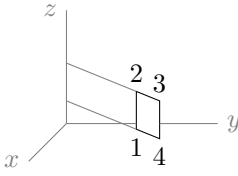
مساوات 7.45، مساوات 7.46، مساوات 7.47 اور مساوات 7.48 کا مجموعہ چھوٹے رقبے کے گرد پورا تکمل دیتا ہے یعنی

$$(7.49) \quad \oint H \cdot dL = \frac{\partial(H_\phi \rho \Delta \phi)}{\partial \rho} \Delta \rho - \frac{\partial(H_\rho \Delta \rho)}{\partial \phi} \Delta \phi$$

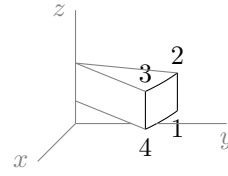
$$= \left[\frac{\partial(H_\phi \rho)}{\partial \rho} - \frac{\partial H_\rho}{\partial \phi} \right] \Delta \rho \Delta \phi$$

جہاں تفرق رقبے کے وسط پر حاصل کئے جاتے ہیں۔ اس مساوات کو یوں بھی لکھا جاسکتا ہے

$$\oint H \cdot dL = \left[H_{\phi 0} + \rho_0 \frac{\partial H_\phi}{\partial \rho} - \frac{\partial H_\rho}{\partial \phi} \right] \Delta \rho \Delta \phi$$



(ب) نلکی محدد میں شدت کا زاویائی جزو حاصل کرنے کے لئے چھوٹا رقبہ۔



(ا) نلکی محدد میں شدت کا رداسی جزو حاصل کرنے کے لئے چھوٹا رقبہ۔

شکل 7.15: نلکی محدد میں گردش کے رداسی اور زاویائی اجزاء کے رقبے۔

جو بالکل مساوات 7.43 ہی ہے۔ یاد رہے کہ $\frac{\partial(H_\phi \rho)}{\partial \rho}$ کو اجزاء کی صورت میں لکھتے ہوئے رقبے کے وسط کی قیمتیں پر کی جاتی ہیں۔ یوں رداس ρ_0 اور مقناطیسی شدت $H_{\phi 0}$ کے برابر ہوں گے۔ مساوات 7.49 سے گردش

$$(7.50) \quad \lim_{\substack{\Delta \rho \rightarrow 0 \\ \Delta \phi \rightarrow 0}} \frac{\oint \mathbf{H} \cdot d\mathbf{L}}{\Delta \rho \Delta \phi} = \left[\frac{1}{\rho} \frac{\partial(H_\phi \rho)}{\partial \rho} - \frac{1}{\rho} \frac{\partial H_\rho}{\partial \phi} \right] = J_z$$

آئیں اب نلکی محد میں گردش کے بقایا دو اجزاء بھی حاصل کریں۔ گردش کا رداسی جزو حاصل کرنے کی خاطر ہم $\rho = \rho_0$ سطح پر چھوٹا رقبہ لیتے ہیں جس کے اطراف Δz اور $\Delta \phi$ لمبائی رکھیں گے۔ اس رقبے کو شکل 7.15-الف میں دکھایا گیا ہے۔ اس پر 1 سے 2 جانب گھومتے ہوئے کالکیری مکمل حاصل کیا جائے گا۔ مستقل رداس کے سطح پر کسی بھی نقطے کے قریب $-\frac{\Delta z}{2}$ تا $+\frac{\Delta z}{2}$ چلتے ہوئے مکمل $H_z \Delta z$ حاصل ہوتا ہے۔ اس نقطے سے $+\frac{\Delta \phi}{2}$ زاویہ پر اس مکمل کی قیمت ٹیلر تسلسل سے

$$\mathbf{H} \cdot d\mathbf{L}_{21} = H_z \Delta z + \frac{\partial(H_z \Delta z)}{\partial \phi} \left(+\frac{\Delta \phi}{2} \right)$$

حاصل ہوتی ہے۔ اسی طرح نقطے کے قریب $-\frac{\Delta z}{2}$ تا $+\frac{\Delta z}{2}$ چلتے ہوئے مکمل $-H_z \Delta z$ جبکہ نقطے سے $-\frac{\Delta \phi}{2}$ زاویہ پر

$$\mathbf{H} \cdot d\mathbf{L}_{43} = -H_z \Delta z + \frac{\partial(-H_z \Delta z)}{\partial \phi} \left(-\frac{\Delta \phi}{2} \right)$$

حاصل ہوتا ہے۔ ان دو جوابات سے رقبے کے z اطراف کا مکمل

$$(7.51) \quad \mathbf{H} \cdot d\mathbf{L}_{21} + \mathbf{H} \cdot d\mathbf{L}_{43} = +\frac{\partial H_z}{\partial \phi} \Delta z \Delta \phi$$

حاصل ہوتا ہے۔ کسی بھی نقطے کے قریب $-\frac{\Delta \phi}{2}$ تا $+\frac{\Delta \phi}{2}$ پر مکمل کی قیمت $H_\phi \rho \Delta \phi$ جبکہ نقطے سے $-\frac{\Delta z}{2}$ فاصلے پر یہی مکمل ٹیلر تسلسل سے

$$\mathbf{H} \cdot d\mathbf{L}_{14} = H_\phi \rho \Delta \phi + \frac{\partial(H_\phi \rho \Delta \phi)}{\partial z} \left(-\frac{\Delta z}{2} \right)$$

حاصل ہوتا ہے۔ اسی طرح نقطے کے قریب $+\frac{\Delta \phi}{2}$ تا $-\frac{\Delta \phi}{2}$ پر مکمل کی قیمت $-H_\phi \rho \Delta \phi$ جبکہ نقطے سے $+\frac{\Delta z}{2}$ فاصلے پر یہی مکمل ٹیلر تسلسل سے

$$\mathbf{H} \cdot d\mathbf{L}_{32} = -H_\phi \rho \Delta \phi + \frac{\partial(-H_\phi \rho \Delta \phi)}{\partial z} \left(+\frac{\Delta z}{2} \right)$$

حاصل ہوتا ہے۔ ان دو جوابات کے مجموعے سے چھوٹے رقبے کے گرد گھومتے ہوئے زاویائی حصے کا مکمل

$$(7.52) \quad \mathbf{H} \cdot d\mathbf{L}_{14} + \mathbf{H} \cdot d\mathbf{L}_{32} = -\rho \frac{\partial H_\phi}{\partial z} \Delta z \Delta \phi$$

حاصل ہوتا ہے۔

مساوات 7.51 اور مساوات 7.52 کا مجموعہ چھوٹے رقبے کے گرد کل مکمل دیتا ہے جو رقبے سے گزرتی برقی رو $J\rho\Delta\phi\Delta z$ کے برابر ہو گا یعنی

$$\oint \mathbf{H} \cdot d\mathbf{L} = \left[\frac{\partial H_z}{\partial \phi} - \rho \frac{\partial H_\phi}{\partial z} \right] \Delta z \Delta \phi = J\rho \Delta \phi \Delta z$$

جس سے گردش کار داسی جزو

$$(7.53) \quad \lim_{\substack{\Delta\phi \rightarrow 0 \\ \Delta z \rightarrow 0}} \frac{\oint \mathbf{H} \cdot d\mathbf{L}}{\rho \Delta \phi \Delta z} = \left[\frac{1}{\rho} \frac{\partial H_z}{\partial \phi} - \frac{\partial H_\phi}{\partial z} \right] = J_\rho$$

ملتا ہے۔

شکل 7.15-ب میں 1 سے 2 جانب گھومتے ہوئے \mathbf{H} کے لکیری مکمل مندرجہ ذیل ہیں

$$\begin{aligned} \mathbf{H} \cdot d\mathbf{L}_{21} &= H_z \Delta z + \frac{\partial(H_z \Delta z)}{\partial \rho} \left(-\frac{\Delta \rho}{2} \right) \\ \mathbf{H} \cdot d\mathbf{L}_{43} &= -H_z \Delta z + \frac{\partial(-H_z \Delta z)}{\partial \rho} \left(+\frac{\Delta \rho}{2} \right) \\ \mathbf{H} \cdot d\mathbf{L}_{32} &= H_\rho \Delta \rho + \frac{\partial(H_\rho \Delta \rho)}{\partial z} \frac{\Delta z}{2} \\ \mathbf{H} \cdot d\mathbf{L}_{14} &= -H_\rho \Delta \rho + \frac{\partial(-H_\rho \Delta \rho)}{\partial z} \left(-\frac{\Delta z}{2} \right) \end{aligned}$$

اور یوں ایمپیر کے دوری قانون سے

$$(7.54) \quad \lim_{\substack{\Delta\rho \rightarrow 0 \\ \Delta z \rightarrow 0}} \frac{\oint \mathbf{H} \cdot d\mathbf{L}}{\Delta \rho \Delta z} = \left(\frac{\partial H_\rho}{\partial z} - \frac{\partial H_z}{\partial \rho} \right) = J_\phi$$

لکھا جاسکتا ہے۔

مساوات 7.54، مساوات 7.53 اور مساوات 7.50 کا مجموعہ نکلی محدود میں گردش دیتا ہے یعنی

$$(7.55) \quad \nabla \times \mathbf{H} = \left(\frac{1}{\rho} \frac{\partial H_z}{\partial \phi} - \frac{\partial H_\phi}{\partial z} \right) \mathbf{a}_\rho + \left(\frac{\partial H_\rho}{\partial z} - \frac{\partial H_z}{\partial \rho} \right) \mathbf{a}_\phi + \left[\frac{1}{\rho} \frac{\partial(H_\phi \rho)}{\partial \rho} - \frac{1}{\rho} \frac{\partial H_\rho}{\partial \phi} \right] \mathbf{a}_z$$

یہاں ایک بار پھر یہ بتلانا ضروری ہے کہ نکلی محدود میں ∇ اور \mathbf{H} کا صلیبی ضرب کسی صورت مندرجہ بالا مساوات کا دایاں ہاتھ نہیں دیتا۔ اس کے باوجود \mathbf{H} کے گردش کو $\nabla \times \mathbf{H}$ سے ہی ظاہر کیا جاتا ہے۔

مشق 7.3: اگر $\mathbf{H} = (3\rho \cos \phi + 5)\mathbf{a}_\rho + 6 \sin \phi \mathbf{a}_\phi + 2\mathbf{a}_z$ ہو تب $\nabla \times \mathbf{H}$ کیا ہو گا۔

جواب: $\nabla \times \mathbf{H} = \left(\frac{6}{\rho} + 3 \right) \sin \phi \mathbf{a}_z$

7.3.2 عمومی محدود میں گردش کی مساوات

2139

صفحہ 84 پر حصہ 3.10 میں عمومی محدود استعمال کرتے ہوئے پھیلاؤ کی مساوات حاصل کی گئی۔ یہاں عمومی محدود میں گردش کی مساوات حاصل کرتے ہیں۔ عمومی محدود کے متغیرات (u, v, w) جبکہ اکائی سمتیات (a_u, a_v, a_w) ہیں۔ ان میں تین اطراف

$$dL_u = k_1 du$$

$$dL_v = k_2 dv$$

$$dL_w = k_3 dw$$

2140

لکھے جاتے ہیں۔

گردش کا پہلا جزو حاصل کرنے کی خاطر ہم نقطہ (u, v, w) پر u کے عمودی سطح پر چھوٹا رقبہ لیتے ہیں جس کے اطراف $k_2 \Delta v$ اور $k_3 \Delta w$ ہوں گے۔ اب $v - \frac{\Delta v}{2}$ سے $v + \frac{\Delta v}{2}$ تک فاصلہ $k_2 \Delta v$ کے برابر ہے لہذا اس پر چلتے ہوئے مکمل $H_v k_2 \Delta v$ کے برابر ہو گا۔ نقطہ (u, v, w) سے $-\frac{\Delta w}{2}$ پر یہی مکمل ٹیلر تسلسل سے

$$\mathbf{H} \cdot d\mathbf{L}_{21} = H_v k_2 \Delta v + \frac{\partial(H_v k_2 \Delta v)}{\partial w} \left(-\frac{\Delta w}{2} \right)$$

حاصل ہوتا ہے۔ اسی طرح $v + \frac{\Delta v}{2}$ سے $v - \frac{\Delta v}{2}$ تک مکمل $-H_v k_2 \Delta v$ کے برابر ہو گا۔ نقطہ (u, v, w) سے $+\frac{\Delta w}{2}$ پر یہی مکمل

$$\mathbf{H} \cdot d\mathbf{L}_{43} = -H_v k_2 \Delta v + \frac{\partial(-H_v k_2 \Delta v)}{\partial w} \left(\frac{\Delta w}{2} \right)$$

ہو گا۔ یوں ان اطراف پر کل مکمل

$$(7.56) \quad \mathbf{H} \cdot d\mathbf{L}_{21} + \mathbf{H} \cdot d\mathbf{L}_{43} = -\frac{\partial(H_v k_2)}{\partial w} \Delta v \Delta w$$

ہو گا۔ یہی طریقہ کار استعمال کرتے ہوئے

$$\mathbf{H} \cdot d\mathbf{L}_{32} = H_w k_3 \Delta w + \frac{\partial(H_w k_3 \Delta w)}{\partial v} \left(\frac{\Delta v}{2} \right)$$

$$\mathbf{H} \cdot d\mathbf{L}_{14} = -H_w k_3 \Delta w + \frac{\partial(-H_w k_3 \Delta w)}{\partial v} \left(-\frac{\Delta v}{2} \right)$$

حاصل ہوتے ہیں جن سے

$$(7.57) \quad \mathbf{H} \cdot d\mathbf{L}_{32} + \mathbf{H} \cdot d\mathbf{L}_{14} = \frac{\partial(H_w k_3)}{\partial v} \Delta v \Delta w$$

لکھا جاسکتا ہے۔ یوں چھوٹے رقبے کے گرد کل مکمل

$$(7.58) \quad \oint \mathbf{H} \cdot d\mathbf{L} = \left[\frac{\partial(H_w k_3)}{\partial v} - \frac{\partial(H_v k_2)}{\partial w} \right] \Delta v \Delta w$$

لکھتے ہوئے ایمپیر کے دوری قانون سے

$$\oint \mathbf{H} \cdot d\mathbf{L} = \left[\frac{\partial(H_w k_3)}{\partial v} - \frac{\partial(H_v k_2)}{\partial w} \right] \Delta v \Delta w = J_u k_2 k_3 \Delta v \Delta w$$

لکھ کر گردش کا پہلا جزو

$$(7.59) \quad \lim_{\substack{\Delta v \rightarrow 0 \\ \Delta w \rightarrow 0}} \oint \mathbf{H} \cdot d\mathbf{L} = \frac{1}{k_2 k_3} \left[\frac{\partial(H_w k_3)}{\partial v} - \frac{\partial(H_v k_2)}{\partial w} \right] = J_u$$

حاصل ہوتا ہے۔ آپ اسی مساوات میں متغیرات ذرہ دیکھ کر تبدیل کرتے ہوئے گردش کے بقایا دو اجزاء

$$(7.60) \quad \lim_{\substack{\Delta u \rightarrow 0 \\ \Delta w \rightarrow 0}} \oint \mathbf{H} \cdot d\mathbf{L} = \frac{1}{k_1 k_3} \left[\frac{\partial(H_u k_1)}{\partial w} - \frac{\partial(H_w k_3)}{\partial u} \right] = J_v$$

اور

$$(7.61) \quad \lim_{\substack{\Delta u \rightarrow 0 \\ \Delta v \rightarrow 0}} \oint \mathbf{H} \cdot d\mathbf{L} = \frac{1}{k_1 k_2} \left[\frac{\partial(H_v k_2)}{\partial u} - \frac{\partial(H_u k_1)}{\partial v} \right] = J_w$$

لکھ سکتے ہیں۔ عمومی محدود میں گردش کے ان اجزاء کو

$$(7.62) \quad \nabla \times \mathbf{H} = \frac{1}{k_2 k_3} \left[\frac{\partial(H_w k_3)}{\partial v} - \frac{\partial(H_v k_2)}{\partial w} \right] \mathbf{a}_u + \frac{1}{k_1 k_3} \left[\frac{\partial(H_u k_1)}{\partial w} - \frac{\partial(H_w k_3)}{\partial u} \right] \mathbf{a}_v \\ + \frac{1}{k_1 k_2} \left[\frac{\partial(H_v k_2)}{\partial u} - \frac{\partial(H_u k_1)}{\partial v} \right] \mathbf{a}_w$$

یا قالب کا حتمی قیمت

$$(7.63) \quad \mathbf{H} \text{ گردش} = \begin{vmatrix} \frac{\mathbf{a}_u}{k_2 k_3} & \frac{\mathbf{a}_v}{k_3 k_1} & \frac{\mathbf{a}_w}{k_1 k_2} \\ \frac{\partial}{\partial u} & \frac{\partial}{\partial v} & \frac{\partial}{\partial w} \\ k_1 H_u & k_2 H_v & k_3 H_w \end{vmatrix}$$

لکھا جاسکتا ہے۔

2141

2142

7.3.3 کروی محدود میں گردش کی مساوات

جیسے صفحہ 84 پر حصہ 3.10 میں بتلایا گیا عمومی محدود میں

$$k_1 = 1$$

$$k_2 = r$$

$$k_3 = r \sin \theta$$

اور \mathbf{a}_u کی جگہ \mathbf{a}_r ، \mathbf{a}_v کی جگہ \mathbf{a}_θ اور \mathbf{a}_w کی جگہ \mathbf{a}_ϕ پر کرنے سے کروی محدود حاصل ہوتا ہے۔ مساوات 7.62 میں یہی کچھ پر کرتے ہوئے یوں کروی محدود میں گردش کی مساوات

$$\nabla \times \mathbf{H} = \frac{1}{r^2 \sin \theta} \left[\frac{\partial(H_\phi r \sin \theta)}{\partial \theta} - \frac{\partial(H_\theta r)}{\partial \phi} \right] \mathbf{a}_r + \frac{1}{r \sin \theta} \left[\frac{\partial H_r}{\partial \phi} - \frac{\partial(H_\phi r \sin \theta)}{\partial r} \right] \mathbf{a}_\theta \\ + \frac{1}{r} \left[\frac{\partial(H_\theta r)}{\partial r} - \frac{\partial H_r}{\partial \theta} \right] \mathbf{a}_\phi$$

یا

$$(7.64) \quad \nabla \times \mathbf{H} = \frac{1}{r \sin \theta} \left[\frac{\partial(H_\phi \sin \theta)}{\partial \theta} - \frac{\partial H_\theta}{\partial \phi} \right] \mathbf{a}_r + \frac{1}{r} \left[\frac{1}{\sin \theta} \frac{\partial H_r}{\partial \phi} - \frac{\partial(r H_\phi)}{\partial r} \right] \mathbf{a}_\theta + \frac{1}{r} \left[\frac{\partial(r H_\theta)}{\partial r} - \frac{\partial H_r}{\partial \theta} \right] \mathbf{a}_\phi$$

حاصل ہوتی ہے۔

2143

2144

مشق 7.4: میدان $\mathbf{H} = 3\rho^2 \cos \phi \mathbf{a}_\rho - 2\rho \sin \phi \mathbf{a}_\phi + \frac{z}{\rho} \mathbf{a}_z$ اور $\mathbf{H} = 2r^2 \cos \theta \mathbf{a}_r - 5r \sin \theta \mathbf{a}_\theta$ کے لئے $\nabla \times \mathbf{H}$ حاصل کریں۔

2146

2147

$$\nabla \times \mathbf{H} = (2r - 10) \sin \theta \mathbf{a}_\phi, \quad \nabla \times \mathbf{H} = \frac{z}{\rho^2} \mathbf{a}_\phi + (3\rho - 4) \sin \phi \mathbf{a}_z$$

جوابات:

2148

7.4 مسئلہ سٹوکس

2149

شکل 7.16-الف میں ایک رقبہ دکھایا گیا ہے جسے دو چھوٹے ٹکڑوں میں تقسیم کیا گیا ہے۔ بائیں چھوٹے رقبے کے لئے گردش

$$\oint \frac{\mathbf{H} \cdot d\mathbf{L}_B}{\Delta S_B} \doteq (\nabla \times \mathbf{H}_B)_N$$

لکھی جاسکتی ہے جہاں زیر نوشت میں N اس بات کی یاد دہانی کرتا ہے کہ گردش رقبے ΔS_B کے عمودی ہے اور زیر نوشت میں B بائیں رقبے کو ظاہر کرتا ہے۔ یوں $d\mathbf{L}_B$ سے مراد بائیں رقبے کے سرحد پر چھوٹا فاصلہ ہے جبکہ \mathbf{H}_B سے مراد بائیں چھوٹے رقبے کے وسط میں مقناطیسی شدت ہے۔ اس طرح اسی مساوات کو

$$\oint \frac{\mathbf{H} \cdot d\mathbf{L}_B}{\Delta S_B} \doteq (\nabla \times \mathbf{H}_B) \cdot \mathbf{a}_N$$

یا

$$\oint \mathbf{H} \cdot d\mathbf{L}_B \doteq (\nabla \times \mathbf{H}_B) \cdot \mathbf{a}_N \Delta S_B = (\nabla \times \mathbf{H}) \cdot \Delta S_B$$

بھی لکھا جاسکتا ہے جہاں \mathbf{a}_N اس رقبے کی اکائی عمودی سمتیہ ہے۔ اب شکل کو دیکھ کر

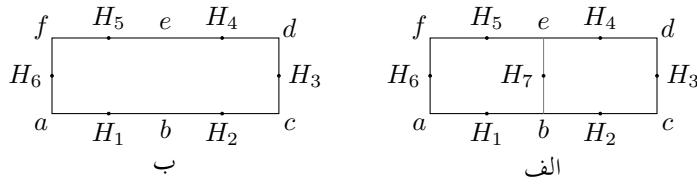
$$\oint \mathbf{H} \cdot d\mathbf{L}_B \doteq \mathbf{H}_1 \cdot \Delta \mathbf{L}_{ba} + \mathbf{H}_7 \cdot \Delta \mathbf{L}_{cb} + \mathbf{H}_5 \cdot \Delta \mathbf{L}_{fe} + \mathbf{H}_6 \cdot \Delta \mathbf{L}_{af}$$

2150

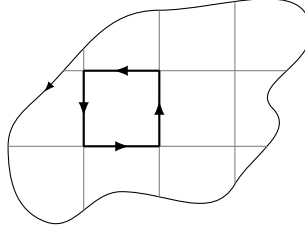
لکھا جاسکتا ہے۔

اسی طرح دائیں چھوٹے رقبے کے لئے

$$\oint \mathbf{H} \cdot d\mathbf{L}_D \doteq (\nabla \times \mathbf{H}_D) \cdot \Delta S_D$$



شکل 7.16: چھوٹے رقبوں کے گرد لکیری مکمل پورے رقبے کے گرد لکیری مکمل کے برابر ہے۔



شکل 7.17: کسی بھی بڑے رقبے کو انتہائی چھوٹے رقبوں میں تقسیم کرتے ہوئے ہر کے گرد لکیری مکمل لیں۔ ان تمام کا مجموعہ پورے رقبے کے سرحد پر لکیری مکمل کے برابر ہو گا۔

اور

$$\oint H \cdot dL_D \doteq H_2 \cdot \Delta L_{cb} + H_3 \cdot \Delta L_{dc} + H_4 \cdot \Delta L_{ed} + H_7 \cdot \Delta L_{be}$$

لکھا جاسکتا ہے۔

دائیں رقبے کے لکیری مکمل میں $H_7 \cdot \Delta L_{be} = -H_7 \cdot \Delta L_{eb}$ لکھ کر دونوں رقبوں کے لکیری مکمل جمع کرتے ہوئے

$$\begin{aligned} \oint H \cdot dL_B + \oint H \cdot dL_D &\doteq H_1 \cdot \Delta L_{ba} + H_2 \cdot \Delta L_{cb} + H_3 \cdot \Delta L_{dc} + H_4 \cdot \Delta L_{ed} + H_5 \cdot \Delta L_{fe} + H_6 \cdot \Delta L_{af} \\ &\doteq (\nabla \times H_B) \cdot \Delta S_B + (\nabla \times H_D) \cdot \Delta S_D \end{aligned}$$

حاصل ہوتا ہے۔ آپ دیکھ سکتے ہیں کہ چھوٹے رقبوں کے مشترک طرف ΔL_{be} پر دونوں کے لکیری مکمل آپس میں کٹ گئے ہیں۔ یہاں پہلی مساوات پورے رقبے کے گرد لکیری مکمل کے برابر ہے جو شکل 7.16-ب کو دیکھ کر لکھی جاسکتی ہے۔ ہم نے شکل 7.16-الف میں رقبے کے صرف دو ٹکڑے لئے۔ آپ دیکھ سکتے ہیں کہ رقبے کے زیادہ ٹکڑے کرتے ہوئے بھی یہی طریقہ کار استعمال کیا جاسکتا ہے۔ اس طرح اگر کسی بھی بڑے رقبے کو انتہائی چھوٹے رقبوں میں تقسیم کرتے ہوئے ہر ایک کے گرد لکیری مکمل لیا جائے تو ان کا مجموعہ پورے رقبے کے سرحد پر گھومتے لکیری مکمل کے برابر ہو گا۔ شکل 7.17 میں بڑے رقبے کو چھوٹے حصوں میں تقسیم کیا دکھایا گیا ہے۔ ہر دو بڑے چھوٹے رقبوں کے مشترک طرف پر لکیری مکمل آپس میں کٹ جائیں گے۔ یوں تمام چھوٹے رقبوں کے لکیری مکمل کے مجموعے کو بڑے رقبے کا لکیری مکمل لیتے ہوئے اور تمام چھوٹے رقبوں کے $(\nabla \times H_B) \cdot \Delta S$ کے مجموعے کو مکمل کی شکل میں لکھتے ہوئے

$$(7.65) \quad \oint H \cdot dL = \int_S (\nabla \times H_B) \cdot dS$$

لکھا جاسکتا ہے جہاں dL کو صرف بڑے رقبے S کے سرحد پر لیا جاتا ہے۔

اگرچہ ہم نے مساوات 7.65 متناطیسی میدان کے لئے حاصل کیا، درحقیقت یہ ایک عمومی مساوات ہے جو کسی بھی سمتی میدان کے لئے درست ہے۔ یہ مساوات مسئلہ سٹوکس¹¹ بیان کرتا ہے۔

مسئلہ سٹوکس سے ایمپیر کادوری قانون باآسانی حاصل ہوتا ہے۔ ایسا کرنے کی خاطر $\nabla \times \mathbf{H} = \mathbf{J}$ کے دونوں اطراف کا $d\mathbf{S}$ کے ساتھ غیر سمتی ضرب لیتے ہوئے دونوں اطراف کا کھلے سطح S پر سطحی مکمل لیتے ہوئے مسئلہ سٹوکس کا استعمال کریں گے۔

$$\int_S (\nabla \times \mathbf{H}) \cdot d\mathbf{S} = \int_S \mathbf{J} \cdot d\mathbf{S} = \oint \mathbf{H} \cdot d\mathbf{L}$$

کثافت برقی رو کا سطحی مکمل سطح S سے گزرتی برقی رو کے برابر ہے لہذا مندرجہ بالا

$$\oint \mathbf{H} \cdot d\mathbf{L} = I$$

حاصل ہوتا ہے جو ایمپیر کادوری قانون ہے۔ ایمپیر کے دوری قانون کے اس مختصر حصول سے یہ حقیقت بھی واضح ہوتی ہے کہ I ان تمام سطحوں سے گزرتی برقی رو ہے جن کا سرحد مکمل میں استعمال بند راہ ہے۔

2156

مسئلہ سٹوکس سطحی مکمل اور بند لکیری مکمل کے مابین تعلق بیان کرتا ہے۔ آپ کو یاد ہو گا کہ مسئلہ پھیلاؤ حجمی مکمل اور بند سطحی مکمل کے مابین تعلق بیان کرتا ہے۔ یہ دونوں مسئلے عمومی سمتیاتی ثبوت پیش کرنے میں اہم کردار ادا کرتے ہیں۔ آئیں ایسی ایک مثال دیکھتے ہیں جس میں ہم $\nabla \cdot \mathbf{A} \times \nabla$ کو بیان کرنے کا مختلف طریقہ حاصل کرنے کی کوشش کرتے ہیں جہاں \mathbf{A} کوئی بھی عمومی سمتی میدان ہو سکتا ہے۔

2159

شروع کرنے سے پہلے یاد رہے کہ گردش کا حاصل جواب سمتیہ ہوتا ہے جبکہ پھیلاؤ کا حاصل جواب غیر سمتی ہوتا ہے۔ کسی بھی عمومی سمتیہ میدان \mathbf{A} کا گردش $\nabla \times \mathbf{A}$ بھی سمتیہ ہو گا جبکہ اس گردش کا پھیلاؤ $\nabla \cdot \nabla \times \mathbf{A}$ غیر سمتی ہو گا جسے T کہتے ہیں یعنی

$$\nabla \cdot \nabla \times \mathbf{A} = T$$

دونوں اطراف کا حجمی مکمل لیتے ہیں۔

$$\int_{\text{حجم}} (\nabla \cdot \nabla \times \mathbf{A}) dh = \int_{\text{حجم}} T dh$$

بائیں ہاتھ پر مسئلہ پھیلاؤ لاگو کرتے ہوئے

$$\oint_S (\nabla \times \mathbf{A}) \cdot d\mathbf{S} = \int_{\text{حجم}} T dh$$

لکھا جاسکتا ہے۔ اس مساوات کا بائیں ہاتھ حجم کو گھیرتے بند سطح پر $\nabla \times \mathbf{A}$ کا مکمل ہے۔ مسئلہ سٹوکس کسی بھی سطح پر سطحی مکمل اور اس سطح کے سرحد پر لکیری مکمل کا تعلق بیان کرتا ہے۔ یوں مندرجہ بالا مساوات کے بائیں ہاتھ میں اگر سطح کو تھیلا سمجھا جائے تو تھیلے کا منہ سطح کا سرحد ہو گا جس پر لکیری مکمل لیا جائے گا۔ جیسے جیسے تھیلے کے منہ کو چھوٹا کیا جائے ویسے ویسے تھیلا بند سطح کی شکل اختیار کرے گا جبکہ سطح کا سرحد چھوٹے سے چھوٹا ہوتا جائے گا حتیٰ کہ جب تھیلے کا منہ مکمل بند ہو جائے تو تھیلا مکمل بند سطح ہو گا جبکہ اس کا سرحد صفر کے برابر ہو گا۔ صفر لبائی کے راہ پر مکمل صفر کے برابر ہوتا ہے یعنی

$$\int_0^0 \mathbf{A} \cdot d\mathbf{L} = 0$$

یوں

$$\int_{\text{حجم}} T dh = 0$$

حاصل ہوتا ہے۔ چونکہ یہ مساوات کسی بھی حجم کے لئے درست ہے لہذا یہ تفرقی حجم dh کے لئے بھی درست ہے یعنی

$$T dh = 0$$

جس سے

$$T = 0$$

یا

$$(7.66) \quad \nabla \cdot \nabla \times \mathbf{A} = 0$$

حاصل ہوتا ہے۔ مساوات 7.66 انتہائی اہم ثبوت ہے جس کے تحت کسی بھی عمومی سمتی میدان کے گردش کا پھیلاؤ صفر کے برابر ہوتا ہے۔ اس ثبوت کو مندرجہ ذیل مثال میں کارتیسی محدود استعمال کرتے ہوئے بھی حاصل کیا گیا ہے۔

2161

مثال 7.3: کسی بھی عمومی سمتی میدان $\mathbf{A} = A_x \mathbf{a}_x + A_y \mathbf{a}_y + A_z \mathbf{a}_z$ کا گردش اور گردش کا پھیلاؤ کارتیسی محدود میں حاصل کرتے ہوئے ثبات کریں کہ گردش کا پھیلاؤ صفر کے برابر ہوگا۔

2163

حل: پہلے گردش حاصل کرتے ہیں

$$\nabla \times \mathbf{A} = \left(\frac{\partial A_z}{\partial y} - \frac{\partial A_y}{\partial z} \right) \mathbf{a}_x + \left(\frac{\partial A_x}{\partial z} - \frac{\partial A_z}{\partial x} \right) \mathbf{a}_y + \left(\frac{\partial A_y}{\partial x} - \frac{\partial A_x}{\partial y} \right) \mathbf{a}_z$$

جس کا پھیلاؤ

$$\nabla \cdot \nabla \times \mathbf{A} = \frac{\partial^2 A_z}{\partial x \partial y} - \frac{\partial^2 A_y}{\partial x \partial z} + \frac{\partial^2 A_x}{\partial y \partial z} - \frac{\partial^2 A_z}{\partial y \partial x} + \frac{\partial^2 A_y}{\partial z \partial x} - \frac{\partial^2 A_x}{\partial z \partial y} = 0$$

2164

کے برابر ہے جہاں $\frac{\partial^2 A_z}{\partial x \partial y}$ اور $-\frac{\partial^2 A_z}{\partial y \partial x}$ کی طرح بقایا اجزاء بھی آپس میں کٹ جاتے ہیں۔

2165

ساکن مقناطیسی میدان یعنی وقت کے ساتھ تبدیل نہ ہوتے مقناطیسی میدان کے لئے ایمپیر کے دوری قانون کی نقطہ شکل

$$\nabla \times \mathbf{H} = \mathbf{J}$$

ہے۔ اس مساوات کے دونوں اطراف کا پھیلاؤ حاصل کرتے ہوئے

$$\nabla \cdot \nabla \times \mathbf{H} = \nabla \cdot \mathbf{J}$$

لکھا جاسکتا ہے۔ مساوات 7.66 کے تحت گردش کا پھیلاؤ صفر کے برابر ہوتا ہے لہذا

$$(7.67) \quad \nabla \cdot \mathbf{J} = 0$$

ہوگا۔ اس سے ظاہر ہے کہ ساکن مقناطیسی میدان صرف ایسی برقی رو سے حاصل ہوتا ہے جس کے لئے مساوات 7.67 درست ہو۔ یہی نتیجہ ہم پہلے بھی مساوات 7.4 میں حاصل کر چکے ہیں جہاں ہم دیکھ چکے کہ $\nabla \cdot \mathbf{J} = 0$ سے مراد ہند راہ سے کل صفریک سمتی برقی رو کا گزرنا ہے۔

2167

خالی خلاء میں کثافت مقناطیسی بہاو B کی تعریف

$$(7.68) \quad B = \mu_0 H$$

ہے جہاں B کی اکائی ویبر فی مربع میٹر Wb/m^2 ہے جسے ¹²سلا 12 پکارا اور T سے ظاہر کیا جاتا ہے۔ اس مساوات میں μ_0 خالی خلاء کا **مقناطیسی مستقل** ¹³ ہے جسے ہینری فی میٹر $\frac{\text{H}}{\text{m}}$ میں ناپا جاتا ہے۔ خالی خلاء میں

$$(7.69) \quad \mu_0 = 4\pi \times 10^{-7} \frac{\text{H}}{\text{m}}$$

کے برابر ہے۔

چونکہ H کی اکائی ایمپیئر فی میٹر ہے لہذا ویبر کی اکائی ہینری ضرب ایمپیئر ہے۔ ہینری کو اکائی تصور کرتے ہوئے ہم دیکھتے ہیں کہ ہینری ضرب ایمپیئر کو ویبر لکھا جاتا ہے۔ وقت کے ساتھ بدلے میدان پر غور کے دوران ہم دیکھیں گے کہ ویبر سے مراد ولٹ ضرب سیکنڈ بھی لیا جاسکتا ہے۔

خالی خلاء میں کثافت برقی بہاو D اور برقی میدان کی شدت E کا تعلق

$$D = \epsilon_0 E$$

ہو بہو مساوات 7.68 کی طرح ہے۔ کثافت برقی بہاو کا سطحی مکمل برقی بہاو ψ دیتا ہے۔

$$\psi = \int_S D \cdot dS$$

کسی بھی بند سطح سے گزرتی برقی بہاو اس سطح میں گھیرے چارج Q کے برابر ہوتا ہے۔

$$\psi = \oint_S D \cdot dS = Q$$

مثبت چارج سے برقی بہاو کا اخراج ہوتا ہے جبکہ منفی چارج پر برقی بہاو کا اختتام ہوتا ہے۔ یوں برقی بہاو کا منبع برقی چارج ہے۔ مقناطیسی قطب ہر صورت جوڑی کی شکل میں پائے جاتے ہیں۔ آج تک تنہا مقناطیسی قطب نہیں پایا گیا۔ یوں آج تک ایسی صورت دیکھنے کو نہیں ملی جہاں تنہا مقناطیسی قطب سے مقناطیسی بہاو کا اخراج ہو یا مقناطیسی بہاو اس پر اختتام پذیر ہو۔ مقناطیسی بہاو کا منبع برقی رو ہے۔ یاد رہے کہ نا تو مقناطیسی بہاو اس برقی رو سے خارج اور نا ہی اس پر اختتام پذیر ہوتی ہے بلکہ یہ بند دائرے کی شکل میں برقی رو کو گھیرتی ہے۔ کثافت مقناطیسی بہاو کا سطحی مکمل **مقناطیسی بہاو** Φ ¹⁴ دیتا ہے جسے **ویبر** Wb ¹⁵ میں ناپا جاتا ہے۔

$$(7.70) \quad \Phi = \int_S B \cdot dS \quad \text{Wb}$$

چونکہ مقناطیسی بہاو بند دائرہ بناتا ہے لہذا کسی بھی بند سطح میں جتنا مقناطیسی بہاو داخل ہوتا ہے، اتنا ہی مقناطیسی بہاو اس سطح سے خارج بھی ہوتا ہے لہذا کسی بھی بند سطح پر مقناطیسی بہاو کا مکمل صفر کے برابر ہوگا۔

$$(7.71) \quad \oint_S B \cdot dS = 0$$

مسئلہ پھیلاؤ کے استعمال سے مندرجہ بالا مساوات سے

$$(7.72) \quad \nabla \cdot \mathbf{B} = 0$$

2172

حاصل ہوتا ہے۔

ہم نے مساوات 7.71 کو ثابت نہیں کیا بلکہ حقیقت کو سامنے رکھتے ہوئے اسے لکھا ہے۔ اس کو آگے ثابت کیا جائے گا۔ فی الحال اس کو قبول کر لیں اور یوں مساوات 7.72 کو بھی درست تصور کریں۔

2174

ساکن مقناطیسی اور ساکن برقی میدان کے لئے مساوات 7.72 میکس ویل کی چوتھی اور آخری مساوات ہے۔ ان تمام کو یہاں دوبارہ پیش کرتے ہیں۔

$$(7.73) \quad \begin{aligned} \nabla \cdot \mathbf{D} &= \rho \\ \nabla \times \mathbf{E} &= 0 \\ \nabla \times \mathbf{H} &= \mathbf{J} \\ \nabla \cdot \mathbf{B} &= 0 \end{aligned}$$

ان کے ساتھ

$$(7.74) \quad \begin{aligned} \mathbf{D} &= \epsilon_0 \mathbf{E} \\ \mathbf{B} &= \mu_0 \mathbf{H} \end{aligned}$$

کو بھی شامل کرتے ہیں۔ ہم برقی میدان کی شدت اور ساکن برقی دباؤ کا تعلق بھی پیش کرتے ہیں۔

$$(7.75) \quad \mathbf{E} = -\nabla V$$

مساوات 7.73 برقی اور مقناطیسی میدان کے پھیلاؤ اور گردش بیان کرتے ہیں جو ان میدان کی خاصیت کے نقطہ اشکال ہیں۔ انہیں کی مکمل اشکال مندرجہ ذیل ہیں۔

$$(7.76) \quad \begin{aligned} \oint_S \mathbf{D} \cdot d\mathbf{S} &= Q = \int_{\text{حجم}} \rho_h dh \\ \oint \mathbf{E} \cdot d\mathbf{L} &= 0 \\ \oint \mathbf{H} \cdot d\mathbf{L} &= I = \int_S \mathbf{J} \cdot d\mathbf{S} \\ \oint_S \mathbf{B} \cdot d\mathbf{S} &= 0 \end{aligned}$$

ہم جلد ساکن مقناطیسی میدان کے مقناطیسی دباؤ پر بھی غور کریں گے۔ ہم نے برقی میدان پر غور کے دوران موصل اجزاء کے اثر کو بھی تقطیب P کی صورت میں شامل کیا۔ ایسا کرتے ہوئے جزو برقی مستقل کا سہارا لیا گیا۔ اگلے باب میں اسی طرح دیگر اجزاء کا مقناطیسی میدان پر اثر دیکھا جائے گا۔

2176

آئیں مقناطیسی بہاؤ اور کثافت مقناطیسی بہاؤ کا استعمال ہم محوری تار کے اندر بہاؤ کے مثال کی صورت میں دیکھیں۔ ایسی ہم محوری تار جسے شکل 7.7 میں دکھایا گیا ہے میں مقناطیسی شدت

$$H_\phi = \frac{I}{2\pi\rho} \quad (\rho_1 < \rho < \rho_2)$$

ہم پہلے حاصل کر چکے ہیں۔ یوں کثافت مقناطیسی بہاؤ

$$\mathbf{B} = \mu_0 \mathbf{H} = \frac{\mu_0 I}{2\pi\rho} \mathbf{a}_\phi$$

ہوگا۔ اندرونی اور بیرونی تار کے درمیان مقناطیسی بہاؤ وہی ہوگا جو ان تاروں کے درمیان رداسی سیدھی سطح سے گزرے گا۔ تار کو z محور پر تصور کرتے ہوئے $z = d/2$ تک رداسی سطح سے گزرتی مقناطیسی بہاؤ

$$\Phi = \int_S \mathbf{B} \cdot d\mathbf{S} = \int_0^d \int_{\rho_1}^{\rho_2} \frac{\mu_0 I}{2\pi\rho} a_\phi \cdot (d\rho dz a_\phi)$$

یعنی

$$\Phi = \frac{\mu_0 I d}{2\pi} \ln \frac{\rho_2}{\rho_1} \quad (7.77)$$

ہوگی۔ یہ مساوات آگے جا کر ہم محوری تار کے امالہ کے حصول میں کام آئے گی۔

2177

2178

مشق 7.5: تانبے کی تار کو پانی سے ٹھنڈا کرتے ہوئے اس میں زیادہ کثافت برقی رو گزاری جاسکتی ہے۔ ایک ایسی ہم محوری تار جس کے اندرونی تار کا اندرونی رداس 25 mm جبکہ اس کا بیرونی رداس 28 mm ہے اور جس کے بیرونی تار کا اندرونی رداس 35 mm اور بیرونی رداس 37 mm ہے میں 10 000 A کا یک سمتیہ برقی روتاروں میں الٹ سمت میں گزر رہا ہے۔ ٹھنڈا پانی اندرونی تار کے اندر اور تاروں کے درمیان فاصلے سے گزار کر انہیں ٹھنڈا رکھا جاتا ہے۔ دونوں تاروں کے اندر اور ان کے مابین H اور B حاصل کرنے کے بعد 1 m لمبائی کے لئے دونوں تاروں کے اندر اور ان کے مابین مقناطیسی بہاؤ حاصل کریں۔

2182

جوابات: اندرونی تار میں $\Phi = 109 \mu\text{Wb}$ اور $J = 20 \frac{\text{A}}{\text{mm}^2}$ ہیں۔ بیرونی تار میں $\Phi = 56.6 \mu\text{Wb}$ اور $J = 22.1 \frac{\text{A}}{\text{mm}^2}$ ہیں۔ تاروں کے درمیانی فاصلے میں $\Phi = 446 \mu\text{Wb}$ ہے۔

2184

2185

2186

مشق 7.6: $z = 0$ سطح پر ρ رداس کے گول بند دائرے میں I برقی رو گزر رہی ہے۔ گول دائرے کا مرکز کارٹیزی محدد کے $(0, 0, 0)$ پر ہے۔ اگر شہت z جانب سے دیکھا جائے تو برقی رو گھڑی کے الٹ سمت میں گھوم رہی ہے۔ باپوٹ سیوارٹ کے قانون سے دائرے کے عین وسط میں H حاصل کریں۔

2188

2189

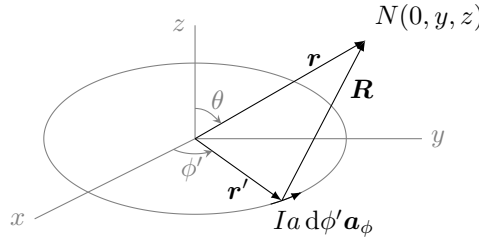
$$H = \frac{I}{2\rho} a_z$$

2190

مندرجہ بالا مشق میں آپ نے دائرے کے مرکز پر مقناطیسی میدان حاصل کیا۔ یہی طریقہ استعمال کرتے ہوئے دائرے کے محور پر کسی بھی نقطے پر مقناطیسی میدان حاصل کیا جاسکتا ہے۔ البتہ جیسے ہی محور سے ہٹ کر مقناطیسی میدان مطلوب ہو مسئلہ خاصہ مشکل ہو جاتا ہے۔ مندرجہ ذیل مثال میں اس حقیقت کو بھانسنے رکھا جائے گا کہ محور سے ہٹ کر برقی رو گزارتے گول دائرے کا مقناطیسی میدان حاصل کرنا کیوں ممکن نہیں ہوگا۔ اس کے بعد اس مسئلے کا عددی حل¹⁶ حاصل کرنا دکھایا جائے گا۔ کمپیوٹر استعمال کرتے ہوئے کسی بھی مسئلے کا عددی حل حاصل کیا جاسکتا ہے۔

2194

2195



شکل 7.18: گول بند دائرے میں یک سمتی برقی رو سے محور پرے ہٹ کر مقناطیسی میدان۔

مثال 7.4: شکل 7.18 میں $x = 0$ سطح یعنی yz سطح پر نقطہ $N(0, y, z)$ پر گول بند دائرے میں یک سمتی برقی رو سے پیدا مقناطیسی میدان کی شدت حاصل کریں۔

حل: رداس a کے گول دائرے پر نقطہ $N'(a, \frac{\pi}{2}, \phi')$ پر چھوٹی سمتی لمبائی کو $dL' = a d\phi' a'_\phi$ لکھا جاسکتا ہے جہاں اکائی سمتیہ a'_ϕ کو کارٹیزی میں

$$a'_\phi = -\sin \phi' a_x + \cos \phi' a_y$$

لکھا جاسکتا ہے۔ یوں

$$dL' = a d\phi' (-\sin \phi' a_x + \cos \phi' a_y)$$

لکھا جاسکتا ہے۔ یہ چھوٹی لمبائی خود $(a \cos \phi', a \sin \phi')$ پر پائی جاتی ہے یعنی

$$r' = a a'_\rho = a \cos \phi' a_x + a \sin \phi' a_y$$

کے برابر ہے۔ نقطہ N کا مقام کارٹیزی میں

$$r = y a_y + z a_z$$

ہے۔ یوں

$$R = r - r' = -a \cos \phi' a_x + (y - a \sin \phi') a_y + z a_z$$

لکھتے ہوئے

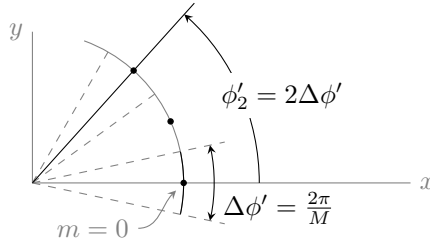
$$\begin{aligned} |R| = R &= \sqrt{(-a \cos \phi')^2 + (y - a \sin \phi')^2 + z^2} \\ &= \sqrt{a^2 + y^2 + z^2 - 2ay \sin \phi'} \end{aligned}$$

اور

$$a_R = \frac{R}{|R|} = \frac{-a \cos \phi' a_x + (y - a \sin \phi') a_y + z a_z}{\sqrt{a^2 + y^2 + z^2 - 2ay \sin \phi'}}$$

حاصل ہوتے ہیں۔ بائوٹ سیوارٹ قانون میں $a_R = \frac{R}{R}$ پر کرتے ہیں

$$H = \oint \frac{I dL' \times R}{4\pi R^3}$$



شکل 7.19: تکمیل کے راہ کو متعدد چھوٹے ٹکڑوں میں تقسیم کیا گیا ہے۔

لکھا جائے گا۔ اس تکمیل کو مجموعے کی شکل میں لکھا جاسکتا ہے۔ شکل 7.19 کو دیکھ کر آگے پڑھیں۔ تکمیل کے راہ کو M برابر ٹکڑوں میں تقسیم کرتے ہوئے ہر ٹکڑے پر $\Delta\phi' = \frac{2\pi}{M}$ کے برابر ہوگا۔ ان ٹکڑوں کے گنتی کا حساب ہم m سے رکھتے ہیں جہاں m کی قیمت 0 تا $(M-1)$ ہے۔ یوں پہلے ٹکڑے کو $m=0$ سے ظاہر کیا جائے گا اور اس ٹکڑے کے عین وسط میں زاویہ $\phi'_0 = 0$ ہوگا۔ شکل میں راہ کے چھوٹے ٹکڑوں کے عین وسط کو نقطوں سے ظاہر کیا گیا ہے۔ دوسرے ٹکڑے پر $m=1$ اور زاویہ $\phi'_1 = \Delta\phi' = \frac{2\pi}{M}$ ہوگا۔ جیسے شکل میں دکھایا گیا ہے، تیسرے پر $m=2$ اور زاویہ $\phi'_2 = 2\Delta\phi' = \frac{2 \times 2\pi}{M}$ ہوگا۔ یوں عمومی ٹکڑے m پر زاویہ $\phi'_m = m\Delta\phi' = \frac{2m\pi}{M}$ ہوگا۔

اگر ان چھوٹے ٹکڑوں پر تفاعل کی قیمت میں تبدیلی کو رد کرنا ممکن ہو تب ہر چھوٹے ٹکڑے پر تکمیل تقریباً

$$\begin{aligned} \Delta H_y &= \frac{I}{4\pi a} \frac{\sin \phi'_m \Delta\phi'}{(3 - 2 \sin \phi'_m)^{\frac{3}{2}}} \\ &= \frac{I}{4\pi a} \frac{\sin(\frac{2m\pi}{M}) \frac{2\pi}{M}}{(3 - 2 \sin \frac{2m\pi}{M})^{\frac{3}{2}}} \end{aligned}$$

کے برابر ہوگا۔ یوں تمام ٹکڑوں کا مجموعہ

$$H_y = \frac{I}{4\pi a} \frac{2\pi}{M} \sum_{m=0}^{M-1} \frac{\sin \frac{2m\pi}{M}}{(3 - 2 \sin \frac{2m\pi}{M})^{\frac{3}{2}}}$$

ہوگا۔ جدول 7.1 میں $M=10$ کی صورت میں m کے تمام قیمتوں پر حاصل $\frac{\sin \frac{2m\pi}{M}}{(3 - 2 \sin \frac{2m\pi}{M})^{\frac{3}{2}}}$ اجزاء دئے گئے ہیں۔ ان تمام کا مجموعہ

$$\begin{aligned} H_y &= \frac{I}{4\pi a} \frac{2\pi}{M} (0.00000 + 0.23852 + 0.82674 + 0.82674 + 0.23852 + 0.00000 \\ &\quad - 0.06889 - 0.08763 - 0.08763 - 0.06889) \\ &= \frac{I}{4\pi a} \frac{2\pi}{10} (1.8175) \\ &= 1.1420 \left(\frac{I}{4\pi a} \right) \end{aligned}$$

حاصل ہوتا ہے۔ زیادہ سے زیادہ ٹکڑے لیتے ہوئے زیادہ درست جواب حاصل ہوتا ہے۔ اگر $M=100$ کر دیا جائے تب $H_y = \frac{1.1433I}{4\pi a}$ حاصل ہوتا ہے۔

جدول کو دیکھتے ہوئے ظاہر ہے کہ $m=0$ اور $m=5$ برابر حصہ ڈالتے ہیں۔ اسی طرح $m=1$ اور $m=4$ بھی برابر حصہ ڈالتے ہیں۔ ان حقائق کو مد نظر رکھتے ہوئے پورے جدول کو حل کرنا درکار نہیں ہے۔ درحقیقت موجودہ مثال میں جدول کے صرف پانچ یعنی آدھے خانوں کا حل درکار ہے۔ موجودہ مسئلے میں صرف دس چھوٹے ٹکڑے کرتے ہوئے تقریباً درست جواب حاصل ہوتا ہے۔ دس اور سو ٹکڑوں کے جوابات میں صرف

$$\left(\frac{1.1433 - 1.1420}{1.1433} \right) \times 100 = 0.11\%$$

$\frac{\sin \frac{2m\pi}{M}}{(3-2 \sin \frac{2m\pi}{M})^{\frac{3}{2}}}$	m
0.00000	0
0.23852	1
0.82674	2
0.82674	3
0.23852	4
0.00000	5
-0.06889	6
-0.08763	7
-0.08763	8
-0.06889	9

جدول 7.1: دائرے پر برقی رو سے حاصل مقناطیسی میدان کی شدت بذریعہ عددی حل۔

کافر ہے۔

2209

2210

2211

7.6 غیر سمتی اور سمتی مقناطیسی دباو

برقی میدان کے مسائل برقی دباو کے استعمال سے نہایت آسان ہو جاتے ہیں۔ گھریلو 220 V کے برقی دباو سے آپ بخوبی واقف ہیں۔ اگرچہ برقی دباو سے ہمیں روزمرہ زندگی میں عموماً واسطہ پڑتا ہے اور یہ ہمارے لئے ایک حقیقت رکھتا ہے، مقناطیس و برقیات کے میدان میں برقی دباو کی اہمیت صرف اس وجہ سے ہے کہ اس کی مدد سے برقی مسائل باآسانی حل ہو جاتے ہیں۔ مثال کے طور پر ہم کسی بھی چارج سے پہلے برقی دباو اور پھر برقی دباو سے برقی شدت حاصل کرتے ہیں۔

2214

برقی دباو غیر سمتی مقدار ہے۔ ہم جلد دیکھیں گے کہ برقی دباو کے طرز پر **غیر سمتی مقناطیسی دباو**¹⁹ بیان کیا جاسکتا ہے۔ البتہ یہ صرف کثافت برقی رو سے پاک مقامات پر قابل بیان ہوتا ہے۔ یوں اس کا استعمال ہر جگہ ممکن نہیں ہوگا۔ اس کے برعکس **سمتی مقناطیسی دباو**²⁰ بھی بیان کیا جاسکتا ہے جو انتہائی اہمیت کا حامل ہے۔ سمتی مقناطیسی دباو **اینٹینا**²¹، **موج**²² اور مائیکروویو چولھے (خرد موج چولھے)²³ پر غور کرنے میں مدد دیتا ہے۔ یہ وقت کے ساتھ تبدیل ہوتے میدان میں بھی قابل استعمال ہوگا اور یہ ان مقامات پر بھی قابل بیان ہوگا جہاں برقی رو پائی جائے۔ آئیں پہلے غیر سمتی مقناطیس دباو دیکھیں۔

2218

برقی دباو اور برقی میدان کی شدت کا تعلق صفحہ 108 پر مساوات 4.46 میں بیان کیا گیا ہے۔ ہم فرض کرتے ہیں بالکل اسی طرح غیر سمتی مقناطیسی دباو V_m کی ڈھلوان منفی مقناطیسی شدت دیتا ہے یعنی

$$\mathbf{H} = -\nabla V_m$$

یہ نیا تفاعل مقناطیسی میدان کے دیگر تفاعل کے ساتھ ہم آہنگ ہونا چاہیے لہذا اسے ایمپیر کے دوری قانون کے نقطہ صورت پر پورا اترنا ہوگا۔ اس طرح

(7.79)

$$\nabla \times \mathbf{H} = \mathbf{J} = \nabla \times (-\nabla V_m)$$

¹⁹ scalar magnetic potential

²⁰ vector magnetic potential

²¹ antenna

²² waveguide

²³ microwave oven

ہوگا۔ البتہ جیسے آپ مشق 7.7 میں دیکھیں گے، کسی بھی متغیرہ کی ڈھلوان کا گردش صفر کے برابر ہوتا ہے۔ یوں مقناطیسی میدان کے شدت اور غیر سمتی مقناطیسی دباؤ کا تعلق صرف اس صورت درست ہو سکتا ہے جب $J = 0$ ہو یعنی

$$H = -\nabla V_m \quad (J = 0) \quad (7.80)$$

اب آپ دیکھ سکتے ہیں کہ غیر مقناطیسی دباؤ پر لاگو شرط کہ کثافت برقی رو صفر ہونا ضروری ہے ناقابل قبول شرط ہے۔ اگرچہ کئی صورتوں میں کثافت برقی رو صفر ہوگی اور V_m کا استعمال ممکن ہوگا لیکن ہمیں ایسے مسائل بھی درپیش ہوں گے جہاں کثافت برقی رو صفر نہ ہوگا۔ ایسی صورت میں V_m ہمارے کسی کام کا نہ ہوگا۔ غیر سمتی مقناطیسی دباؤ V_m کی تعریف سے ظاہر ہے کہ اسے ایکسپریز میں ناپا جائے گا۔

2221

خالی خلاء میں

$$\nabla \cdot B = \mu_0 \nabla \cdot H = 0$$

سے

$$\mu_0 \nabla \cdot (-\nabla V_m) = 0$$

یا

$$\nabla^2 V_m = 0 \quad (J = 0) \quad (7.81)$$

جو لاپلاس مساوات ہے حاصل ہوتا ہے۔ یوں غیر سمتی مقناطیسی دباؤ لاپلاس مساوات پر پورا اترتا ہے۔ ہم دیکھیں گے کہ ہر طرف یکساں خاصیت کے مقناطیسی اشیاء میں بھی V_m لاپلاس مساوات پر پورا اترتا ہے۔ یاد رہے کہ V_m صرف اور صرف کثافت برقی رو سے پاک مقامات پر درست ثابت ہوتا ہے۔

2223

اگلے باب میں V_m پر تفصیلی غور کیا جائے گا۔ یہاں یہ بتلانا ضروری ہے کہ چونکہ مقناطیسی میدان بقائی میدان نہیں ہے لہذا V_m کی قیمت اٹل نہیں ہوگی۔ آپ کو یاد ہوگا کہ برقی میدان میں کسی نقطے کو برقی زمین رکھتے ہوئے کسی دوسرے نقطے پر برقی دباؤ اٹل قیمت رکھتی ہے۔ مقناطیسی میدان میں ایسا ممکن نہیں ہے۔ ایسی ایک مثال دیکھنے کی خاطر z محور پر رکھی لا محدود لمبائی کے تار پر غور کرتے ہیں جس میں a_z جانب I برقی رو گزر رہی ہو۔ ایسی تار کے گرد جہاں $J = 0$ ہے

$$H = \frac{I}{2\pi\rho} a_\phi$$

ہوگا اور غیر سمتی مقناطیسی دباؤ حاصل کیا جاسکتا ہے۔ مساوات 7.80 اور نکلی محدود میں V_m کے ڈھلوان کا زاویائی جزو لیتے ہوئے

$$\frac{I}{2\pi\rho} = -\frac{1}{\rho} \frac{\partial V_m}{\partial \phi}$$

یا

$$\frac{\partial V_m}{\partial \phi} = -\frac{I}{2\pi}$$

سے

$$V_m = -\frac{I}{2\pi} \phi$$

حاصل ہوتا ہے جہاں مکمل کے مستقل کو صفر چنا گیا ہے تاکہ $\phi = 0$ پر مقناطیسی زمین ہو۔ آپ دیکھ سکتے ہیں کہ $\phi = 0$ پر $V_m = 0$ ہے لہذا یہی مقناطیسی زمین ہے۔ اب اگر ہم تار کے گرد پورا چکر کاٹیں تو ہم اسی مقناطیسی زمین پر دوبارہ پہنچتے ہیں لیکن مندرجہ بالا مساوات کے تحت $\phi = 2\pi$ پر $V_m = -I$ کے برابر ہے تاکہ صفر۔ تار کے گرد دو چکر کے بعد اسی نقطے پر $V_m = -2I$ حاصل ہوتا ہے۔ آپ دیکھ سکتے ہیں کہ کسی بھی نقطے پر غیر سمتی مقناطیسی دباؤ کے متعدد قیمتیں ممکن ہیں۔ آپ کو یاد ہوگا کہ برقی میدان میں ایک مرتبہ برقی زمین چنے کے بعد کسی بھی ایک نقطے پر ایک ہی برقی دباؤ کی قیمت حاصل ہوتی ہے۔

2227

آئیں غیر سمتی مقناطیسی دباؤ کے متعدد قیمتوں کا ممکن ہونا سمجھیں۔ ساکن برقی میدان میں

$$\nabla \times \mathbf{E} = 0$$

$$\oint \mathbf{E} \cdot d\mathbf{L} = 0$$

ہوتا ہے لہذا دو نقطوں کے مابین لکیری مکمل

$$V_{ab} = - \int_b^a \mathbf{E} \cdot d\mathbf{L}$$

کا دارومدار مکمل کے راہ پر منحصر نہیں ہوتا۔ ساکن مقناطیسی میدان میں

$$\nabla \times \mathbf{H} = 0 \quad (\mathbf{J} = 0)$$

ہوتا ہے لیکن

$$\oint \mathbf{H} \cdot d\mathbf{L} = I$$

کے برابر ہوتا ہے اگرچہ مکمل کے راہ پر $\mathbf{J} = 0$ ہے۔ یوں مکمل لیتے ہوئے جب بھی ایک چکر پورا ہو، مکمل کے قیمت میں I برابر اضافہ آئے گا۔ ہاں اگر مکمل کی راہ صفر برقی رو گھیرے تب غیر سمتی مقناطیسی دباؤ بھی ایک قیمت رکھے گا۔ ان حقائق کو مد نظر رکھتے ہوئے غیر سمتی مقناطیسی دباؤ

$$(7.82) \quad V_{ab} = - \int_b^a \mathbf{H} \cdot d\mathbf{L} \quad (\text{قیمت راہ پر منحصر ہے})$$

بیان کی جاتی ہے۔ ہم یہ فیصلہ کر سکتے ہیں کہ غیر سمتی مقناطیسی دباؤ حاصل کرتے وقت صرف ایک چکر کاٹا جائے گا۔ اس شرط پر چلتے ہوئے V_m ایک قیمت رکھے گا۔ یہ آپ مندرجہ بالا مثال سے دیکھ سکتے ہیں یعنی

$$(7.83) \quad V_m = - \frac{I}{2\pi} \phi \quad (-\pi < \phi \leq \pi)$$

کی صورت میں $\phi = 0$ پر $V_m = 0$ ہی حاصل ہوتا ہے۔ اس مساوات میں چکر کی وضاحت ضروری ہے۔ صفر زاویہ سے شروع ہو کر اگر زاویہ ϕ مثبت چلائے بڑھایا جائے تو $\phi = \pi$ تک پہنچا جاسکتا ہے۔ اس کے برعکس اگر صفر زاویہ سے شروع ہو کر زاویہ ϕ منفی کرتے ہوئے $\phi = \pi$ تک پہنچنے کی کوشش کی جائے تو ایسا ممکن نہیں ہے۔ یوں $\phi = \pi$ پر V_m کی ایک عدد قیمت ہوگی۔

2230

مشق 7.7: کار تینسی محدود استعمال کرتے ہوئے مثال 7.3 کے طرز پر ثابت کریں کہ کسی بھی غیر سمتی متغیرہ کے ڈھلوان کی گردش صفر کے برابر ہوگی یعنی

$$(7.84) \quad \nabla \times (\nabla V) = 0$$

2231

آئیں اب سمتی مقناطیسی دباؤ پر غور کرتے ہیں۔ ہم شروع

$$(7.85) \quad \nabla \cdot \mathbf{B} = 0$$

سے کرتے ہیں۔ سمتی مقناطیسی دباؤ کو اس مساوات کے ہم آہنگ ہونا ہوگا۔ مساوات 7.66 میں ہم دیکھ چکے ہیں کہ کسی بھی سمتی متغیرہ کے گردش کا پھیلاؤ صفر کے برابر ہوتا ہے لہذا اگر B سمتی متغیرہ A کا گردش

$$B = \nabla \times A \quad (7.86)$$

ہو تب بھی B کا پھیلاؤ

$$\nabla \cdot \nabla \times A = 0$$

ہی ہوگا۔ ہم مساوات 7.86 میں دے A کو سمتی مقناطیسی دباؤ کی تعریف مان کر آگے بڑھتے ہیں۔ یوں سمتی مقناطیسی دباؤ خود بخود مساوات 7.85 کے ہم آہنگ ہوگا۔ یوں

$$H = \frac{1}{\mu_0} \nabla \times A$$

اور

$$\nabla \times H = J = \frac{1}{\mu_0} \nabla \times \nabla \times A$$

حاصل ہوتے ہیں۔ کسی بھی سمتی متغیرہ کے گردش کا گردش عموماً صفر کے برابر نہیں ہوتا۔ سمتی مقناطیسی دباؤ A کی اکائی ویر فی میٹر $\frac{Wb}{m}$ ہے۔ گردش کے گھوم کی قدر مختلف صورت صفحہ 215 پر مساوات 7.41 میں حاصل کی گئی ہے۔

2233

ہم حصہ 7.7.1 میں دیکھیں گے کہ B اور A کے تعریف اور بائیو سیوارٹ کے قانون سے

$$A = \oint \frac{\mu_0 I dL}{4\pi R} \quad (7.87)$$

لکھا جاسکتا ہے۔ ہم نے A کی تعریف اس کے گردش کے ذریعے کی ہے۔ چونکہ ڈھلوان کا گردش صفر کے برابر ہوتا ہے لہذا ہم مندرجہ بالا مساوات کے ساتھ کسی غیر سمتی متغیرہ کا ڈھلوان بھی جمع کر سکتے ہیں۔ ایسا کرنے سے B یا H کے قیمتوں پر کوئی اثر نہ پڑتا۔ ساکن مقناطیسی میدان میں عموماً ڈھلوان جمع نہیں کیا جاتا اور اس مساوات کو یوں ہی رکھا جاتا ہے۔

2236

ساکن برقی دباؤ کے مساوات

$$V = \int \frac{\rho_L dL}{4\pi\epsilon_0 R}$$

کے ساتھ مساوات 7.87 کا موازنہ کرنے سے یہ بات بہتر سمجھ میں آتی ہے کہ A واقع سمتی مقناطیسی دباؤ ہی ہے۔ یہ دونوں مساوات لکیری مکمل دیتے ہیں۔ ایک برقی رواور دوسرا کثافت چارج کا لکیری مکمل دیتا ہے۔ دونوں میں تفرقی فاصلے dL کا اثر R کے بالعکس متناسب ہے اور دونوں مساوات میں خالی خلاء کے خاصیت یعنی μ_0 اور ϵ_0 استعمال ہوتے ہیں۔

2239

مساوات 7.87 کی تفرق شکل

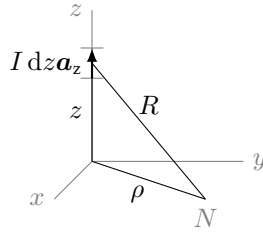
$$dA = \frac{\mu_0 I dL}{4\pi R} \quad (7.88)$$

بھی لکھی جاسکتی ہے جب تک dL سے حاصل dA کا کوئی مطلب نہ لیا جائے۔ یاد رہے کہ جب تک بند مکمل پورا نہ لیا جائے، حاصل A کوئی معنی نہیں رکھتا۔

2240

شکل 7.20 میں z محدد پر لا محدود لمبائی کے برقی رو گزارتے تار کا چھوٹا حصہ dL دکھایا گیا ہے۔ نقطہ N پر یہ

$$dA = \frac{\mu_0 I dz a_z}{4\pi \sqrt{\rho^2 + z^2}}$$



شکل 7.20: تار کے چھوٹے حصے سے پیدا سمتی مقناطیسی دباؤ۔

یا

$$(7.89) \quad dA_z = \frac{\mu_0 I dz}{4\pi \sqrt{\rho^2 + z^2}}, \quad dA_\rho = 0, \quad dA_\phi = 0$$

2241

سمتی مقناطیسی دباؤ پیدا کرے گا۔ آپ دیکھ سکتے ہیں کہ تار کے ہر چھوٹے حصے کا پیدا کردہ سمتی مقناطیسی دباؤ تار کے اسی حصے کی سمت میں ہوگا۔

مقناطیسی شدت تکلی محدود میں مندرجہ بالا مساوات کے گردش

$$\begin{aligned} d\mathbf{H} &= \frac{1}{\mu_0} \nabla \times d\mathbf{A} = \frac{1}{\mu_0} \left(-\frac{\partial dA_z}{\partial \rho} \right) \mathbf{a}_\phi \\ &= \frac{I dz}{4\pi} \frac{\rho \mathbf{a}_\phi}{(\rho^2 + z^2)^{\frac{3}{2}}} \end{aligned}$$

2242

سے حاصل ہوگا۔ یہی مساوات شکل 7.20 کو دیکھتے ہوئے باؤٹ سیوارٹ کے مساوات سے لکھی جاسکتی ہے۔

سمتی مقناطیسی دباؤ \mathbf{A} کے کلیات دیگر اشکال کے کثافت برقی رو کے لئے بھی لکھا جاسکتے ہیں۔ یوں سطحی کثافت برقی رو \mathbf{K} کے لئے برقی رو کے چھوٹے حصے کو

$$I d\mathbf{L} = \mathbf{K} d\mathbf{S}$$

اور حجمی کثافت برقی رو \mathbf{J} کے لئے

$$I d\mathbf{L} = \mathbf{J} dh$$

لکھے جاسکتے ہیں۔ لکیری برقی رو کے چھوٹے حصے کو عموماً $I d\mathbf{L}$ لکھا جاتا ہے۔ یوں برقی رو کو غیر سمتی تصور کرتے ہوئے فاصلے کو سمتی تصور کیا جاتا ہے۔ اس کے برعکس مندرجہ بالا دو مساوات میں کثافت برقی رو کو سمتی مقدار تصور کیا گیا جبکہ تفرقی سطح $d\mathbf{S}$ اور تفرقی حجم dh کو غیر سمتی تصور کیا گیا۔ یوں \mathbf{A} کے دیگر کلیے

$$(7.90) \quad \mathbf{A} = \int_S \frac{\mu_0 \mathbf{K} d\mathbf{S}}{4\pi R}$$

اور

$$(7.91) \quad \mathbf{A} = \int_h \frac{\mu_0 \mathbf{J} dh}{4\pi R}$$

2243

ہیں۔

سمتی مقناطیسی دباؤ مختلف اشکال کے برقی رو اور کثافت برقی رو سے مندرجہ بالا مساوات کی مدد سے حاصل ہوتے ہیں۔ برقی دباؤ کی طرح سمتی مقناطیسی دباؤ کا زمین بھی لامحدود فاصلے پر رکھا جاتا ہے یعنی $R \rightarrow 0$ پر $\mathbf{A} \rightarrow \infty$ تصور کیا جاتا ہے۔ لامحدود فاصلے پر کوئی بھی برقی رو $R \rightarrow \infty$ کی بنا پر سمتی مقناطیسی دباؤ پر کوئی اثر نہیں ڈال سکتا۔

2246

مثال 7.6: رداس a کے موصل تار میں یکساں برقی رو I گزر رہی ہے۔ تار کے اندر B حاصل کرتے ہوئے A بھی حاصل کریں۔

حل: تار کو z محد پر پڑا تصور کرتے ہیں۔ تار کے اندر ρ رداس کا بند دائرہ $\frac{I\pi\rho^2}{\pi a^2}$ برقی رو گھیرے گی لہذا اس دائرے پر $B = \frac{\mu_0 I \rho}{2\pi a^2} a_\phi$ ہوگا۔ آپ دیکھ سکتے ہیں کہ B کا صرف زاویائی جزو پایا جاتا ہے۔ یوں A کے گردش کو مساوات 7.55 کی مدد سے لکھتے ہوئے صرف زاویائی جزو لیتے ہیں۔ اس طرح

$$B_\phi = \frac{\partial A_\rho}{\partial z} - \frac{\partial A_z}{\partial \rho}$$

لکھا جاسکتا ہے۔ چونکہ برقی رو a_z سمت میں ہے لہذا A کا صرف A_z جزو متوقع ہے لہذا مندرجہ بالا مساوات

$$B_\phi = -\frac{\partial A_z}{\partial \rho}$$

یعنی

$$-\frac{\partial A_z}{\partial \rho} = \frac{\mu_0 I \rho}{2\pi a^2}$$

صورت اختیار کر لے گا جس سے

$$A_z = \frac{\mu_0 I \rho^2}{4\pi a^2} + M$$

حاصل ہوتا ہے جہاں M تکمیل کا مستقل ہے۔

7.7 ساکن مقناطیسی میدان کے قوانین کا حصول

ساکن مقناطیس میدان کے تمام قوانین بايوٹ سيوارٹ کے قانون،

(7.92)

$$\mathbf{H} = \oint \frac{I d\mathbf{L} \times \mathbf{a}_R}{4\pi R^2}$$

سمتی مقناطیسی دباؤ کے تعریف

(7.93)

$$\mathbf{B} = \nabla \times \mathbf{A}$$

اور مقناطیسی میدان کی شدت اور کشاف مقناطیسی بہاؤ کے تعلق

(7.94)

$$\mathbf{B} = \mu_0 \mathbf{H}$$

سے حاصل کئے جاسکتے ہیں۔ آئیں ایسا ہی کرتے ہیں۔ امید کی جاتی ہے کہ طلبہ و طالبات مندرجہ ذیل ثبوت کو سمجھتے ہوئے پڑھیں گے۔ آپ سے گزارش کی جاتی ہے کہ انہیں یاد کرنے کی کوشش نہ کریں۔

سمتی مقناطیسی دباؤ A کی مساوات

$$A = \int_h \frac{\mu_0 J dh}{4\pi R} \quad (7.95)$$

ثابت کرنے کی خاطر ہم اس سے بائوٹ سیوارٹ کا قانون یعنی مساوات 7.92 حاصل کرتے ہیں۔ مساوات 7.91 میں (x_2, y_2, z_2) پر سمتی مقناطیسی دباؤ دی گئی ہے جبکہ (x_1, y_1, z_1) وہ مقام ہے جہاں برقی رو گزار تتار کا چھوٹا حصہ پایا جاتا ہے۔ یوں چھوٹے حجم کو dh_1 لکھیں گے جو $dx_1 dy_1 dz_1$ کے برابر ہوگا۔ مکمل کے متغیرات x_1, y_1, z_1 اور z_1 ہیں۔ یوں

$$A_2 = \int_h \frac{\mu_0 J_1 dh_1}{4\pi R_{21}} \quad (7.96)$$

لکھا جاسکتا ہے۔ اب

$$H_2 = \frac{B_2}{\mu_0} = \frac{\nabla_2 \times A_2}{\mu_0}$$

کے برابر ہے جہاں ∇_2 کے زیر نوشت میں 2 لکھ کر یاد دہانی کرائی گئی ہے کہ گردش نقطہ (x_2, y_2, z_2) پر حاصل کیا جائے گا لہذا گردش کے متغیرات بھی y_2, x_2 اور z_2 ہی ہوں گے۔ آپ کو یاد ہوگا کہ صفحہ 108 پر مثال 4.4 میں ڈھلوان حاصل کرتے ہوئے بالکل اسی طرح کیا گیا تھا۔ یوں موجودہ مسئلے میں گردش حاصل کرتے وقت تمام تفرق x_2, y_2, z_2 کے ساتھ لئے جائیں گے۔

اس طرح مساوات 7.96 سے A_2 پر کرتے ہوئے

$$H_2 = \frac{1}{\mu_0} \nabla_2 \times \int_h \frac{\mu_0 J_1 dh_1}{4\pi R_{21}}$$

حاصل ہوتا ہے۔ گردش بنیادی طور پر تفرق کا عمل ہے۔ اس مساوات میں مکمل کا گردش حاصل کیا جا رہا ہے۔ مکمل اور تفرق جس ترتیب سے حاصل کئے جائیں، اس کا حاصل جواب پر کوئی اثر نہیں ہے لہذا ہم تفرق کے عمل کو مکمل کے اندر لے جاسکتے ہیں جبکہ $\frac{\mu_0}{4\pi}$ مستقل ہے جسے مکمل کے باہر لایا جاسکتا ہے۔ یوں

$$H_2 = \frac{1}{4\pi} \int_h \nabla_2 \times \frac{J_1 dh_1}{R_{21}}$$

لکھا جاسکتا ہے۔ یہاں $dh_1 = dx_1 dy_1 dz_1$ پہلے تو مقداری ہے جس کا گردش حاصل نہیں کیا جاسکتا۔ اس کے علاوہ اس کا x_2, y_2 اور z_2 کے ساتھ تفرق صفر کے برابر ہے لہذا اسے گردش کے عمل سے باہر لکھا جاسکتا ہے یعنی

$$H_2 = \frac{1}{4\pi} \int_h \left(\nabla_2 \times \frac{J_1}{R_{21}} \right) dh_1 \quad (7.97)$$

یہاں سمتیہ J ضرب مقداری $\frac{1}{R_{21}}$ کا گردش لیا جا رہا ہے۔ مثال 7.2 میں کسی بھی سمتیہ S اور مقداری M کے حاصل ضرب کی گردش

$$\nabla \times (MS) \equiv (\nabla M) \times S + M(\nabla \times S) \quad (7.98)$$

حاصل کی گئی۔ اس کی مدد سے مساوات 7.97 کو کھولتے ہیں جہاں سمتیہ J_1 اور مقداری $\frac{1}{R_{21}}$ ہیں۔

$$H_2 = \frac{1}{4\pi} \int_h \left[\left(\nabla_2 \frac{1}{R_{21}} \right) \times J_1 + \frac{1}{R_{21}} (\nabla_2 \times J_1) \right] dh_1 \quad (7.99)$$

اس مساوات کے دوسرے جزو میں J_1 صرف x_1, y_1 اور z_1 پر منحصر ہے۔ نقطہ (x_2, y_2, z_2) کا اس پر کسی قسم کا کوئی اثر نہیں لہذا J_1 کے تمام تفرق جو y_2 اور z_2 کے ساتھ لئے جائیں صفر کے برابر ہوں گے۔ یوں $\nabla_2 \times J_1 = 0$ ہو گا۔

2259

صفحہ 109 پر مساوات 4.48 کے استعمال سے مندرجہ بالا مساوات

$$H_2 = -\frac{1}{4\pi} \int_h \frac{\mathbf{a}_{R21} \times \mathbf{J}_1}{R_{21}^2} dh_1$$

یا

$$H_2 = \frac{1}{4\pi} \int_h \frac{\mathbf{J}_1 \times \mathbf{a}_{R21}}{R_{21}^2} dh_1$$

لکھی جاسکتی ہے۔ اس میں $J_1 dh_1$ کی جگہ کیری انداز میں $I_1 dL_1$ پر کرتے ہوئے اور بند تکمل لکھ کر جانی پہچانی بایوٹ سیوارٹ مساوات

$$H_2 = \oint_h \frac{I dL_1 \times \mathbf{a}_{R21}}{4\pi R_{21}^2}$$

حاصل ہوتی ہے۔ یوں ثابت ہوتا ہے کہ مساوات 7.96 درست ہے اور یہ مساوات، مساوات — اور مساوات پر پورا اترتا ہے۔

2260

7.7.2 ایمپیٹر کا دوری قانون

2261

آئیں اب ایمپیٹر کے دوری قانون کی نقطہ شکل

$$(7.100) \quad \nabla \times \mathbf{H} = \mathbf{J}$$

2262

کو بایوٹ سیوارٹ کے قانون سے حاصل کریں۔

شروع کرتے ہیں مساوات 7.93 اور مساوات 7.94 سے جن سے

$$(7.101) \quad \nabla \times \mathbf{H} = \nabla \times \frac{\mathbf{B}}{\mu_0} = \frac{1}{\mu_0} \nabla \times \nabla \times \mathbf{A}$$

لکھا جاسکتا ہے۔ صفحہ 215 پر مساوات 7.41 استعمال کرتے ہوئے یوں

$$(7.102) \quad \nabla \times \mathbf{H} = \frac{1}{\mu_0} [\nabla (\nabla \cdot \mathbf{A}) - \nabla^2 \mathbf{A}]$$

2263

لکھا جاسکتا ہے۔ مندرجہ بالا مساوات میں پھیلاؤ اور لاپلاسی کے عمل درکار ہیں۔

پھیلاؤ کو پہلے حل کرتے ہیں۔ مساوات 7.96 کی پھیلاؤ

$$(7.103) \quad \nabla_2 \cdot \mathbf{A}_2 = \frac{\mu_0}{4\pi} \int_h \nabla_2 \cdot \frac{\mathbf{J}_1}{R_{21}} dh_1$$

لکھی جاسکتی ہے۔ صفحہ 120 پر مثال 4.7 میں سمتیہ \mathbf{D} اور مقداری V کے لئے

$$\nabla \cdot (\mathbf{V}\mathbf{D}) = \mathbf{V}(\nabla \cdot \mathbf{D}) + \mathbf{D} \cdot (\nabla \mathbf{V})$$

ثابت کیا گیا۔ یہاں سمتیہ J_1 جبکہ مقداری $\frac{1}{R_{21}}$ ہیں لہذا اس مساوات کو یوں لکھا جاسکتا ہے

$$(7.104) \quad \nabla \cdot \left(\frac{J_1}{R_{21}} \right) = \frac{1}{R_{21}} (\nabla \cdot J_1) + J_1 \cdot \left(\nabla \frac{1}{R_{21}} \right)$$

جس کی مدد سے

$$(7.105) \quad \nabla_2 \cdot A_2 = \frac{\mu_0}{4\pi} \int_h \left[\frac{1}{R_{21}} (\nabla_2 \cdot J_1) + J_1 \cdot \left(\nabla_2 \frac{1}{R_{21}} \right) \right] dh_1$$

ہوگا۔

چونکہ J_1 صرف متغیرات x_1, y_1 اور z_1 پر منحصر ہے لہذا اس کے x_2, y_2 اور z_2 کے ساتھ تفرق صفر کے برابر ہوں گے لہذا $\nabla_2 \cdot J_1 = 0$ ہوگا۔²²⁶⁵

ہم صفحہ 109 پر مساوات 4.50

$$\nabla_1 \frac{1}{R_{21}} = -\nabla_2 \frac{1}{R_{21}}$$

کو استعمال کرتے ہوئے یوں

$$(7.106) \quad \nabla_2 \cdot A_2 = \frac{\mu_0}{4\pi} \int_h \left[-J_1 \cdot \left(\nabla_1 \frac{1}{R_{21}} \right) \right] dh_1$$

لکھ سکتے ہیں۔ مساوات 7.104 کے دوبارہ استعمال سے

$$(7.107) \quad \nabla_2 \cdot A_2 = \frac{\mu_0}{4\pi} \int_h \left[\frac{1}{R_{21}} (\nabla_1 \cdot J_1) - \nabla_1 \cdot \left(\frac{J_1}{R_{21}} \right) \right] dh_1$$

حاصل ہوتا ہے۔ مساوات 7.67 کہتا ہے کہ ساکن مقناطیسی میدان صرف اس صورت پیدا ہوگا جب $\nabla \cdot J = 0$ ہو۔ چونکہ ہمیں ساکن مقناطیسی میدان سے ہی غرض ہے لہذا مندرجہ بالا مساوات میں سے

$$(7.108) \quad \nabla_2 \cdot A_2 = -\frac{\mu_0}{4\pi} \int_h \nabla_1 \cdot \left(\frac{J_1}{R_{21}} \right) dh_1$$

حاصل ہوتا ہے۔ صفحہ 87 پر مساوات 3.43 مسئلہ پھیلاؤ بیان کرتا ہے جس کے تحت حجمی مکمل کو سطحی مکمل کی صورت میں لکھا جاسکتا ہے۔ اسے استعمال کرتے ہوئے یوں

$$(7.109) \quad \nabla_2 \cdot A_2 = -\frac{\mu_0}{4\pi} \oint_{S_1} \frac{J_1}{R_{21}} \cdot dS_1$$

حاصل ہوتا ہے جہاں سطح S_1 اس تمام حجم کو گھیرتی ہے جس پر حجمی مکمل حاصل کیا گیا تھا۔ چونکہ حجمی مکمل اس غرض سے حاصل کیا گیا تھا کہ ساکن مقناطیسی میدان پیدا کرنے والے برقی رو کو مکمل طور پر شامل کیا جائے لہذا اس حجم کے باہر کسی قسم کا کوئی برقی رو نہیں پایا جاتا۔ اگر حجم سے باہر کوئی بھی برقی رو ہوتی تب ہمیں حجم کو بڑھا کر اس برقی رو کے اثر کو بھی شامل کرنا ہوتا۔ ہم مکمل لیتے ہوئے حجم کو قدر اور بڑھا سکتے ہیں تاکہ اس کی سطح کو برقی رو نہ چھوئے۔ ہم ایسا اس لئے کر سکتے ہیں کہ برقی رو سے خالی حجم کے شمول سے مکمل کی قیمت تبدیل نہیں ہوتی۔ یوں ضرورت سے زیادہ حجم پر مکمل سے مراد یہ بھی ہے کہ سطحی مکمل ایسی سطح پر لی جائے جس پر کثافت برقی رو صفر کے برابر ہو۔ صفر کثافت برقی رو کا سطحی مکمل صفر کے برابر ہوتا ہے لہذا مندرجہ بالا مساوات سے

$$(7.110) \quad \nabla \cdot A = 0$$

حاصل ہوتا ہے جو کہتا ہے کہ سمتی مقناطیسی دباؤ کا پھیلاؤ صفر کے برابر ہے۔ اس مساوات میں زیر نوشت میں 2 نہیں لکھا گیا ہے جو اس نقطے کی نشاندہی کرتا ہے جہاں مقناطیسی میدان کی بات ہو رہی ہو۔ پھیلاؤ بھی اسی نقطے پر حاصل کیا جاتا ہے۔ یاد رہے کہ ہم مساوات 7.102 حل کرنے کی خاطر پھیلاؤ اور لاپلاسی حاصل کرنے نکلے تھے۔ پھیلاؤ حاصل ہو چکا ہے آئیں اب لاپلاسی حاصل کریں۔

2268

برقی دباؤ اور سمتی مقناطیسی دباؤ کے ایک جزو

$$V = \int_h \frac{\rho \, dh}{4\pi\epsilon_0 R}$$

$$A_x = \int_h \frac{\mu_0 J_x \, dh}{4\pi R}$$

کا موازنہ کرنے سے صاف ظاہر ہے کہ ρ اور J_x کو آپس میں تبدیل کرتے ہوئے اور $\frac{1}{\epsilon_0}$ اور μ_0 کو آپس میں تبدیل کرتے ہوئے ایک مساوات سے دوسری مساوات حاصل کی جاسکتی ہے۔ اب ہم پوئسن مساوات

$$\nabla^2 V = -\frac{\rho}{\epsilon_0}$$

میں بھی تبدیلیاں کرتے ہوئے

$$\nabla^2 A_x = -\mu_0 J_x$$

اور

$$\nabla^2 A_y = -\mu_0 J_y$$

$$\nabla^2 A_z = -\mu_0 J_z$$

لکھ سکتے ہیں جنہیں یوں

$$(7.111) \quad \nabla^2 \mathbf{A} = -\mu_0 \mathbf{J}$$

2269

بھی لکھا جاسکتا ہے۔

مساوات 7.102 میں مساوات 7.110 اور مساوات 7.111 استعمال کرتے ہوئے یوں ایمپیر کے دوری قانون کی نقطہ شکل

$$(7.112) \quad \nabla \times \mathbf{H} = \mathbf{J}$$

2270

حاصل ہوتی ہے۔

2271

مثال 7.7: مندرجہ بالا حصے میں برقی دباؤ کے لاپلاسی سے سمتی مقناطیسی دباؤ کی لاپلاسی اخذ کی گئی۔ سمتی مقناطیسی دباؤ کے لاپلاسی کو ایمپیر کے دوری قانون اور \mathbf{A} کی تعریف سے حاصل کریں۔

2273

حل: ایمپیر کے دوری قانون کی نقطہ شکل اور \mathbf{A} کی تعریف

$$\nabla \times \mathbf{H} = \mathbf{J}$$

$$\mathbf{B} = \nabla \times \mathbf{A}$$

سے

$$\nabla \times \nabla \times \mathbf{A} = \mu_0 \mathbf{J}$$

لکھا جاسکتا ہے جہاں $B = \mu_0 H$ کا استعمال کیا گیا ہے۔ صفحہ 215 پر مساوات 7.41 استعمال کرتے ہوئے

$$\nabla (\nabla \cdot \mathbf{A}) - \nabla^2 \mathbf{A} = \mu_0 \mathbf{J}$$

حاصل ہوتا ہے جسے مساوات 7.110 کی مدد سے

$$\nabla^2 \mathbf{A} = -\mu_0 \mathbf{J} \quad (7.113)$$

2274

لکھا جاسکتا ہے۔

2275

سوالات

سوال 7.1: لامحدود لمبائی کی سیدھی تار y محدود پڑی ہے۔ اس میں a_y جانب 5 mA برقی رو گزر رہی ہے۔ نقطہ $N(2, 5, 3)$ پر مقناطیسی میدان H اور $|H|$ حاصل کریں۔ اگر تار $x = 3$ ، $z = -1$ پر ہو تب جوابات کیا ہوں گے۔ دونوں تاروں کی موجودگی میں جوابات حاصل کریں۔

$$H_{2299} = 371a_x - 75a_z \frac{\mu A}{m}, |H| = 193 \frac{\mu A}{m}, H = 187a_x + 47a_z \frac{\mu A}{m}, |H| = 221 \frac{\mu A}{m}, H = 184a_x - 122a_z \frac{\mu A}{m}, |H| = 378 \frac{\mu A}{m},$$

سوال 7.2: مساوات 7.11 حاصل کریں۔

سوال 7.3: سطح $z = 0$ پر y محدود کے متوازی لامحدود لمبائی کے آٹھ عدد تار پڑے ہیں جن میں a_y جانب 1 A برقی رو گزر رہی ہے۔ یہ تار $y = -2.5$ ، $y = -2.5$ ، $y = 2.5$ ، $y = 3.5$ پر پائے جاتے ہیں۔ نقطہ $(0, 0, 1)$ اور $(0, 0, 50)$ پر H حاصل کریں۔

جوابات: $0.421a_x$ ، $0.0254a_x$ ؛ محدود پچاس گنا دور میدان صرف سترہ گنا کم ہے۔

سوال 7.4: چار میٹر لمبے تار کو پچور کی شکل دی جاتی ہے جس کا رقبہ $1 m^2$ ہے۔ اس پچور کو $z = 0$ سطح پر رکھا جاتا ہے۔ تار میں برقی رو 10 mA گزرنے کی صورت میں پچور کے وسط $N(0, 0, 0)$ میں مقناطیسی میدان H حاصل کریں۔ نقطہ $P(0, 0, 1)$ پر بھی میدان حاصل کریں۔

جوابات: $9 \frac{mA}{m}$ ، $2.3 \frac{mA}{m}$

سوال 7.5: شکل 7.8 کے لامحدود سطح سے پیدا مقناطیسی میدان بائوٹ-سیوارٹ کے قانون کی مدد سے حاصل کریں۔

سوال 7.6: ایک تار کو دائری شکل دے کر سطح $z = 0$ پر رکھا جاتا ہے۔ دائرے کا رقبہ $1 m^2$ ہے۔ تار میں 10 mA گزرنے کی صورت میں دائرے کے وسط $N(0, 0, 0)$ میں مقناطیسی میدان H حاصل کریں۔ نقطہ $P(0, 0, 1)$ پر بھی میدان حاصل کریں۔

جوابات: $2.82 \frac{mA}{m}$ ، $1.86 \frac{mA}{m}$

سوال 7.7: محدود x اور y میں بڑھتے جانب 55 mA برقی رو گزر رہی ہے۔ نقطہ $N(5, 6, 4)$ پر H حاصل کریں۔

جواب: $854a_x - 673a_y - 57a_z \frac{\mu A}{m}$

سوال 7.8: مساوات 7.23 حاصل کرنے کے طرز پر شکل 7.11 میں 3 تا 4 پر H_{y34} حاصل کریں۔

جواب: شرح $\frac{\partial H_y}{\partial x}$ ہے۔ یوں $-\frac{\Delta x}{2}$ تبدیلی سے $\frac{\partial H_y}{\partial x}(-\frac{\Delta x}{2})$ تبدیلی رونما ہوگی اور یوں نئی قیمت $H_{y0} - \frac{\partial H_y}{\partial x} \frac{\Delta x}{2}$ ہوگی۔

سوال 7.9: عمومی محدود میں حاصل کردہ گردش کی مساوات سے کارتیسی محدود میں گردش کی مساوات حاصل کریں۔

سوال 7.10: سطحی رو $K = \frac{8}{\rho} a_\phi \frac{\text{A}}{\text{m}}$ خطہ $\rho = 3 \text{ m}$ تا $\rho = 7 \text{ m}$ میں پائی جاتی ہے۔ سطح $\phi = 0$ سے گزرتی کل برقی رو حاصل کریں۔ نقطہ $N(0, 0, z)$ پر H حاصل کرتے ہوئے میدان کی قیمت $z = 10$ پر دریافت کریں۔

2301

$$\text{جوابات: } I = 8 \ln \frac{7}{3} \text{ A}, H = \left[\frac{4}{\sqrt{z^2+3^2}} - \frac{4}{\sqrt{z^2+7^2}} \right] a_z, H = 55.4 \frac{\text{mA}}{\text{m}}$$

2302

سوال 7.11: سطحی رو $K = 8\rho a_\phi \frac{\text{A}}{\text{m}}$ خطہ $\rho = 3 \text{ m}$ تا $\rho = 7 \text{ m}$ میں پائی جاتی ہے۔ سطح $\phi = 0$ سے گزرتی کل برقی رو حاصل کریں۔ نقطہ $N(0, 0, z)$ پر H حاصل کرتے ہوئے میدان کی قیمت $z = 10$ پر دریافت کریں۔

2304

$$\text{جوابات: } I = 160 \text{ A}, H = 4 \left[\frac{2z^2+49}{\sqrt{(z^2+49)}} - \frac{2z^2+9}{\sqrt{z^2+9}} \right] a_z, H = 1.52 \frac{\text{A}}{\text{m}}$$

2305

2306

سوال 7.12: عمومی محدود میں حاصل کردہ گردش کی مساوات سے نکلی محدود میں گردش کی مساوات حاصل کریں۔

2307

2308

سوال 7.13: رداس a کے دائری چادر پر یکساں سطحی کثافت چارج ρ_s پائی جاتی ہے۔ چادر کے محور کو محدود کے مرکز پر رکھتے ہوئے چادر کو سطح $z = 0$ پر رکھا جاتا ہے۔ اگر چادر محور کے گرد زاویائی رفتار ω سے گھوم رہی ہو تب نقطہ $N(0, 0, z)$ پر مقناطیسی میدان H کیا ہوگا؟ میدان کی قیمت $\rho_s = 5 \frac{\mu\text{C}}{\text{m}^2}$ اور $\omega = 100\pi \frac{\text{rad}}{\text{s}}$ کی صورت میں $(0, 0, 0.1)$ پر حاصل کریں۔

2311

$$\text{جوابات: } \left[\frac{2z^2+4}{\sqrt{z^2+4}} - 2z \right] \frac{\omega \rho_s}{2}, H = 1.42 \frac{\text{mA}}{\text{m}}$$

2312

سوال 7.14: سطح $z = 0$ پر خطہ $x = -3 \text{ m}$ تا $x = 3 \text{ m}$ پر سطحی برقی رو $K = 4ay \frac{\text{A}}{\text{m}}$ پائی جاتی ہے۔ نقطہ $N(0, 0, 5)$ پر مقناطیسی میدان حاصل کریں۔

2314

2315

$$\text{جواب: } 0.688 a_x \frac{\text{A}}{\text{m}}$$

سوال 7.15: گول دائرے پر برقی رو کا دائرے کے محور سے ہٹ کر مقناطیسی میدان کی شدت حاصل کرتے ہوئے مساوات 7.78 میں دئے بیضوی مکمل حاصل کئے گئے۔ ان میں H_y کا عددی حل مثال 7.5 میں حاصل کیا گیا۔ بالکل اسی طرز پر مکمل کو دس ٹکڑوں میں کرتے ہوئے H_z کی عددی قیمت نقطہ $N(0, a, a)$ پر حاصل کریں۔

2318

$$\text{جواب: } \left(\frac{I}{4\pi a} \right) 0.96525$$

2319

2320

سوال 7.16: سطح $x = 0$ پر سطحی برقی رو $1200 a_z \frac{\text{A}}{\text{m}}$ پائی جاتی ہے۔ خطہ $0 < z < \infty$ ، $5 < y < 15$ پر برقی رو سے نقطہ $N(10, 0, 0)$ پر پیدا مقناطیسی میدان H حاصل کریں۔

2322

2323

$$\text{جواب: } H = 45.6 a_x + 49.6 a_y \frac{\text{A}}{\text{m}}$$

سوال 7.17: خطہ $0 < z < 5$ میں یکساں کثافت برقی رو $15 a_y \frac{\text{A}}{\text{m}^2}$ پائی جاتی ہے۔ ایمپیر کے دوری قانون کی مدد سے ثابت کریں کہ $H_{z < 0} = -H_{z > 5}$ کے برابر ہے۔ نقطہ $(2, 5, 7)$ اور نقطہ $(4, 12, 2)$ پر H حاصل کریں۔

2325

$$\text{جوابات: } 37.5a_x \frac{\text{A}}{\text{m}}, -7.5a_x \frac{\text{A}}{\text{m}}$$

سوال 7.18: متحدہ کے مرکز پر رداس a کا موصل کرہ پایا جاتا ہے۔ منفی z محور پر $10a_z A$ کی برقی رو، کرہ کی سطح پر نقطہ $(0, 0, -a)$ تک پہنچتی ہے جہاں سے یہ کرہ کے سطح پر یکساں پھیل کر نقطہ $(0, 0, a)$ تک پہنچتی ہے اور اس کے بعد مثبت z محور پر بڑھتے جانب چلے جاتی ہے۔ کرہ کے اندر اور اس کے باہر مقناطیسی میدان حاصل کریں۔

$$\text{جوابات: } 0 \frac{\text{A}}{\text{m}}, \frac{10}{2\pi\rho} a_\phi \frac{\text{A}}{\text{m}}$$

سوال 7.19: منفی z محور سے برقی رو I موصل $\theta = 30^\circ$ سطح تک پہنچ کر سطح پر یکساں پھیل کر چلے جاتی ہے۔ نقطہ $(0, 0, z)$ اور نقطہ $(5, 5, 5)$ پر مقناطیسی میدان H حاصل کریں۔

$$\text{جوابات: } 0 \frac{\text{A}}{\text{m}}, \frac{I}{2\pi\sqrt{50}} \frac{\text{A}}{\text{m}}$$

سوال 7.20: تفاعل $G = (5x + yz)a_x + 3xyz a_y + \frac{x^2 y}{z} a_z$ نقطہ $N(0.6, 0.4, 0.2)$ اور اس کے قریب پایا جاتا ہے۔ سطح $z = 0.2$ پر $2a$ لمبائی کے اطراف کے مربع لکیر پر $\oint G \cdot dL$ حاصل کریں جہاں مربع کا مرکز نقطہ N پر ہے۔ لکیری مکمل کو مربع کے رقبے سے تقسیم کریں اور $a \rightarrow 0$ لیتے ہوئے $\nabla \times G_z$ حاصل کریں۔

جوابات: چاروں اطراف کے لکیری مکمل $0.48a^2 + 0.288a$ ، $0.48a^2 - 0.288a$ ، $-0.4a^2 + 6.16a$ اور $-0.4a^2 - 6.16a$ ہیں۔ $\nabla \times G_z = 0.04$ ہے۔

سوال 7.21: مساوات 7.34 استعمال کرتے ہوئے تفاعل $G = (5x + yz)a_x + 3xyz a_y + \frac{x^2 y}{z} a_z$ کا نقطہ $N(0.6, 0.4, 0.2)$ پر $\nabla \cdot G$ حاصل کریں۔ سوال 7.20 میں حاصل کئے گئے $\nabla \times G_z$ کے ساتھ موازنہ کریں۔

$$\text{جواب: } 1.08a_x - 2a_y + 0.04a_z$$

سوال 7.22: ہم محوری تار میں $E = 3000\rho^{1.3} \cos(\omega t - 0.3z)a_\rho \frac{\text{V}}{\text{m}}$ پایا جاتا ہے۔ تار میں $\nabla \times E$ حاصل کریں۔

$$\text{جواب: } 900\rho^{1.3} \sin(\omega t - 0.3z)a_\phi$$

سوال 7.23: میدان $V = 5(x^2 + y^2)$ اور $V = 10x^3 + y^2 + xz^4$ کے لئے $\nabla^2 V$ اور $\nabla \times E$ حاصل کریں۔

$$\text{جوابات: } 0, 20, 60x + 2 + 12xz^2$$

سوال 7.24: میدان $H = x^2 y^2 z a_x - x y^2 z^2 a_z$ دیا گیا ہے۔ مسئلہ سٹوکس کے دونوں اطراف باری باری استعمال کرتے ہوئے، سطح $xy = 1$ خطہ $1 < x < 2$ ، $1 < z < 3$ سے a_y جانب گزرتی برقی رو حاصل کریں۔

$$\text{جواب: } 13.3 A$$

سوال 7.25: میدان $H = \frac{2xy}{z^2}a_x - \frac{y^2}{z^2}a_y + x^2y^2a_z$ دیا گیا ہے۔ سطح $x = 0.5$ میں خطہ $1 < y < 2$ ، $2 < z < 3$ سے a_x جانب گزرتی برقی رو درکار ہے۔ الف) برقی رو کو بذریعہ سطحی مکمل حاصل کریں۔ ب) برقی رو کو بذریعہ کیری مکمل حاصل کریں

جواب: 0.426 A

سوال 7.26: کروی محدود میں میدان $H = \frac{50r}{\sin \theta}a_\phi$ دیا گیا ہے۔ مسئلہ سٹوکس کے دونوں اطراف باری باری استعمال کرتے ہوئے کروی خطہ $r = 0.2$ ، $0 < \phi < 2\pi$ ، $0 < \theta < 60^\circ$ سے گزرتی برقی رو حاصل کریں۔

جواب: 5.44 A

سوال 7.27: میدان $H = \frac{4r^2}{\sin \theta}a_\theta + 50r \sin \theta a_\phi$ دیا گیا ہے۔ سطح $\theta = 45^\circ$ میں خطہ $0 < r < 3$ ، $0 < \phi < 2\pi$ سے a_θ جانب گزرتی برقی رو حاصل کریں۔

جواب: -1414 A

سوال 7.28: پاکستان میں کل زمینی مقناطیسی میدان $45 \mu T$ تا $50 \mu T$ پایا جاتا ہے جس کا افقی جزو اوسطاً $30 \mu T$ کے لگ بھگ ہے۔ ایک تار جس میں $1A$ کی برقی رو گزر رہی ہو، کتنے فاصلے پر زمینی میدان کے افقی جزو برابر مقناطیسی میدان پیدا کرے گی۔

جواب: 4.2 cm

سوال 7.29: بیس سنٹی میٹر لمبائی اور پانچ سنٹی میٹر رداس کا پچھدار لچھا جس میں برقی رو گزر رہی ہو میں مقناطیسی میدان $H = 200a_z \frac{A}{m}$ پایا جاتا ہے۔ نقطہ $\nabla \times B = A$ سمتی مقناطیسی دباؤ V_{m21} حاصل کریں۔ سمتی مقناطیسی دباؤ $N_1(0.02, 0^\circ, 0.02)$ اور $N_2(0.04, 50^\circ, 0.06)$ کے درمیان غیر سمتی مقناطیسی دباؤ V_{m21} حاصل کریں۔ سمتی مقناطیسی دباؤ $N_1(0.02, 0^\circ, 0.02)$ سے حاصل کرتے ہوئے $\rho = 0$ پر $A = 0$ لیتے ہوئے انہیں دو نقطوں کے مابین A_{21} حاصل کریں۔ یہ مساوات استعمال کرتے وقت A کا دباؤ سمت جزو اپنے علم سے چنیں۔

جوابات: $2.5a_\phi \frac{\mu Wb}{m}$ ، $-8 A$

سوال 7.30: نکلی کثافت برقی رو $50a_z \frac{A}{m}$ رداس $\rho = 2m$ پر پائی جاتی ہے جبکہ رداس $\rho = 4m$ پر $25a_z \frac{A}{m}$ اور رداس $\rho = 5m$ پر $-40a_z \frac{A}{m}$ پائے جاتے ہیں۔ زاویہ $\phi = 0$ پر $V_m = 0$ لیتے اور $\phi = 180^\circ$ کو رکاوٹ تصور کرتے ہوئے نقطہ $N_1(3.5, 60^\circ, 0)$ پر غیر سمتی مقناطیسی دباؤ V_m حاصل کریں۔

جوابات: -66.6 A

سوال 7.31: سطح $z = 0$ پر تار $x = 4$ میں $0.2 A$ کی برقی رو a_y جانب پائی جاتی ہے جبکہ تار $x = -4$ میں $0.2 A$ برقی رو $-a_y$ جانب پائی جاتی ہے۔ محدود کے مرکز پر $V_m = 0$ لیتے ہوئے z محدود پر غیر سمتی مقناطیسی دباؤ V_m حاصل کریں۔

جواب: $A \frac{0.2}{\pi} \tan^{-1} \frac{z}{4}$

مقناطیسی قوتیں، مقناطیسی مادے اور امالہ

برقی چارج کے گرد برقی میدان پایا جاتا ہے جس میں موجود ساکن یا حرکت کرتے چارج پر قوت دفع یا قوت کشش پایا جاتا ہے۔ مقناطیسی میدان برقی رول یعنی حرکت کرتے چارج سے پیدا ہوتا ہے اور اس میدان میں حرکت کرتے چارج پر قوت پائی جاتی ہے۔ مقناطیسی میدان ساکن چارج پر قوت پیدا نہیں کرتا۔

اس باب میں برقی رول گزارتی تار پر قوت اور مروڑ کا جائزہ لیا جائے گا۔ اس کے بعد مقناطیسی اشیاء اور آخر میں امالہ پر غور کیا جائے گا۔

8.1 متحرک چارج پر قوت

تجربے سے ثابت ہوتا ہے کہ برقی میدان میں چارج بردار ذرے پر

$$F = QE \quad (8.1)$$

قوت اثر انداز ہوتی ہے۔ مثبت چارج کی صورت میں یہ قوت برقی میدان کے شدت E کی سمت میں ہوتی ہے۔ قوت کی قیمت چارج Q اور برقی میدان کی شدت E کے حاصل ضرب کے برابر ہوتی ہے۔ چارج ساکن ہو یا حرکت کر رہا ہو، اس پر قوت کی مقدار اسی مساوات سے حاصل ہوتی ہے۔

اسی طرح تجربے سے ثابت ہوتا ہے کہ مقناطیسی میدان میں ساکن چارج بردار ذرے پر مقناطیسی میدان کوئی قوت پیدا نہیں کرتا البتہ متحرک چارج بردار ذرے پر مقناطیسی میدان

$$F = Qv \times B \quad (8.2)$$

قوت پیدا کرتا ہے۔ یہ قوت چارج کے براہ راست متناسب ہوتی ہے۔ اسی طرح قوت چارج کے رفتار v ، کثافت مقناطیسی میدان B اور ان دو کے مابین زاویہ کے سائن کے بھی براہ راست متناسب ہوتی ہے۔ قوت کی سمت v اور B دونوں کے عمودی یعنی $v \times B$ سمت میں ہوتی ہے۔

مقناطیسی قوت رفتار کے عمودی ہے لہذا یہ رفتار کے قیمت پر اثر انداز نہیں ہوتا البتہ یہ اس کی سمت پر ضرور اثر ڈالتا ہے۔ اس طرح مقناطیسی قوت چارج بردار ذرے کے متحرک توانائی میں تبدیلی لانے سے قاصر ہے۔ اس کے برعکس برقی قوت جسے مساوات 8.1 بیان کرتا ہے چارج بردار ذرے کی رفتار میں تبدیلی پیدا کرتے ہوئے حرکی توانائی میں تبدیلی پیدا کرتا ہے۔ دونوں میدانوں میں یہ بنیادی فرق ہے کہ برقی میدان تبادلہ توانائی میں کردار ادا کرتا ہے جبکہ مقناطیسی میدان تبادلہ توانائی میں کردار ادا نہیں کرتا۔

دونوں میدانوں کے بیک وقت موجودگی میں چارج بردار ذرے پر کل قوت

$$(8.3) \quad \mathbf{F} = Q (\mathbf{E} + \mathbf{v} \times \mathbf{B})$$

دونوں میدانوں سے علیحدہ علیحدہ پیدا قوتوں کے مجموعے کے برابر ہے۔ مساوات 8.3 **لورنزمساوات قوت**²¹ کہلاتی ہے۔ برقی اور مقناطیسی میدانوں میں چارج بردار ذرے، مثلاً الیکٹران، کے راہ اسی مساوات کو حل کرتے ہوئے حاصل کئے جاتے ہیں۔

2392

2393

مشق 8.1: ایک عدد نقطہ چارج جس کی قیمت $3C$ اور رفتار $\mathbf{v} = 2a_x - 3a_y + a_z$ ہو پر مندرجہ ذیل میدانوں میں قوت کی حتمی قیمت حاصل کریں۔ (الف) $\mathbf{E} = 3a_x - 2a_y - 5a_z$ ، (ب) $\mathbf{B} = -2a_x - 3a_y + 6a_z$ ، (پ) دونوں میدانوں کے بیک وقت موجودگی میں۔

2395

2396

جوابات: 78.7 N ، 71.3 N ، 18.49 N

2397

8.2 تفرقی چارج پر قوت

مقناطیسی میدان میں متحرک تفرقی چارج dQ پر تفرقی قوت $d\mathbf{F}$ عمل کرے گی۔

$$(8.4) \quad d\mathbf{F} = dQ \mathbf{v} \times \mathbf{B}$$

آپ جانتے ہیں کہ منفی چارج کی باریک ترین مقدار الیکٹران کا چارج ہے۔ مثبت چارج کی باریک ترین قیمت بھی اتنی ہی لیکن مثبت قطب کی ہے۔ منفی چارج کو مثال بناتے ہوئے، یوں مندرجہ بالا مساوات میں تفرقی چارج سے مراد کم از کم اتنا چارج ہے جس میں الیکٹرانوں کی تعداد اتنی ہو کہ کسی ایک الیکٹران کے چارج کا اثر قابل نظر انداز ہو۔ اسی طرح اس تفرقی چارج کا حجم اگرچہ چھوٹا ہے لیکن اس حجم کی جسامت الیکٹرانوں کے مابین اوسط فاصلے سے بہت زیادہ ہے۔ مساوات 8.4 تفرقی چارج پر کل قوت دیتا ہے۔ یہاں یہ سمجھ لینا ضروری ہے کہ یہ قوت کسی ایک الیکٹران پر اثر انداز نہیں ہوتا بلکہ یہ تمام الیکٹرانوں پر علیحدہ علیحدہ قوتوں کا مجموعہ ہے۔

2403

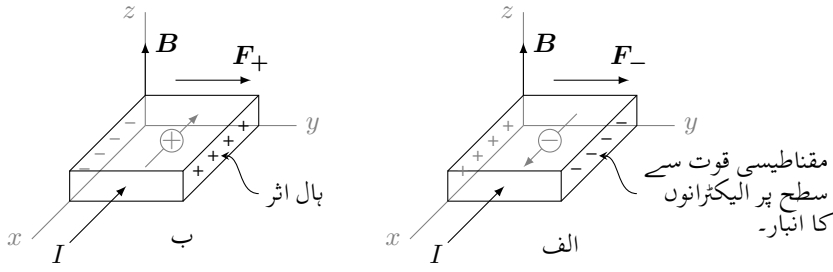
موصل تار میں برقی رو، الیکٹران کے حرکت کی بدولت ہے۔ برقی رو گزارتے تار کو مقناطیسی میدان میں رکھنے سے تار میں ہر الیکٹران پر مقناطیسی قوت کا اثر پایا جائے گا۔ اگرچہ کسی ایک الیکٹران پر انتہائی کم قیمت کا قوت پایا جاتا ہے لیکن موصل تار میں الیکٹرانوں کی تعداد انتہائی زیادہ ہوتی ہے۔ یوں انتہائی زیادہ تعداد میں انتہائی کم قوتوں کا مجموعہ معقول قیمت کی قوت پیدا کرتا ہے۔ آئیں دیکھتے ہیں کہ یہ مجموعی قوت تار تک کس طرح منتقل ہوتی ہے۔

2406

موصل میں مثبت ایٹم یا آئن ساکن ہوتے ہیں جبکہ الیکٹران آزادی سے حرکت کر سکتے ہیں۔ مقناطیسی میدان میں برقی رو گزارتے موصل تار میں حرکت پذیر منفی الیکٹران پر مقناطیسی قوت عمل کرتی ہے جس سے مثبت آئن اور منفی الیکٹران کے مابین فاصلوں میں تبدیلی رونما ہوتی ہے۔ اب مثبت اور منفی چارج کے مابین کولومب قوتیں ایسی تبدیلی کو روکتے ہیں لہذا حرکت پذیر الیکٹران پر مقناطیسی قوت یوں ساکن آئن تک پہنچ پاتی ہیں جو بطور تار پر مقناطیسی قوت کی صورت میں رونما ہوتی ہے۔

2410

¹ یہ مساوات ہینڈرک لورنٹز کے نام ہے۔
Lorentz force equation²



شکل 8.1: ہال اثر سے متحرک چارج کا قطب دریافت کیا جا سکتا ہے۔

مثبت آئن اور منفی الیکٹران کے مابین کولمب قوتیں انتہائی طاقتور ہوتی ہیں لہذا مقناطیسی میدان سے پیدا فاصلوں میں تبدیلی قابل ناپ نہیں ہوتی۔ مثبت اور منفی چارجوں کے مابین فاصلے کی بنا پر انہیں دو چادر کپیسٹر تصور کیا جاسکتا ہے۔ ہم جانتے ہیں کہ ایسے کپیسٹر کے چادروں کے مابین برقی دباؤ پایا جاتا ہے۔ یوں الیکٹران کے حرکت اور مقناطیسی میدان دونوں کی سمتوں کے عمودی دوالٹ اطراف کے مابین تار پر معمولی برقی دباؤ پایا جاتا ہے جسے **ہال اثر**³ کے نام⁴ سے جانا جاتا ہے۔

ہال اثر کو شکل 8.1 کی مدد سے باآسانی سمجھا جاسکتا ہے۔ شکل-الف میں موصل n قسم کے نیم موصل برقی رو گزارتا ہوا دکھایا گیا ہے۔ تار میں برقی رو I کی بہت a_x ہے لہذا تار میں آزاد منفی چارج اس کے الٹ یعنی a_x سمت میں حرکت کر رہے ہیں۔ تار میں آزاد الیکٹران کو ہلکی سیاحتی میں تیر کے نشان پر دائرے میں بند علامت سے ظاہر کیا گیا ہے جہاں تیر اس کے حرکت کی سمت ظاہر کرتا ہے۔ یہ تار a_z سمت کے مقناطیسی میدان میں پڑی ہے۔ تار میں آزاد چارج منفی قطب کے ہیں لہذا ان پر مساوات 8.2 کے تحت a_y سمت میں قوت F_- عمل کرے گا۔ قوت کی علامت پر زیر نوشت میں منفی کی علامت یہ ظاہر کرتی ہے کہ یہ قوت متحرک منفی چارج پر اثر انداز ہوتا ہے۔ یوں تار کے دائیں طرف پر منفی الیکٹرانوں کا انبار جمع ہوتا ہے جبکہ تار کے بائیں طرف پر الیکٹران کی تعداد کم ہو جاتی ہے جس سے اس جانب ساکن مثبت آئن **بے پردہ**⁵ ہو جاتے ہیں۔ شکل 8.1-الف میں تار کے دائیں طرف $-$ اور بائیں طرف $+$ کے علامات انہیں کو ظاہر کرتے ہیں۔ آپ جانتے ہیں کہ مثبت اور منفی چارج کے مابین برقی میدان کی شدت E اور یوں برقی دباؤ پایا جاتا ہے لہذا تار کے دائیں اور بائیں اطراف کے مابین **ہال برقی دباؤ**⁶ پایا جائے گا۔ تار کا بائیں طرف ہال برقی دباؤ کا مثبت سرا ہو گا۔

آئیں ایسی صورت دیکھیں جہاں متحرک مثبت چارج کی بدولت برقی رو پائی جائے۔ شکل 8.1-ب میں بقایا صورت حال بالکل شکل-الف کی طرح ہے البتہ یہاں تار p قسم کے نیم موصل کا بنا ہوا ہے جس میں برقی رو مثبت **آزاد خول**⁷ کے حرکت سے پیدا ہوتی ہے۔ یوں اگر برقی رو a_x سمت میں ہو تب آزاد خول بھی اسی سمت میں حرکت کریں گے۔ جیسے شکل میں دکھایا گیا ہے یہاں بھی مقناطیسی قوت آزاد چارج کو دائیں جانب دھکیل رہے ہیں۔ آپ دیکھ سکتے ہیں کہ اس بار ہال برقی دباؤ کا مثبت سرا تار کا دائیں طرف پایا جاتا ہے جو شکل-الف کے عین الٹ ہے۔ اس حقیقت کو استعمال کرتے ہوئے یہ معلوم کیا جاسکتا ہے کہ آیا نیم موصل p یا n قسم کا ہے۔

ہال اثر استعمال کرتے ہوئے مختلف پیمائشی آلات بنائے جاتے ہیں مثلاً ایک **سمتی رو پیماء**، **مقناطیسی بہاؤ پیماء**⁸ وغیرہ۔

سمتی رفتار v سے حرکت کرتا ہوا حجمی کثافت چارج ρ_h کثافت برقی رو J

$$(8.5) \quad J = \rho_h v$$

کو جنم دیتا ہے۔ اس مساوات کو صفحہ 127 پر حاصل کیا گیا۔ چھوٹے حجم dh میں تھوڑے سے چارج کو

$$(8.6) \quad dQ = \rho_h dh$$

³ Hall effect

⁴ ایڈون حال نے اس اثر کو 1879 میں دریافت کیا۔

⁵ uncovered

⁶ Hall voltage

⁷ free holes

⁸ magnetic flux meter

لکھا جاسکتا ہے لہذا مساوات 8.4 کو

$$d\mathbf{F} = \rho_h dh \mathbf{v} \times \mathbf{B}$$

یا

$$(8.7) \quad d\mathbf{F} = \mathbf{J} \times \mathbf{B} dh$$

لکھا جاسکتا ہے۔ ہم مساوات 7.6 میں دیکھ چکے ہیں کہ $\mathbf{J} dh$ کو برقی رو گزارتے تار کا تفرقی حصہ تصور کیا جاسکتا ہے جسے

$$\mathbf{J} dh = \mathbf{K} dS = I d\mathbf{L}$$

بھی لکھا جاسکتا ہے۔ اس طرح مساوات 8.7 کو

$$(8.8) \quad d\mathbf{F} = \mathbf{K} \times \mathbf{B} dS$$

یا

$$(8.9) \quad d\mathbf{F} = I d\mathbf{L} \times \mathbf{B}$$

2428

بھی لکھا جاسکتا ہے۔

مساوات 8.7، مساوات 8.8 اور مساوات 8.9 کے مکمل سے انہیں یوں

$$(8.10) \quad \mathbf{F} = \int_h \mathbf{J} \times \mathbf{B} dh$$

$$(8.11) \quad \mathbf{F} = \int_S \mathbf{K} \times \mathbf{B} dS$$

$$(8.12) \quad \mathbf{F} = \oint I d\mathbf{L} \times \mathbf{B}$$

2429

لکھا جاسکتا ہے۔

مساوات 8.12 میں اگر سیدھی تار لی جائے جس کی لمبائی L ہو تو مکمل سے

$$(8.13) \quad \mathbf{F} = IL \times \mathbf{B}$$

حاصل ہوتا ہے جس میں قوت کی قیمت

$$(8.14) \quad F = ILB \sin \alpha$$

ہے جہاں تار اور مقناطیسی میدان کے درمیان زاویہ α ہے۔ مساوات 8.13 اور مساوات 8.14 پورے دور کے کچھ حصے پر قوت دیتے ہیں۔ دور کے بقایا حصوں پر بھی اسی طرح قوت حاصل کئے جاسکتے ہیں۔

2431

2432

مثال 8.1: محدود لمبائی کی تار میں 1.5 A کی برقی رو a_z جانب گزر رہی ہے۔ اس کے قریب نقطہ $N_1(3, 2, 5)$ تا $N_2(4, 6, 1)$ کے درمیان سیدھی موصل تار میں 2.3 A کی برقی رو N_1 سے N_2 کی جانب گزر رہی ہے۔ اس تار پر مقناطیسی قوت حاصل کریں۔

2434

حل: پہلی تار مقناطیسی میدان

$$\begin{aligned} B &= \frac{1.5\mu_0}{2\pi\rho} a_\phi \\ &= \frac{1.5\mu_0}{2\pi\sqrt{x^2+y^2}} \left(-\frac{y}{\sqrt{x^2+y^2}} a_x + \frac{x}{\sqrt{x^2+y^2}} a_y \right) \\ &= \frac{1.5\mu_0}{2\pi(x^2+y^2)} (-y a_x + x a_y) \end{aligned}$$

پیدا کرتا ہے جو دوسری تار کے چھوٹے حصے $dL = dx a_x + dy a_y + dz a_z$ پر قوت

$$(8.15) \quad dF = 2.3 dL \times B$$

پیدا کرے گی۔ تار کی مساوات $L = x a_x + y a_y + z a_z$ میں x ، y اور z متغیرات کو ایک ہی متغیر t کی صورت میں یوں لکھا جاسکتا ہے۔

$$x = 3 + (4 - 3)t = 3 + t$$

$$y = 2 + (6 - 2)t = 2 + 4t$$

$$z = 5 + (1 - 5)t = 5 - 4t$$

جہاں $t = 0$ پر کرنے سے ابتدائی نقطہ $N_1(3, 2, 5)$ اور $t = 1$ پر کرنے سے اختتامی نقطہ $N_2(4, 6, 1)$ حاصل ہوتا ہے۔ یوں

$$L = (3 + t)a_x + (2 + 4t)a_y + (5 - 4t)a_z$$

لکھ کر $dL = dt a_x + 4 dt a_y - 4 dt a_z$ لکھا جاسکتا ہے۔ اس طرح پوری تار پر قوت مساوات 8.15 کے مکمل سے یوں

$$\begin{aligned} F &= \int_0^1 2.3(a_x + 4a_y - 4a_z) dt \times \frac{1.5\mu_0}{2\pi[(3+t)^2 + (2+4t)^2]} [-(2+4t)a_x + (3+t)a_y] \\ &= \int_0^1 \frac{3.45\mu_0}{2\pi(17t^2 + 22t + 13)} [4(t+3)a_x + 8(2t+1)a_y + (17t+11)a_z] dt \end{aligned}$$

لکھی جاسکتی ہے جس سے

$$F = 369a_x + 386a_y + 478a_z \text{ nN}$$

حاصل ہوتا ہے۔

2435

2436

8.3 برقی رو گزارتے تفرقی تاروں کے مابین قوت

شکل میں نقطہ N_1 پر تار کا ایک چھوٹا ٹکڑا dL_1 دکھایا گیا ہے جس میں I_1 برقی رو گزر رہی ہے جبکہ نقطہ N_2 پر تار کا دوسرا چھوٹا ٹکڑا dL_2 دکھایا گیا ہے جس میں I_2 برقی رو گزر رہی ہے۔ نقطہ N_2 پر تار کے پہلے ٹکڑے سے پیدا مقناطیسی میدان مساوات 7.2 دیتا ہے۔

2439

$$dH_2 = \frac{I_1 dL_1 \times a_{R21}}{4\pi R_{21}^2}$$

مساوات 8.9 مقناطیسی میدان H_2 میں تار کے تفرقی حصے پر تفرقی قوت دیتا ہے۔ یہاں تفرقی مقناطیسی میدان dH_2 سے dL_2 پر پیدا قوت درکار ہے۔ اس قوت کو تفرقی قوت کا تفرقی حصہ $d(dF_2)$ لکھتے ہوئے مساوات 8.9 کو

$$d(dF_2) = I_2 dL_2 \times dB_2$$

لکھا جاسکتا ہے جہاں $dB_2 = \mu_0 dH_2$ کے برابر ہے۔ مندرجہ بالا دو مساوات سے

$$(8.16) \quad d(dF_2) = \mu_0 \frac{I_1 I_2}{4\pi R_{21}^2} dL_2 \times (dL_1 \times a_{R21})$$

حاصل ہوتا ہے۔ یاد رہے کہ کسی بھی نقطے پر برقی رو سے پیدا مقناطیسی میدان حاصل کرتے وقت ضروری ہے کہ پورے تار پر مکمل حاصل کیا جائے۔ مندرجہ بالا مساوات میں نقطہ N_2 پر مکمل مکمل لیتے ہوئے میدان H_2 استعمال نہیں کیا گیا بلکہ تفرقی میدان dH_2 استعمال کیا گیا ہے۔ یوں اگر اس مساوات سے قوتیں حاصل کی جائیں تو یہ درست نہیں ہوں گی۔ یہ دیکھنے کے لئے تصور کریں کہ نقطہ $(1, 2, 3)$ پر $I_1 dL_1 = 2a_y A \text{ m}$ جبکہ نقطہ $(-1, 3, 2)$ پر $I_2 dL_2 = -4a_z A \text{ m}$ پایا جاتا ہے۔ دوسرے نقطے پر قوت حاصل کرتے ہیں۔ یہاں $R_{21} = -2a_x + a_y - a_z$ ہے لہذا دوسرے تار پر قوت

$$\begin{aligned} d(dF_2) &= \frac{4\pi 10^{-7}}{4\pi (2^2 + 1^2 + 1^2)^{\frac{3}{2}}} (-4a_z) \times \left[(2a_y) \times (-2a_x + a_y + 2a_z) \right] \\ &= -108.86 a_y \text{ nN} \end{aligned}$$

ہوگا۔ اب بالکل اسی طرح حل کرتے ہوئے پہلے نقطے پر

$$\begin{aligned} d(dF_1) &= \frac{4\pi 10^{-7}}{4\pi (2^2 + 1^2 + 1^2)^{\frac{3}{2}}} (2a_y) \times \left[(-4a_z) \times (2a_x - a_y - 2a_z) \right] \\ &= 54.4 a_z \text{ nN} \end{aligned}$$

قوت حاصل ہوتی ہے جہاں $R_{12} = -R_{21}$ استعمال کیا گیا۔ آپ کو یاد ہو گا کہ چھوٹے سے چھوٹے مقدار کے دو چارجوں کے مابین ہر صورت قیمت میں برابر اور سمت میں الٹ قوتیں پائی جاتی ہیں۔ مقناطیسی میدان میں ایسا نہیں ہے اور برقی رو گزارتے دو چھوٹے حصوں پر نا تو قوت کی قیمتیں برابر ہیں اور نہ ہی ان کی سمتوں کا آپس میں کوئی تعلق ہے۔ یہاں یہ سمجھ لینا ضروری ہے کہ مقناطیسی میدان میں مکمل بند دور حل کرتے ہوئے ہی صحیح جوابات حاصل ہوتے ہیں لہذا ایسا ہی کرتے ہیں۔

2443

مساوات 8.16 کا دو درجی مکمل لیتے ہوئے

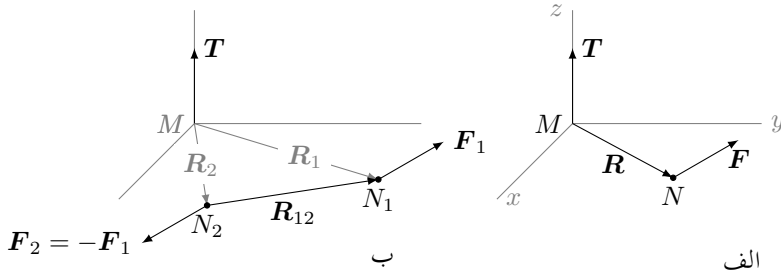
$$\begin{aligned} (8.17) \quad F_2 &= \mu_0 \frac{I_1 I_2}{4\pi} \oint \left[dL_2 \times \oint \frac{dL_1 \times a_{R21}}{R_{21}^2} \right] \\ &= \mu_0 \frac{I_1 I_2}{4\pi} \oint \left[\oint \frac{a_{R21} \times dL_1}{R_{21}^2} \right] \times dL_2 \end{aligned}$$

2444

حاصل ہوتا ہے۔

مندرجہ بالا مساوات میں اندرونی مکمل نقطہ N_2 پر مقناطیسی میدان حاصل کرنے کے لئے درکار ہے جبکہ بیرونی مکمل اسی نقطے پر تار پر کل قوت حاصل کرنے کے لئے درکار ہے۔

2446



شکل 8.2: قوت کا معیار اثر۔

8.4 قوت اور مروڑ

مساوات 8.12 مقناطیسی میدان میں برقی رو گزارتے تار پر قوت دیتا ہے جسے یکساں میدان میں B کو تکمیل کے باہر لے جاتے ہوئے

$$\mathbf{F} = -B \times \oint d\mathbf{L}$$

لکھا جاسکتا ہے۔ اب کوئی بھی برقی دور مکمل بند دائرہ بناتا ہے۔ کسی بھی شکل کے بند دائرے کا لکیری تکمیل $\oint d\mathbf{L} = 0$ ہوتا ہے لہذا یکساں میدان میں برقی دور کے پورے تار پر کل صفر قوت پایا جائے گا۔ البتہ اگر میدان یکساں نہ ہو تب ضروری نہیں کہ پورے دور پر قوت صفر ہو۔

مساوات 8.10 اور مساوات 8.11 کے برقی رو کو بھی متعدد متوازی جڑے باریک تار نما ٹکڑوں میں تقسیم کیا جاسکتا ہے۔ ایسے ہر باریک تار پر بھی یکساں میدان میں صفر قوت ہوگا لہذا ان اشکال کے برقی رو کے ادوار پر بھی کل صفر قوت ہی پایا جائے گا۔

یکساں میدان میں پورے دور پر صفر قوت پایا جاتا ہے البتہ دور پر **مروڑ**⁹ یعنی **قوت کا معیار اثر**¹⁰ عموماً صفر نہیں ہوتا۔ قوت کا معیار اثر حاصل کرنے کی خاطر قوت اور مروڑ کے **محور یعنی پُچول**¹¹ کا جاننا ضروری ہے۔ شکل 8.2-الف میں نقطہ N پر قوت \mathbf{F} عمل کر رہا ہے۔ ہم نقطہ M کو محور چنتے ہیں۔ نقطہ M سے N تک سمتی فاصلہ \mathbf{R} قوت کا **ہاز**¹² کہلاتا ہے۔ قوت کا معیار اثر

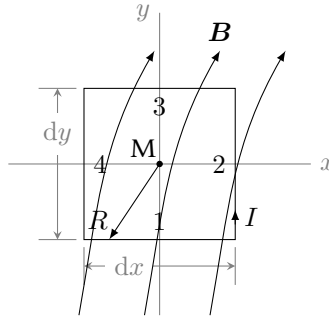
$$(8.18) \quad \mathbf{T} = \mathbf{R} \times \mathbf{F}$$

کے برابر ہے۔ مروڑ کی قیمت، قوت کے ہاز کی لمبائی ضرب قوت کی قیمت ضرب ان دو کے مابین زاویے کے سائن کے برابر ہے جبکہ اس کی سمت دونوں کے **عمودی** ہے جسے **صلیبی ضرب** سے حاصل کیا جاسکتا ہے۔

شکل 8.2-ب میں پختہ شکل کے جسم پر دو مختلف نقطوں پر برابر مگر الٹ سمت کے قوت لاگو کئے گئے ہیں۔ چونکہ اس جسم پر کل قوت صفر کے برابر ہے لہذا یہ کسی بھی سمت میں سیدھی حرکت نہیں کرے گی۔ محور M پر ان قوتوں کے مروڑ کا مجموعہ

$$\begin{aligned} \mathbf{T} &= \mathbf{R}_1 \times \mathbf{F}_1 + \mathbf{R}_2 \times \mathbf{F}_2 \\ &= (\mathbf{R}_1 - \mathbf{R}_2) \times \mathbf{F}_1 \\ &= \mathbf{R}_{12} \times \mathbf{F}_1 \end{aligned}$$

ہوگا جہاں دوسرے قدم پر $\mathbf{F}_2 = -\mathbf{F}_1$ پر کیا گیا ہے۔ اس مساوات میں قوتوں کے محور کا \mathbf{R}_{12} پر کوئی اثر نہیں ہے لہذا کل قوت صفر ہونے کی صورت میں مروڑ کی قیمت محور پر منحصر نہیں ہے۔ اسی عمل کو زیادہ قوتوں پر بھی لاگو کیا جاسکتا ہے۔



شکل 8.3: مقناطیسی میدان میں برقی دو گزارنے تفرقی بند دائرے پر مروڑ۔

چونکہ مروڑ کی قیمت محور پر منحصر نہیں ہے لہذا ہم محور اس مقام پر چن سکتے ہیں جس پر مروڑ کا حصول زیادہ آسان ہو۔ ہم سطحی قوتوں کی صورت میں ایسا محور عموماً قوتوں کے ہم سطحی، جسم کے دھرے پر پایا جاتا ہے۔

2457

آئیں شکل 8.3 میں دئے برقی دو گزارتے تار پر غیر یکساں مقناطیسی میدان $B = B_x a_x + B_y a_y + B_z a_z$ میں مروڑ حاصل کریں۔ تصور کریں کہ تار چول M پر صرف گھوم سکتا ہے۔ اس تار کے اطراف dx اور dy ہیں جبکہ اس میں برقی رو I کی سمت تیر کے نشان سے ظاہر کی گئی ہے۔ اس چھوٹے رقبے کے وسط M پر مقناطیسی میدان

(8.19)

$$B_0 = B_{x0} a_x + B_{y0} a_y + B_{z0} a_z$$

کے برابر ہے۔ یوں وسط سے $-\frac{dy}{2}$ جانب نقطہ 1 پر مقناطیسی میدان ٹیلر تسلسل سے

$$B_1 = B_0 - \frac{\partial B}{\partial y} \frac{dy}{2} + \dots$$

لکھا جاسکتا ہے جہاں تمام تفرقی نقطہ M پر حاصل کئے جاتے ہیں۔ صرف ایک درجی تفرقی رکھتے ہوئے یوں

$$B_1 = \left(B_{x0} - \frac{\partial B_x}{\partial y} \frac{dy}{2} \right) a_x + \left(B_{y0} - \frac{\partial B_y}{\partial y} \frac{dy}{2} \right) a_y + \left(B_{z0} - \frac{\partial B_z}{\partial y} \frac{dy}{2} \right) a_z$$

حاصل ہوتا ہے۔ یوں راہ کے اس طرف کی تفرقی لمبائی پر تفرقی قوت

$$dF_1 = I dx a_x \times B_1$$

یا

$$\begin{aligned} dF_1 &= I dx a_x \times \left[\left(B_{x0} - \frac{\partial B_x}{\partial y} \frac{dy}{2} \right) a_x + \left(B_{y0} - \frac{\partial B_y}{\partial y} \frac{dy}{2} \right) a_y + \left(B_{z0} - \frac{\partial B_z}{\partial y} \frac{dy}{2} \right) a_z \right] \\ &= I dx \left[\left(B_{y0} - \frac{\partial B_y}{\partial y} \frac{dy}{2} \right) a_z - \left(B_{z0} - \frac{\partial B_z}{\partial y} \frac{dy}{2} \right) a_y \right] \end{aligned}$$

ہوگی۔ اس قوت کا بازو مرکز سے اس طرف کے درمیانے نقطے تک ہوگا یعنی $R_1 = -\frac{dy}{2} a_y$ لہذا اس قوت کا معیار اثر

$$\begin{aligned} dT_1 &= R_1 \times dF_1 \\ &= -\frac{dy}{2} a_y \times I dx \left[\left(B_{y0} - \frac{\partial B_y}{\partial y} \frac{dy}{2} \right) a_z - \left(B_{z0} - \frac{\partial B_z}{\partial y} \frac{dy}{2} \right) a_y \right] \\ &= -\frac{I}{2} \left(B_{y0} - \frac{\partial B_y}{\partial y} \frac{dy}{2} \right) dx dy a_x \end{aligned}$$

ہوگا۔

اسی طرح وسط سے $\frac{dy}{2}$ + جانب نقطہ 3 پر مقناطیسی میدان مگنٹاٹن تسلسل سے

$$B_3 = B_0 + \frac{\partial B}{\partial y} \frac{dy}{2} + \dots$$

لکھا جاسکتا ہے جہاں تمام تفرق نقطہ M پر حاصل کئے جاتے ہیں۔ صرف ایک درجی تفرق رکھتے ہوئے یوں

$$B_3 = \left(B_{x0} + \frac{\partial B_x}{\partial y} \frac{dy}{2} \right) a_x + \left(B_{y0} + \frac{\partial B_y}{\partial y} \frac{dy}{2} \right) a_y + \left(B_{z0} + \frac{\partial B_z}{\partial y} \frac{dy}{2} \right) a_z$$

حاصل ہوتا ہے۔ یوں راہ کے اس طرف کی تفرقی لمبائی پر تفرقی قوت

$$dF_3 = -I dx a_x \times B_3$$

یا

$$\begin{aligned} dF_3 &= -I dx a_x \times \left[\left(B_{x0} + \frac{\partial B_x}{\partial y} \frac{dy}{2} \right) a_x + \left(B_{y0} + \frac{\partial B_y}{\partial y} \frac{dy}{2} \right) a_y + \left(B_{z0} + \frac{\partial B_z}{\partial y} \frac{dy}{2} \right) a_z \right] \\ &= I dx \left[- \left(B_{y0} + \frac{\partial B_y}{\partial y} \frac{dy}{2} \right) a_z + \left(B_{z0} + \frac{\partial B_z}{\partial y} \frac{dy}{2} \right) a_y \right] \end{aligned}$$

ہوگی۔ اس قوت کا بازو مرکز سے اس طرف کے درمیان تک یعنی $R_3 = \frac{dy}{2} a_y$ ہے لہذا اس قوت کا معیار اثر

$$\begin{aligned} dT_3 &= R_3 \times dF_3 \\ &= \frac{dy}{2} a_y \times I dx \left[- \left(B_{y0} + \frac{\partial B_y}{\partial y} \frac{dy}{2} \right) a_z + \left(B_{z0} + \frac{\partial B_z}{\partial y} \frac{dy}{2} \right) a_y \right] \\ &= -\frac{I}{2} \left(B_{y0} + \frac{\partial B_y}{\partial y} \frac{dy}{2} \right) dx dy a_x \end{aligned}$$

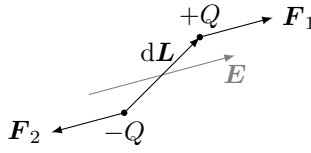
ہوگا۔

ان دو قوتوں کے معیار اثر کا مجموعہ

$$dT_1 + dT_3 = -IB_{y0} dx dy a_x$$

کے برابر ہے۔ بالکل اسی طرح تیسرے اور چھوٹے اطراف کے قوتوں کے معیار اثر کا مجموعہ

$$dT_2 + dT_4 = IB_{x0} dx dy a_y$$



شکل 8.4: برقی جفت قطب پر برقی میدان میں مروڑ۔

حاصل ہوتا ہے۔ یوں تمام اطراف کے قوتوں کے معیار اثر کا مجموعہ

$$dT = I dx dy (B_{x0} a_y - B_{y0} a_x)$$

حاصل ہوتا ہے۔ قوسین میں بندھے کو صلیبی ضرب کی صورت میں لکھا جاسکتا ہے۔ یوں

$$dT = I dx dy (a_z \times B_0)$$

یا

$$(8.20) \quad dT = I dS \times B$$

حاصل ہوتا ہے جہاں بند راہ سمتی رقبے dS کو گھیرتی ہے۔ مندرجہ بالا مساوات میں کثافت مقناطیسی بہا B لکھتے ہوئے زیر نوشت نہیں لکھا گیا۔

بند دائرے میں برقی رو ضرب چھوٹے سمتی رقبے کا حاصل ضرب **تفرقی مقناطیسی جفت قطب کے معیار اثر** dm^{13} کی تعریف ہے جس کی اکائی $A m^2$ ہے۔ یوں

$$(8.21) \quad dm = I dS$$

اور

$$(8.22) \quad dT = dm \times B$$

لکھے جاسکتے ہیں۔

مساوات 8.20، مساوات 8.21 اور مساوات 8.22 عمومی مساوات ہیں جن میں چھوٹا رقبہ dS مربع کے علاوہ کسی بھی شکل کا ہو سکتا ہے اور اس کی سمت کچھ بھی ہو سکتی ہے۔

غیر یکساں مقناطیسی میدان کی صورت میں تار پر کل قوت صفر نہیں ہوگی۔

شکل 8.4 میں برقی میدان میں برقی جفت قطب دکھایا گیا ہے۔ مثبت چارج پر قوت $F_1 = QE$ اور منفی چارج پر قوت $F_2 = -QE$ ہے۔ آپ دیکھ سکتے ہیں کہ اس جفت قطب پر تفرقی مروڑ

$$\begin{aligned} dT &= dL \times QE \\ &= dp \times E \end{aligned}$$

کے برابر ہے جہاں $dp = Q dL$ برقی جفت قطب ہے۔ مروڑ کی سمت صفحہ کے اندر جانب کو ہے۔ آپ نے دیکھا کہ مقناطیسی اور برقی جفت قطب پر مروڑ کے مساوات یکساں ہیں۔ بالکل مقناطیسی جفت قطب کی طرح یہاں بھی مروڑ کا تخمینہ لگاتے وقت جفت قطب کے احاطے میں میدان E کے تبدیلی کو نظر انداز کیا جاسکتا ہے۔

مثال 8.2: شکل 8.3 میں چھوٹے رقبے کو اتنا چھوٹا تصور کریں کہ اس پر مقناطیسی میدان یکساں تصور کرنا ممکن ہو۔ ایسی صورت میں تفرقی مروڑ حاصل کہیں۔

حل: یکساں میدان کی صورت میں

$$\begin{aligned} d\mathbf{F}_1 &= I d\mathbf{x} \mathbf{a}_x \times (B_{x0} \mathbf{a}_x + B_{y0} \mathbf{a}_y + B_{z0} \mathbf{a}_z) \\ &= I d\mathbf{x} (B_{y0} \mathbf{a}_z - B_{z0} \mathbf{a}_y) \end{aligned}$$

اور

$$\begin{aligned} d\mathbf{T}_1 &= -\frac{dy}{2} \mathbf{a}_y \times I d\mathbf{x} (B_{y0} \mathbf{a}_z - B_{z0} \mathbf{a}_y) \\ &= -\frac{I}{2} dx dy B_{y0} \mathbf{a}_x \end{aligned}$$

حاصل ہوتے ہیں۔ اسی طرح

$$\begin{aligned} d\mathbf{F}_3 &= -I d\mathbf{x} \mathbf{a}_x \times (B_{x0} \mathbf{a}_x + B_{y0} \mathbf{a}_y + B_{z0} \mathbf{a}_z) \\ &= I d\mathbf{x} (-B_{y0} \mathbf{a}_z + B_{z0} \mathbf{a}_y) \end{aligned}$$

اور

$$\begin{aligned} d\mathbf{T}_3 &= \frac{dy}{2} \mathbf{a}_y \times I d\mathbf{x} (-B_{y0} \mathbf{a}_z + B_{z0} \mathbf{a}_y) \\ &= -\frac{I}{2} dx dy B_{y0} \mathbf{a}_x \end{aligned}$$

حاصل ہوتے ہیں۔ یوں

$$d\mathbf{T}_1 + d\mathbf{T}_3 = -I dx dy B_{y0} \mathbf{a}_x$$

حاصل ہوتے ہیں۔ اسی طرح

$$d\mathbf{T}_2 + d\mathbf{T}_4 = I dx dy B_{x0} \mathbf{a}_y$$

حاصل ہوتا ہے۔ ان نتائج سے کل مروڑ

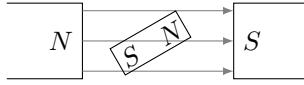
$$d\mathbf{T} = I dx dy (B_{x0} \mathbf{a}_y - B_{y0} \mathbf{a}_x)$$

ہی حاصل ہوتا ہے۔

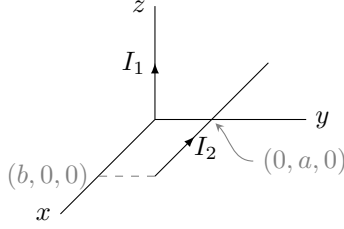
2470

2471

مندرجہ بالا مثال سے ثابت ہوتا ہے کہ غیر یکساں مقناطیسی میدان کی صورت میں مروڑ حاصل کرتے وقت چھوٹے رقبے پر میدان کی تبدیلی کو نظر انداز کیا جاسکتا ہے۔ اس مثال سے یہ بھی ظاہر ہے کہ یکساں مقناطیسی میدان میں تار پر کل قوت صفر کے برابر ہوتی ہے۔ اگر مقناطیسی میدان حقیقت میں یکساں ہی ہو تب کسی بھی بڑے رقبے پر بھی مروڑ بالکل اسی مساوات



شکل 8.5: مروڑ دونوں مقناطیسی میدان کو متوازی بنانے کی کوشش کرتا ہے۔



شکل 8.6: چھوٹی تار پر مروڑ کا حصول۔

سے حاصل ہوگا البتہ غیر یکساں میدان کی صورت میں مروڑ کی تعریف استعمال کرتے ہوئے ہی صحیح جواب حاصل ہوگا۔ سوال 16.9 میں آپ سے غیر یکساں میدان میں مروڑ حاصل کرنے کو کہا گیا ہے جبکہ سوال 16.10 میں مندرجہ بالا مساوات استعمال کرنے کو کہا گیا ہے۔

غور کرنے سے معلوم ہوتا ہے کہ برقی رو گزارتے بند دائرے پر مروڑ اس سمت میں دائرے کو گھمانے کی کوشش کرتا ہے جس میں دائرے سے پیدا مقناطیسی میدان اور بیرونی لاگو مقناطیسی میدان کی سمتیں ایک ہی ہوں۔ اس حقیقت کو شکل 8.5 کی مدد سے یاد رکھا جاسکتا ہے جہاں برقی رو گزارتے تار کی جگہ چھوٹا مقناطیس بیرونی میدان میں دکھایا گیا ہے۔ چھوٹا مقناطیس اس سمت میں گھومتا ہے جہاں دونوں میدان متوازی ہوں۔

مثال 8.3: محدود z پر لا محدود لمبائی کے تار میں I_1 برقی رو a_z سمت میں گزر رہی ہے۔ اس کے قریب سطح $z = 0$ پر تار $y = a$ ، $-b < x < b$ میں $-a_x$ سمت میں I_2 برقی رو گزر رہی ہے۔ نقطہ $(0, a, 0)$ پر محور تصور کرتے ہوئے لمبی تار کے میدان میں چھوٹی تار پر مروڑ حاصل کریں۔ صورت حال شکل 8.6 میں دکھائی گئی ہے۔

حل: محدود z پر برقی رو میدان

$$B = \frac{\mu_0 I_1}{2\pi \rho} a_\phi$$

پیدا کرتی ہے جسے کارتیسی نظام میں

$$B = \frac{\mu_0 I_1}{2\pi(x^2 + y^2)}(-y a_x + x a_y)$$

لکھا جاسکتا ہے۔ اس میدان کی قیمت اور سمت غیر یکساں ہیں۔ کارتیسی میدان میں انتہائی چھوٹی لمبائی کو

$$dL = dx a_x + dy a_y + dz a_z$$

لکھا جاتا ہے۔ چھوٹی تار پر $dy = 0$ اور $dz = 0$ ہیں لہذا $dL = dx a_x$ لکھتے ہوئے تار کے انتہائی چھوٹے حصے پر قوت

$$dF = I dL \times B$$

$$= I_2 dx a_x \times \frac{\mu_0 I_1}{2\pi(x^2 + y^2)}(-y a_x + x a_y)$$

$$= \frac{I_1 I_2 \mu_0 x dx a_z}{2\pi(x^2 + y^2)}$$

¹⁴ طلباء یہاں عموماً غلطی کرتے ہوئے $dL = -dx a_x$ لکھتے ہیں۔ یاد رہے کہ تکمیل میں ابتدائی اور اختتامی نقطے دراصل سمت تعین کرتے ہیں۔

لکھا جاسکتا ہے۔ نقطہ $(0, a, 0)$ کو محور تصور کرتے ہوئے $R = x\mathbf{a}_x$ لکھا جائے گا۔ یوں تار کی انتہائی چھوٹے حصے پر مروڑ

$$\begin{aligned} d\mathbf{T} &= \mathbf{R} \times d\mathbf{F} \\ &= x\mathbf{a}_x \times \frac{I_1 I_2 \mu_0 x \, dx \mathbf{a}_z}{2\pi(x^2 + y^2)} \\ &= -\frac{I_1 I_2 \mu_0 x^2 \mathbf{a}_y}{2\pi(x^2 + y^2)} dx \end{aligned}$$

ہوگا۔ یوں پورے تار پر کل مروڑ

$$\begin{aligned} \mathbf{T} &= \int_b^{-b} -\frac{I_1 I_2 \mu_0 x^2 \mathbf{a}_y}{2\pi(x^2 + y^2)} dx \\ &= \frac{I_1 I_2 \mu_0}{\pi} \left(b - a \tan^{-1} \frac{b}{a} \right) \mathbf{a}_y \quad \text{Nm} \end{aligned}$$

حاصل ہوتا ہے جہاں $y = a$ پر کیا گیا ہے۔

2481

2482

8.5 فولادی مقناطیسی اشیاء اور مقناطیسی خطے

2483

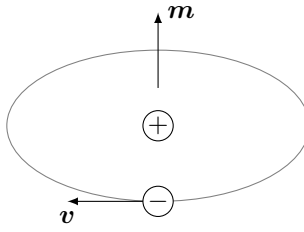
شکل 8.7 میں ایٹمی مرکز کے گرد مدار میں گھومتا الیکٹران دکھایا گیا ہے۔ حرکت کرتا چارج برقی رو پیدا کرتا ہے۔ ایسی برقی رو جو مقید الیکٹران کی بنا ہو **مقید برقی رو** ¹⁵ کہلاتی جاتی ہے۔ اس الیکٹران کو بند گول دائرے پر مقید برقی رو تصور کیا جاسکتا ہے جو مقناطیسی جفت قطب m کو جنم دیتی ہے۔ الیکٹران منفی ہونے کی وجہ سے مقید برقی رو v کے الٹ سمت میں ہوگی۔ ایٹمی مسائل صرف **کو انٹرمیکانیٹ** ¹⁶ سے ہی سمجھے جاسکتے ہیں۔ یہاں صرف اتنا بتانا ضروری ہے کہ لوہا، نکل ¹⁷ اور کوہالٹ ¹⁸ ایسے عناصر ہیں جن کا m قدر زیادہ قیمت رکھتا ہے۔ یہ اشیاء **فولادی مقناطیسی اشیاء** ¹⁹ کہلاتے ہیں۔ ہم انہیں اشیاء پر غور کرتے ہیں۔

2487

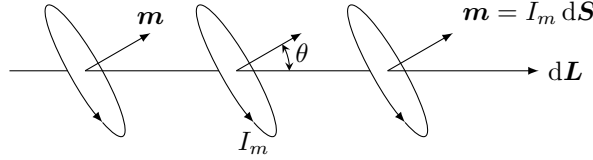
فولادی مقناطیسی اشیاء میں ایٹموں کے باہمی قوتوں کی وجہ سے قریبی جفت قطب ایک ہی سمت میں رخ کر لیتے ہیں۔ ایسے **ہم صف** ²⁰ خطوں میں متعدد ایٹم شامل ہوتے ہیں۔ ان خطوں کو **مقناطیسی خطے** ²¹ کہتے ہیں۔ مقناطیسی خطے مختلف شکل کے ہو سکتے ہیں اور ان کی جسامت ایک مائیکرو میٹر تا کئی سنٹی میٹر ممکن ہے۔ کبھی بھی قدرتی مقناطیسی شہ میں انفرادی مقناطیسی خطے کے مقناطیسی جفت قطب کا معیار اثر انتہائی بڑی مقدار کا ہوتا ہے البتہ مختلف مقناطیسی خطوں کے جفت قطب کے رخ مختلف سمتوں میں ہوتے ہیں۔ اسی وجہ سے پورا حجم از خود کوئی مقناطیسی معیار اثر نہیں رکھتا۔ ہاں بیرونی مقناطیسی میدان B_0 لاگو کرنے سے وہ مقناطیسی خطے جو B_0 کے ہی سمت میں رخ کئے ہوں گا حجم بڑھ جاتا ہے جبکہ بقایا مقناطیسی خطوں کا حجم کم ہو جاتا ہے۔ یوں اندرونی مقناطیسی میدان بیرونی میدان سے کئی گنا بڑھ جاتا ہے۔ بیرونی میدان ہٹا دینے سے تمام مقناطیسی خطے اپنی پرانی صورت اختیار نہیں کر پاتے۔ یوں تمام مقناطیسی خطوں کا مجموعی بقایا مقناطیسی معیار اثر رہ جاتا ہے۔ یہ حقیقت کہ مقناطیسی اشیاء کے خصوصیات گزشتہ حالات پر منحصر ہے، **مقناطیسی چال** ²² کہلاتا ہے۔

2494

bound current¹⁵
quantum mechanics¹⁶
nickel¹⁷
cobalt¹⁸
ferromagnetic¹⁹
aligned²⁰
magnetic domain²¹
hysteresis²²



شکل 8.7: مدار میں گھومتے الیکٹران کے مقناطیسی جفت قطب کے معیار اثر کو بیرونی میدان کے متوازی دکھایا گیا ہے۔



شکل 8.8: بیرونی مقناطیسی میدان جفت قطب کو صف بستہ کئے ہوئے ہے جس سے بند راہ سے گھیرے گئے سطح میں مقید برقی رو سے اضافہ پایا جاتا ہے۔

8.6 مقناطیسیت اور مقناطیسی مستقل

تصور کریں کہ کسی مادے کے اکائی حجم میں n مقناطیسی جفت قطب پائے جاتے ہوں۔ اس مادے کے Δh حجم میں $n\Delta h$ جفت قطب ہوں گے جن کا اجتماعی مقناطیسی معیار اثر ان کا سمتی مجموعہ

$$m_{\text{کل}} = \sum_{i=1}^{n\Delta h} m_i \quad (8.24)$$

ہوگا۔ انفرادی m مختلف قیمت اور سمت کے ہو سکتے ہیں۔ اجتماعی مقناطیسی معیار اثر ان کا اکائی حجم

$$M = \lim_{\Delta h \rightarrow 0} \frac{1}{\Delta h} \sum_{i=1}^{n\Delta h} m_i \quad (8.25)$$

کو **مقناطیسیت**²³ پکارا اور M سے ظاہر کیا جاتا ہے۔ مقناطیسیت کی اکائی بالکل H کے اکائی کی طرح ایمپیئر فی میٹر $\frac{A}{m}$ ہے۔ مندرجہ بالا مساوات کا صفحہ 142 پر دئے مساوات 5.25 کے ساتھ موازنہ کریں جو تقطیب کی تعریف بیان کرتی ہے۔ مندرجہ ذیل پڑھتے ہوئے بھی تقطیب پر تبصرے کو ساتھ ساتھ دیکھتے رہیں۔²⁴⁹⁷

شکل 8.8 میں بند راہ کا کچھ حصہ dL دکھایا گیا ہے جس پر مقناطیسی جفت قطب دکھائے گئے ہیں۔ چھوٹے رقبے dS کے گرد گھومتی مقید برقی رو I_m مقناطیسی معیار اثر $m = I_m dS$ کو جنم دیتی ہے۔ بیرونی مقناطیسی میدان لاگو کرنے سے جفت قطب ہم صف ہو کر dL کے ساتھ θ کا زاویہ بناتے ہیں۔ یوں چھوٹے حجم $dS \cdot dL$ یعنی $dS \cos \theta$ میں جفت قطب کی کل تعداد $n dS \cdot dL$ ہوگی۔ انہیں دیکھتے ہیں کہ بند راہ سے گھیری سطح سے گزرتی برقی رو میں بیرونی میدان لاگو کرنے سے کیا تبدیلی رونما ہوتی ہے۔ اگر بند راہ پر a_L جانب چلا جائے تو گھیری گئی سطح بائیں ہاتھ کو ہے۔ بیرونی میدان کے غیر موجودگی میں تمام جفت قطب بالترتیب پائے جاتے۔ بیرونی میدان B لاگو کرنے کی صورت میں تمام کے تمام $n dS \cdot dL$ جفت قطب ہم صف ہو جاتے ہیں جس کی وجہ سے گھیرے سطح سے کل مقید گزرتی برقی رو بڑھ جاتی ہے۔ ہر انفرادی جفت قطب گھیری گئی سطح سے گزرتی برقی رو میں I_m کا اضافہ کرتا ہے لہذا تمام ہم صف جفت قطب مل کر

$$dI_m = n I_m dS \cdot dL = M \cdot dL \quad (8.26)$$

اضافہ پیدا کرتے ہیں۔ پورے بند راہ کے گرد چلتے ہوئے یوں کل اضافہ

$$I_m = \oint M \cdot dL \quad (8.27)$$

ہو گا۔

مندرجہ بالا مساوات ایمپیر کے دوری قانون کی مساوات کے ساتھ قریبی مشابہت رکھتا ہے۔ یوں B اور H کے تعلق پر نظر ثانی کرتے ہوئے یوں بیان کیا جاسکتا ہے کہ یہ خالی خلاء کے علاوہ دیگر اشیاء میں بھی کارآمد ہو۔ ہمارا موجودہ تبصرہ بیرونی میدان B میں جفت قطب پر قوت اور مروڑ پر رہا ہے۔ آئیں B کو ہی بنیادی متغیر تصور کرتے ہوئے H کی بہتر تعریف حاصل کریں۔ ایسا کرنے کی خاطر ایمپیر کے دوری قانون کو آزاد برقی رو I اور مقید برقی رو I_m کے مجموعے $I_{\text{کل}}$ کی صورت

$$\oint \frac{B}{\mu_0} \cdot dL = I_{\text{کل}} \quad (8.28)$$

میں لکھتے ہیں جہاں

$$I_{\text{کل}} = I + I_m \quad (8.29)$$

کے برابر ہے۔ مندرجہ بالا تین مساوات سے

$$I = I_{\text{کل}} - I_m = \oint \left(\frac{B}{\mu_0} - M \right) \cdot dL \quad (8.30)$$

حاصل ہوتا ہے۔ توسین میں بندھے H کی بہتر تعریف لیتے ہیں یعنی

$$H = \frac{B}{\mu_0} - M \quad (8.31)$$

جسے یوں

$$B = \mu_0 (H + M) \quad (8.32)$$

بھی لکھا جاسکتا ہے۔ چونکہ خالی خلاء میں M صفر کے برابر ہوتا ہے لہذا مندرجہ بالا مساوات سے خالی خلاء میں $B = \mu_0 H$ ہی حاصل ہوتا ہے۔ مساوات 8.30 میں H کی نئی تعریف پر کرنے سے ایمپیر کے دوری قانون کو آزاد برقی رو کی صورت

$$I = \oint H \cdot dL \quad (8.33)$$

میں بیان کیا جاسکتا ہے۔

مختلف اقسام کے برقی رو کے لئے

$$I_m = \oint_S \mathbf{J}_m \cdot d\mathbf{S}$$

$$I_{\text{کل}} = \oint_S \mathbf{J}_{\text{کل}} \cdot d\mathbf{S}$$

$$I = \oint_S \mathbf{J} \cdot d\mathbf{S}$$

لکھے جاسکتے ہیں جن سے بذریعہ مسئلہ سٹوکس مساوات 8.27، مساوات 8.33 اور مساوات 8.28 کے گردش

$$\nabla \times \mathbf{M} = \mathbf{J}_m$$

$$\nabla \times \frac{\mathbf{B}}{\mu_0} = \mathbf{J}_{\text{کل}}$$

$$\nabla \times \mathbf{H} = \mathbf{J} \quad (8.34)$$

لکھے جاسکتے ہیں۔ ہمیں یہاں سے آگے مساوات 8.33 اور مساوات 8.34 سے غرض رہے گا۔ یہ دونوں مساوات آزاد برقی رو کے تعلق پیش کرتے ہیں۔

مساوات 8.32 کثافت مقناطیسی بہا B ، مقناطیسی میدان کی شدت H اور مقناطیسیت M کے تعلق کو بیان کرتی ہے۔ خطی²⁴ اور غیر سمتی خاصیت²⁵ کے اشیاء میں مقناطیسیت اور میدان کے شدت کا خطی تعلق

$$M = \chi_m H \quad (8.35)$$

پایا جاتا ہے جہاں χ_m کو مقناطیسی اثر پذیری²⁶ کہا جاتا ہے۔ یوں

$$\begin{aligned} B &= \mu_0 (H + \chi_m H) \\ &= \mu_0 (1 + \chi_m) H \end{aligned}$$

لکھا جاسکتا ہے۔ قوسین میں بند حصے کو جزوی مقناطیسی مستقل²⁷ پکارا اور μ_R سے ظاہر کیا جاتا ہے یعنی

$$\mu_R = 1 + \chi_m \quad (8.36)$$

یوں

$$B = \mu_0 \mu_R H$$

یا

$$B = \mu H \quad (8.37)$$

حاصل ہوتا ہے جہاں μ

$$\mu = \mu_0 \mu_R \quad (8.38)$$

مقناطیسی مستقل²⁸ پکارا جاتا ہے۔ جزوی مقناطیسی مستقل μ_R کے استعمال سے بائوٹ سیوارٹ کا قانون اور ایمپیئر کے دوری قانون کو خالی خلاء کے علاوہ ان تمام اشیاء میں بھی استعمال کیا جاسکتا ہے جو خطی اور غیر سمتی خاصیت رکھتے ہوں۔ ایسے اشیاء مساوات 8.35 پر پورا اترتے ہیں۔

2502

نولادی مقناطیسی اشیاء کے μ_R کی قیمت 10 تا 100 000 پائی جاتی ہے۔

2503

سمتی خاصیت²⁹ کے اشیاء میں H کا ہر کار تیمی جزوی B کے ہر کار تیمی جزو پر اثر انداز ہوتا ہے لہذا ان کا تعلق تناوی شکل

$$\begin{aligned} B_x &= \mu_{xx} H_x + \mu_{xy} H_y + \mu_{xz} H_z \\ B_y &= \mu_{yx} H_x + \mu_{yy} H_y + \mu_{yz} H_z \\ B_z &= \mu_{zx} H_x + \mu_{zy} H_y + \mu_{zz} H_z \end{aligned} \quad (8.39)$$

میں لکھا جاسکتا ہے۔ یہ مساوات صفحہ 145 پر دئے مساوات 5.40 کی طرح ہے۔ یوں سمتی خاصیت کے اشیاء میں $B = \mu H$ کے تعلق میں μ تناوی مستقل ہے۔ مساوات

2505

$$B = \mu_0 (H + M) \quad (8.39)$$

مقناطیسی اثر پذیری کی بات کرتے ہوئے خطی تعلق تصور کیا گیا ہے۔ حقیقت میں ایسا خطی تعلق صرف غیر مقناطیسی اشیاء میں ہی پایا جاتا ہے۔

2506

linear²⁴

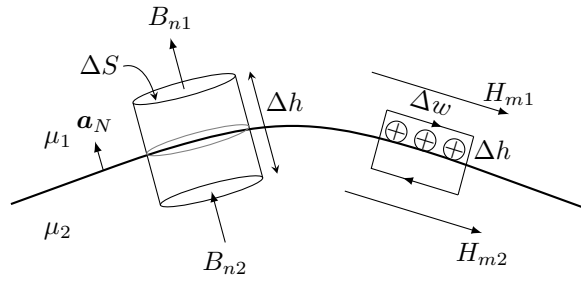
isotropic²⁵

magnetic susceptibility²⁶

relative magnetic constant, relative permeability²⁷

magnetic constant, permeability²⁸

anisotropic²⁹



شکل 8.9: مقناطیسی سرحدی شرائط۔

8.7 مقناطیسی سرحدی شرائط

ہم موصل اور ذو برق کے سرحدی شرائط دیکھ چکے ہیں۔ انہیں دیکھتے ہوئے آگے پڑھیں۔ بالکل انہیں کی طرح شکل 8.9 کی مدد سے مقناطیسی سرحدی شرائط حاصل کرتے ہیں جہاں دو مقناطیسی اشیاء کا سرحد دکھایا گیا ہے جن کے مقناطیسی مستقل μ_1 اور μ_2 ہیں۔ سرحد پر چھوٹے ٹکڑے کی لمبائی کم سے کم کرتے ہوئے گاؤس کے قانون

$$\oint_S \mathbf{B} \cdot d\mathbf{S} = 0$$

کے اطلاق سے

$$B_{n1}\Delta S - B_{n2}\Delta S = 0$$

یعنی

$$(8.40) \quad B_{n2} = B_{n1}$$

یا

$$(8.41) \quad H_{n2} = \frac{\mu_1}{\mu_2} H_{n1}$$

حاصل ہوتے ہیں۔ یوں عمودی B سرحد پر بلا جوڑ ہے جبکہ عمودی H سرحد پر $\frac{\mu_1}{\mu_2}$ کی شرح سے جوڑ دار ہے۔ مندرجہ بالا دو مساوات کو یوں

$$(8.42) \quad \mathbf{a}_N \cdot (\mathbf{B}_2 - \mathbf{B}_1) = 0$$

$$(8.43) \quad \mathbf{a}_N \cdot \left(\mathbf{H}_2 - \frac{\mu_1}{\mu_2} \mathbf{H}_1 \right) = 0$$

بھی لکھا جاسکتا ہے۔

سرحد پر عمودی M کا تعلق سرحد پر عمودی H کے تعلق سے حاصل ہوتا ہے۔ خطی خاصیت کے مقناطیسی اشیاء کے لئے یوں

$$(8.44) \quad M_{n2} = \frac{\chi_{m2}}{\chi_{m1}} \frac{\mu_1}{\mu_2} M_{n1}$$

لکھا جاسکتا ہے۔

سرحد پر انتہائی کم موٹائی کے خطے میں کثافت برقی K تصور کرتے ہوئے کثافت کے عمودی ΔL چوڑائی پر برقی $K\Delta L = I_{\Delta L}$ لکھی جاسکتی ہے۔ یوں سرحد پر متوازی اجزاء کا شرط شکل میں مستطیل راہ پر ایمپیر کے دوری قانون

$$\oint \mathbf{H} \cdot d\mathbf{L} = I$$

کے اطلاق سے

$$H_{m1}\Delta w - H_{m2}\Delta w = K_{\perp}\Delta w$$

یعنی

$$(8.45) \quad H_{m1} - H_{m2} = K_{\perp}$$

حاصل ہوتا ہے جہاں K_{\perp} سے مراد K کا وہ حصہ ہے جو H_{m1} اور H_{m2} کے عمودی ہے۔ سمتی ضرب کے استعمال سے مندرجہ بالا مساوات کو

$$(8.46) \quad \mathbf{a}_N \times (\mathbf{H}_1 - \mathbf{H}_2) = \mathbf{K}_{\perp}$$

لکھا جاسکتا ہے جہاں \mathbf{a}_N سرحد پر عمودی اکائی سمتیہ ہے۔ سرحد کے متوازی \mathbf{B} کے لئے یوں

$$(8.47) \quad \frac{B_{m1}}{\mu_1} - \frac{B_{m2}}{\mu_2} = K_{\perp}$$

یا

$$(8.48) \quad \mathbf{a}_N \times \left(\frac{B_{m1}}{\mu_1} - \frac{B_{m2}}{\mu_2} \right) = \mathbf{K}_{\perp}$$

لکھا جاسکتا ہے۔ اسی طرح خطی خاصیت کے اشیاء کے لئے سرحد کے متوازی \mathbf{M} کے لئے

$$(8.49) \quad M_{m2} = \frac{\chi_{m2}}{\chi_{m1}} M_{m1} - \chi_{m2} K_{\perp}$$

لکھا جاسکتا ہے۔ سرحد پر صفر کثافت برقی رو کی صورت میں مندرجہ بالا تین مساوات سادہ صورت اختیار کر لیتے ہیں۔ دونوں اشیاء غیر موصل ہونے کی صورت میں سرحد پر کثافت برقی رو صفر ہی ہوتی ہے۔

2511

مثال 8.4: مساوات $3x - 2y + 5z < 1$ خطہ-1 جبکہ مساوات $3x - 2y + 5z > 1$ خطہ-2 کو ظاہر کرتی ہے۔ ان خطوں کے جزوی مقناطیسی مستقل $\mu_{R1} = 2.5$ اور $\mu_{R2} = 5$ ہیں۔ خطہ-1 میں $\mathbf{H}_1 = 30\mathbf{a}_x + 20\mathbf{a}_y - 40\mathbf{a}_z$ ہے۔ سرحد کے عمودی، خطہ-1 سے خطہ-2 کی جانب اکائی سمتیہ \mathbf{a}_N حاصل کریں۔ پہلے خطے میں سرحد کے عمودی اور متوازی میدان کے اجزاء حاصل کریں۔ اسی طرح دوسرے خطے میں سرحد کے عمودی اور متوازی میدان حاصل کریں۔ سرحد کے عمود کے ساتھ دونوں خطوں میں میدان کیلکولایو یہ بتاتا ہے۔

2515

حل: سرحدی مساوات کی ڈھلوان سے اکائی سمتیہ حاصل ہوگی۔ چونکہ ڈھلوان کی سمت بڑھتے جانب ہوتی ہے لہذا اس کی سمت خطہ-1 سے خطہ-2 کی جانب ہوگی۔

$$\begin{aligned} \mathbf{a}_N &= \frac{\nabla(3x - 2y + 5z)}{|\nabla(3x - 2y + 5z)|} \\ &= \frac{3\mathbf{a}_x - 2\mathbf{a}_y + 5\mathbf{a}_z}{\sqrt{38}} \\ &= 0.487\mathbf{a}_x - 0.324\mathbf{a}_y + 0.811\mathbf{a}_z \end{aligned}$$

میدان کا عمودی جزو

$$\begin{aligned} H_{n1} &= (\mathbf{H}_1 \cdot \mathbf{a}_N) \mathbf{a}_N \\ &= -24.33(0.487\mathbf{a}_x - 0.324\mathbf{a}_y + 0.811\mathbf{a}_z) \\ &= -11.84\mathbf{a}_x + 7.89\mathbf{a}_y - 19.74\mathbf{a}_z \end{aligned}$$

ہے جسے میدان سے منفی کرنے سے متوازی جزو حاصل ہوگا۔

$$\begin{aligned} H_{m1} &= H_1 - H_{n1} \\ &= (30a_x + 20a_y - 40a_z) - (-11.84a_x + 7.89a_y - 19.74a_z) \\ &= 41.84a_x + 12.11a_y - 20.26a_z \end{aligned}$$

چونکہ سرحد پر مقناطیسی میدان بے جوڑ ہوتا ہے لہذا سرحد کے دونوں اطراف پر متوازی میدان برابر ہوں گے۔

$$H_{m2} = H_{m1} = 41.84a_x + 12.11a_y - 20.26a_z$$

سرحدی شرائط سے

$$\begin{aligned} H_{n2} &= \frac{\mu_{R1}}{\mu_{R2}} H_{n1} = \frac{2}{5} (-11.84a_x + 7.89a_y - 19.74a_z) \\ &= -5.92a_x + 3.95a_y - 9.87a_z \end{aligned}$$

لکھا جاسکتا ہے۔ یوں دوسرے خطے میں میدان

$$H_2 = H_{m2} + H_{n2} = 35.92a_x + 16.05a_y - 30.13a_z$$

ہے۔ پہلے خطے میں

$$\cos \theta_1 = \frac{|H_{n1}|}{|H_1|} = 0.452$$

سے

$$\theta_1 = 63.1^\circ$$

حاصل ہوتا ہے جبکہ دوسرے خطے میں اسی طرح

$$\theta_2 = \cos^{-1} \frac{|H_{n2}|}{|H_2|} = 75.8^\circ$$

حاصل ہوتا ہے۔

2516

2517

2518

8.8 مقناطیسی دور

ایک سستی برقی ادوار حل کرنے سے آپ بخوبی آگاہ ہوں گے۔ کئی مقناطیسی مسائل بالکل انہیں کی طرح حل ہوتے ہیں۔ برقی مشین مثلاً موٹر اور ٹرانسفارمر کے کارکردگی پر غور کرتے وقت انہیں مقناطیسی ادوار سمجھا جاتا ہے۔ میری کتاب "برقی آلات" میں اس ترکیب پر پورا باب ہے اور پوری کتاب میں اسی ترکیب کو استعمال کرتے ہوئے مختلف برقی مشین پر غور کیا گیا ہے۔ آئیں اس ترکیب کو دیکھیں۔

2521

سب سے پہلے ان برقی اور مقناطیسی مساوات کو پاس پاس لکھتے ہیں جن کی مدد سے مقناطیسی ادوار کا تصور پیدا ہوتا ہے۔ برقی دباؤ اور برقی میدان کی شدت کا تعلق

(8.50)

$$E = -\nabla V$$

ہے۔ غیر سمتی مقناطیسی دباؤ اور مقناطیسی میدان کی شدت کے تعلق

$$(8.51) \quad H = -\nabla V_m$$

سے بھی آپ بخوبی واقف ہیں۔ منبع برقی دباؤ کو محرک برقی دباؤ پکارا جاتا ہے۔ اسی مشابہت کی بنا پر غیر مقناطیسی دباؤ کو محرک مقناطیسی دباؤ پکارا جائے گا۔ متحرک مقناطیسی دباؤ کی اکائی ایمپیر ہے۔ حقیقت میں عموماً متعدد چکر کے لچھے کو بطور متحرک مقناطیسی دباؤ استعمال کیا جاتا ہے اور یوں اس کی اکائی ایمپیر چکر³⁰ لی جاتی ہے۔ یاد رہے کہ غیر سمتی مقناطیسی دباؤ صرف اس خطے میں معنی رکھتا ہے جہاں برقی روموجود نہ ہو۔

2524

دو نقطوں کے درمیان برقی دباؤ کے فرق کو

$$(8.52) \quad V_{AB} = - \int_B^A \mathbf{E} \cdot d\mathbf{L}$$

لکھا جاتا ہے۔ بالکل اسی طرح دو نقطوں کے درمیان مقناطیسی دباؤ کے فرق کو

$$(8.53) \quad V_{mAB} = - \int_B^A \mathbf{H} \cdot d\mathbf{L}$$

لکھا جاتا ہے۔ صفحہ 236 پر مساوات 7.83 میں بتلایا گیا کہ غیر سمتی مقناطیسی دباؤ کے حصول کے دوران مندرجہ بالا تکمیل میں $\phi = \pi$ پر سے نہیں گزرا جائے گا۔ اس حقیقت کا خیال رکھنا ضروری ہے۔

2526

برقی ادوار میں اوہم کے قانون کی نقطہ شکل

$$(8.54) \quad \mathbf{J} = \sigma \mathbf{E}$$

سے کون خبردار نہیں ہے۔ یہ مساوات کثافت برقی روادور برقی میدان کے شدت کا تعلق بیان کرتی ہے۔ مقناطیسی ادوار میں اس کا مقابل

$$(8.55) \quad \mathbf{B} = \mu \mathbf{H}$$

2527

ہے جو کثافت مقناطیسی بہاؤ اور مقناطیسی میدان کے شدت کا تعلق پیش کرتی ہے۔

کل برقی روبذریعہ سطحی تکمل

$$(8.56) \quad I = \int_S \mathbf{J} \cdot d\mathbf{S}$$

حاصل ہوتی ہے۔ کل مقناطیسی بہاؤ بھی ایسے ہی تکمل سے حاصل ہوگا لہذا

$$(8.57) \quad \Phi = \int_S \mathbf{B} \cdot d\mathbf{S}$$

2528

لکھا جائے گا۔ یوں برقی ادوار میں I اور مقناطیسی ادوار میں Φ اہمیت کے حامل ہیں۔

برقی ادوار میں برقی دباؤ اور برقی رو کی شرح کو برقی مزاحمت پکارا اور R سے ظاہر کیا جاتا ہے یعنی

$$(8.58) \quad V = IR$$

ہم بالکل اسی طرح متحرک مقناطیسی دباؤ اور مقناطیسی بہاؤ کی شرح کو ہچکچاہٹ کا نام دیتے ہیں جسے \mathfrak{R} سے ظاہر کیا جائے گا لہذا مقناطیس ادوار کے لئے

$$(8.59) \quad V_m = \Phi \mathfrak{R}$$

لکھا جاسکتا ہے۔ ہچکچاہٹ کی اکائی ایمپیر۔ چکرنی ویبر (A · t / Wb) ہے۔

2529

خطی اور غیر سمتی خاصیت کے یکساں مادہ جس کی موصلیت σ ہو سے بنایا گیا برقی مزاحمت

$$(8.60) \quad R = \frac{d}{\sigma S}$$

کے برابر ہے جہاں مزاحمت کی لمبائی d اور اس کا رقبہ عمودی تراش پورے لمبائی پر یکساں S کے برابر ہے۔ اگر خطی اور غیر سمتی خاصیت کے یکساں مادہ سے ہچکچاہٹ بنایا جائے تو اس کی قیمت

$$(8.61) \quad \mathfrak{R} = \frac{d}{\mu S}$$

ہوگی جہاں ہچکچاہٹ کی لمبائی d اور اس کا رقبہ عمودی تراش پورے لمبائی پر یکساں S کے برابر ہے۔ حقیقت میں ہوا کے علاوہ ایسا کوئی مادہ نہیں پایا جاتا جس سے μ قیمت کی ہچکچاہٹ بنائی جاسکے۔

2531

2532

مثال 8.5: ایک سلاخ جس کی لمبائی 15 cm اور رداس 1 mm ہے کی موصلیت $\frac{S}{m}$ 1200 ہے پر 220 V برقی دباؤ لگوئی جاتی ہے۔ سلاخ کی مزاحمت اور اس میں برقی رو حاصل کریں۔ سلاخ میں کثافت برقی رو بھی حاصل کریں۔

2534

حل: مزاحمت

$$R = \frac{d}{\sigma A} = \frac{0.15}{7 \times 10^4 \times \pi \times 0.001^2} = 39.8 \Omega$$

اور برقی رو

$$I = \frac{V}{R} = \frac{220}{39.8} = 5.5 \text{ A}$$

اور یوں کثافت برقی رو ہوگا

$$J = \frac{I}{A} = \frac{5.5}{\pi \times 0.001^2} = 1.75 \frac{\text{MA}}{\text{m}^2}$$

2535

2536

مثال 8.6: ایک سلاخ جس کی لمبائی 15 cm اور رداس 2 cm ہے کا جزو مقناطیسی مستقل 1000 ہے۔ اس پر 100 چکر کا لچھا جس میں 0.5 A برقی رو ہو مقناطیسی دباؤ لگو کرتا ہے۔ سلاخ کی ہچکچاہٹ اور اس میں مقناطیسی بہاؤ حاصل کریں۔ سلاخ میں کثافت مقناطیسی بہاؤ بھی حاصل کریں۔

2538

حل: ہچکاہٹ

$$\mathcal{R} = \frac{d}{\mu_R \mu_0 A} = \frac{0.15}{1000 \times 4 \times \pi \times 10^{-7} \times \pi \times 0.02^2} = 94988 \text{ A} \cdot \text{t/Wb}$$

اور مقناطیسی بہاؤ

$$\Phi = \frac{V_m}{\mathcal{R}} = \frac{100 \times 0.5}{94988} = 0.53 \text{ mWb}$$

اور یوں کثافت مقناطیسی بہاؤ ہوگی

$$B = \frac{\Phi}{A} = \frac{0.00053}{\pi \times 0.02^2} = 0.42 \text{ T}$$

8.9 مقناطیسی مخفی توانائی

ساکن برقی میدان پر غور کے دوران ہم نے نقطہ چارج پر قوت کے تجرباتی نتائج سے کولومب کا قانون اخذ کیا۔ اس قانون کو استعمال کرتے ہوئے مختلف نقطہ چارج کولامحدود فاصلے سے مختلف اختتامی مقامات پر رکھنے کی خاطر کل درکار توانائی حاصل کی گئی۔ یہی ساکن برقی میدان کی مخفی توانائی تھی۔ اس مخفی توانائی کی عمومی مساوات

$$W_{\text{برقی}} = \frac{1}{2} \int_h \mathbf{D} \cdot \mathbf{E} \, dh \quad (8.62)$$

ہے جہاں \mathbf{D} اور \mathbf{E} کا تعلق راست تناسب تصور کیا گیا ہے۔

یہاں خیال آتا ہے کہ مقناطیسی میدان کی مخفی توانائی بھی اسی طرز پر حاصل کی جاسکتی ہے جیسے برقی میدان کی مخفی توانائی حاصل کی گئی تھی، یعنی، ایک برقی رو گزارتے تار کے قریب دوسرے برقی رو گزارتے تار کو قریب لاتے ہوئے درکار توانائی معلوم کر کے۔ حقیقت میں معاملہ اتنا سادہ نہیں ہے۔ جیسے کہ اگلے باب میں بتلایا جائے گا، مقناطیسی میدان میں حرکت کرتے حصے میں برقی دباؤ پیدا ہوتا ہے جس میں معاملہ خاصہ تبدیل ہو جاتا ہے۔

مقناطیسی میدان کی مخفی توانائی اگلے باب میں **پوینٹنگ سمتیہ**³¹ سے حاصل کی جائے گی۔ یہاں مقناطیسی مخفی توانائی کی مساوات صفر پیش کرتے ہیں

$$W_{\text{مقناطیسی}} = \frac{1}{2} \int_h \mathbf{B} \cdot \mathbf{H} \, dh \quad (8.63)$$

جو شکل سے برقی مخفی توانائی کے مساوات کے قریبی مشابہت رکھتا ہے۔ اس میں $\mu \mathbf{H} = \mathbf{B}$ پر کرنے سے

$$W_{\text{مقناطیسی}} = \frac{1}{2} \int_h \mu H^2 \, dh \quad (8.64)$$

اور

$$W_{\text{مقناطیسی}} = \frac{1}{2} \int_h \frac{B^2}{\mu} \, dh \quad (8.65)$$

بھی حاصل ہوتے ہیں۔

برقی مخفی توانائی کی طرح یہاں بھی یہ بتلانا کہ مخفی توانائی درحقیقت کہاں پر ہے ناممکن ثابت ہوتا ہے البتہ حساب و کتاب آسان بنانے کی خاطر ہم فرض کر سکتے ہیں کہ یہ توانائی پورے حجم میں بطور کثافت توانائی $\frac{1}{2} \mathbf{B} \cdot \mathbf{H}$ پائی جاتی ہے جسے جاول فی مربع میٹر J/m^3 میں ناپا جائے گا۔

8.10 خود امالہ اور مشترکہ امالہ

برقی ادوار میں مزاحمت، کپیسٹر اور امالہ کردار ادا کرتے ہیں۔ مزاحمت اور کپیسٹر پر ہم بات کر چکے ہیں۔ برقی دہاؤ اور برقی رو کی شرح کو مزاحمت کہا گیا۔ ہم نے دیکھا کہ مزاحمت کے قیمت کا دار و مدار مزاحمت کے لمبائی، رقبہ عمودی تراش اور موصلیت پر ہے۔ اسی طرح دو چادروں میں سے کسی ایک پر چارج کی حتمی قیمت اور دو چادروں کے درمیان برقی دہاؤ کی شرح کو کپیسٹنس کہا گیا۔ ہم نے دیکھا کہ کپیسٹر کے قیمت کا دار و مدار کپیسٹر کے چادروں کے رقبہ، ان چادروں کے درمیان فاصلے اور چادروں کے درمیان مادے کی برقی مستقل پر ہے۔ یوں مزاحمت اور کپیسٹر کے قیمت ان کے شکل، جسامت اور مادے کے مستقل پر ہے۔ اس حصے میں ہم امالہ L پر غور کریں گے جس کی اکائی **ہینری** H^{32} ہے۔ نیچے کئی مساوات میں امالہ اور فاصلہ دونوں کے لئے ایک ہی علامت یعنی L استعمال کیا گیا ہے۔ امید کی جاتی ہے کہ متن سے ان کا فرق کرنا ممکن ہو گا۔ ہم دیکھیں گے کہ اس کے قیمت کا دار و مدار امالہ کی شکل، جسامت اور مقناطیسی مستقل پر ہے۔

امالہ سمجھنے کی خاطر **ارتباط بہاؤ**³³ کا ذکر ضروری ہے۔ تصور کریں کہ N چکر لالچھا جس میں I برقی رو گزر رہا ہے کل Φ مقناطیسی بہاؤ پیدا کرتا ہے۔ تصور کریں کہ Φ ان تمام N چکر سے گزرتی ہے۔ یوں تمام کا تمام مقناطیسی بہاؤ ہر چکر سے گزرتی ہے۔ یوں پہلے چکر سے Φ بہاؤ گزرتی ہے اور اسی طرح بقایا ہر چکر سے بھی اتنی ہی بہاؤ گزرتی ہے۔ ارتباط بہاؤ سے مراد $N\Phi$ ہے یعنی تمام چکر سے گزرتی بہاؤ کا مجموعہ۔

ارتباط بہاؤ اور برقی رو کی شرح کو امالہ کہا جاتا ہے۔ اگر ارتباط بہاؤ اسی برقی رو سے پیدا ہوتا ہے ان کی شرح کو **خود امالہ**³⁴ کہتے ہیں جسے عموماً چھوٹا کر کے صرف **امالہ** پکارا جاتا ہے۔ اس کے برعکس اگر برقی رو ایک تار میں ہو اور ارتباط بہاؤ دوسری تار کی ہو تب ان کی شرح کو **مشترکہ امالہ**³⁵ کہتے ہیں۔ اس حصے میں خود امالہ پر ہی غور کیا جائے گا۔ اگلے حصے میں مشترکہ امالہ پر غور کیا جائے گا۔

$$L = \frac{N\Phi}{I} \quad (8.66)$$

اس مساوات میں تصور کیا گیا ہے کہ پورا مقناطیسی بہاؤ تمام چکر سے گزرتی ہے۔ امالہ کی یہ تعریف صفر خطی مقناطیسی اشیاء کے لئے معنی رکھتی ہے۔ خطی مقناطیسی اشیاء سے مراد ایسے مقناطیسی اشیاء ہیں جن میں مقناطیسی بہاؤ اور برقی رو راست تناسب کا تعلق رکھتے ہیں۔ فولادی مقناطیسی اشیاء میں مقناطیسی چال کی بنا پر امالہ کی کوئی ایک تعریف تمام موقعوں کے لئے کارآمد ثابت نہیں ہوتا۔ ہم خطی مقناطیسی اشیاء تک ہی بحث کو محدود رکھیں گے۔

آئیں ہم محوری تار کے اکائی لمبائی کی امالہ حاصل کریں۔ صفحہ 205 پر مساوات 7.13

$$H_\phi = \frac{I}{2\pi\rho} \quad (\rho_1 < \rho < \rho_2)$$

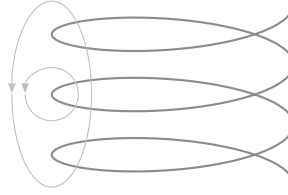
ہم محوری تار میں تاروں کے درمیانی خطے میں مقناطیسی شدت دیتا ہے جسے استعمال کرتے ہوئے اس خطے میں z_0 لمبائی پر کل مقناطیسی بہاؤ

$$\begin{aligned} \Phi &= \int_S B_\phi dS \\ &= \int_0^{z_0} \int_{\rho_1}^{\rho_2} \frac{\mu I d\rho dz}{2\pi\rho} \\ &= \frac{\mu I z_0}{2\pi} \ln \frac{\rho_2}{\rho_1} \end{aligned}$$

حاصل کیا جاسکتا ہے۔ یہ مقناطیسی بہاؤ دونوں تاروں کے درمیان خطے میں اندرونی تار کے گرد گھومتی ہے لہذا مکمل میں کسی بھی زاویہ پر z_0 لمبی ρ_1 تا ρ_2 رداسی سطح لی جاسکتی ہے۔ یوں اکائی لمبائی پر ہم محوری تار کی امالہ

$$L = \frac{\mu I}{2\pi} \ln \frac{\rho_2}{\rho_1} \quad (8.67)$$

ہوگی۔ یہاں $N = 1$ یعنی ایک ہی چکر ہے اور تمام کا تمام مقناطیسی بہاؤ پورے برقی رو کے گرد چکر کاٹتی ہے۔



شکل 8.10: متعدد چکر کے لچھے میں ہر چکر سے گزرنی مقناطیسی بہاؤ مختلف ہو سکتی ہے۔

اب تصور کریں کہ پیچدار لچھے کی امالہ درکار ہو جسے شکل 8.10 میں دکھایا گیا ہے۔ ایسے لچھے کے پہلے چکر کا پورا بہاؤ پہلے چکر سے گزرتی ہے البتہ اس کا کچھ ہی حصہ دوسرے یا تیسرے چکر سے گزرتی ہے۔ یہی کچھ بقایا چکر کے بارے میں بھی کہا جاسکتا ہے۔ ایسی صورت میں لچھے کی ارتباط بہاؤ حاصل کرنے کی خاطر ہر چکر سے گزرتی انفرادی بہاؤ لیتے ہوئے تمام کا مجموعہ حاصل کیا جائے گا یعنی

$$\text{ارتباط بہاؤ} = \Phi_1 + \Phi_2 + \dots + \Phi_N = \sum_{i=1}^N \Phi_i$$

آئیں اب امالہ کی عمومی مساوات حاصل کریں۔

کسی بھی بند راہ پر یک سمتی برقی رو I گزرنے سے کثافت مقناطیسی بہاؤ B

$$B = \nabla \times A$$

پیدا ہوتی ہے جہاں A سمتی مقناطیسی دباؤ ہے جسے

$$A = \frac{\mu_0 I}{4\pi} \oint \frac{dL}{R}$$

سے حاصل کیا جاسکتا ہے۔ ایسی بند راہ سطح S کو گھیرتی ہے جس میں سے گزرتی کل مقناطیسی بہاؤ Φ کو مکمل

$$\Phi = \int_S B \cdot dS$$

سے حاصل کیا جاسکتا ہے۔ اس مکمل میں B پر کرنے سے

$$\Phi = \int_S (\nabla \times A) \cdot dS$$

حاصل ہوتا ہے۔ مسئلہ بايوٹ سیوارٹ کی مدد سے اسے

$$\Phi = \oint A \cdot dL$$

لکھا جاسکتا ہے جہاں بند مکمل سطح کے سرحد یعنی برقی رو گزارتے بند راہ پر حاصل کیا جائے گا۔ اس مساوات میں A پر کرنے سے

$$\Phi = \frac{\mu_0 I}{4\pi} \oint \left(\oint \frac{dL}{R} \right) \cdot dL$$

حاصل ہوتا ہے۔ یوں امالہ کی عمومی مساوات

$$L = \frac{\mu_0}{4\pi} \oint \left(\oint \frac{dL}{R} \right) \cdot dL$$

حاصل ہوتی ہے۔ یہاں تکمل کے اندر L فاصلے کو ظاہر کرتی ہے جبکہ مساوات کے بائیں ہاتھ بھی علامت امالہ کو ظاہر کرتی ہے۔

2563

امالہ کی مساوات سے ظاہر ہے کہ امالہ کی قیمت کا دار و مدار صرف اور صرف تار یا لچھے کی شکل و جسامت اور مقناطیسی مستقل پر منحصر ہے۔

2564

امالہ کی مساوات حاصل کرنے کی خاطر سطحی تکمل لیا گیا۔ ایک چکر کے بند راہ جس سطح کو گھیرتی ہے، اس کی شکل ذہن میں آسانی سے بن جاتی ہے البتہ پیچدار لچھا جس سطح کو گھیرتا ہے اس کی شکل ذہن میں ذرہ مشکل³⁶ سے بنتی ہے۔ سطحی تکمل لیتے وقت ایسی تمام ممکنہ سطح استعمال کی جاسکتی ہیں جن کا سرحد پیچدار لچھے کی تار ہو۔

2567

برقی رو گزارتے تار کی رداس صفر کرنے سے بایوٹ سیوارٹ کے قانون کے تحت لامحدود کثافت مقناطیسی بہاؤ حاصل ہوگی جس سے لامحدود توانائی اور لامحدود امالہ حاصل ہوتا ہے۔ حقیقت میں قابل استعمال جوابات حاصل کرنے کی خاطر تار کے رداس چھوٹا ضرور لیکن صفر کبھی تصور نہیں کیا جاتا۔

2569

کسی بھی برقی رو گزارتے تار کے اندر بھی زاویائی مقناطیسی بہاؤ پایا جاتا ہے۔ تار کے محور کے قریب گھومتی اندرونی بہاؤ کم برقی رو کو گھیرتی ہے جبکہ محور سے دور زاویائی اندرونی بہاؤ زیادہ برقی رو گھیرتی ہے۔ جیسا آپ اگلے بابوں میں پڑھیں گے، زیادہ تعدد پر تار کے بیرونی سطح کے قریب زیادہ برقی رو گزرتی ہے لہذا زیادہ تعدد پر تار کی اندرونی امالہ کا کردار قابل نظر انداز ہوتا ہے البتہ کم تعدد پر اس کا حساب رکھنا ضروری ہوتا ہے۔

2572

2573

مثال 8.7: لامحدود لمبائی کے تار کی اندرونی امالہ حاصل کریں۔

2574

حل: رداس ρ_1 کے تار کو z محدود پر تصور کرتے ہیں۔ تار میں کثافت برقی رو یکساں تصور کرتے ہوئے $J = \frac{I}{\pi \rho_1^2}$ حاصل ہوتا ہے۔ رداس ρ پر گول دائرہ $\frac{I \rho^2}{\rho_1^2}$ برقی رو گھیرتا ہے لہذا ایمپیر کے دوری قانون کے تحت اس دائرے پر زاویائی شدت $H_\phi = \frac{I \rho}{2\pi \rho_1^2}$ ہوگی۔ رداس ρ پر $d\rho$ چوڑائی اور z_0 لمبائی کی مستطیل سطح سے

$$d\Phi = B_\phi z_0 d\rho = \mu H_\phi z_0 d\rho$$

بہاؤ گزرے گی۔ اگر تار کو متعدد باریک متوازی تاروں کا مجموعہ تصور کیا جائے تو مندرجہ بالا تفرقی بہاؤ صفر ρ کے اندر تاروں کو گھیرتی ہے جو ایک چکر کا صرف $\frac{\rho^2}{\rho_1^2}$ حصہ ہیں لہذا یہ تفرقی بہاؤ صرف

$$\text{تفرقی ارتباط بہاؤ} = \frac{\rho^2}{\rho_1^2} d\Phi = \frac{\rho^2}{\rho_1^2} \mu H_\phi z_0 d\rho = \frac{\mu I z_0}{2\pi \rho_1^4} \rho^3 d\rho$$

دیتی ہے۔ اگر تفرقی بہاؤ تمام فرضی باریک تاروں کو گھیرتی تب یہ ایک چکر شمار ہوتا۔ یوں تکمل سے اندرونی ارتباط بہاؤ

$$\text{ارتباط بہاؤ} = \int_0^{\rho_1} \frac{\mu I z_0}{2\pi \rho_1^4} \rho^3 d\rho = \frac{\mu I z_0}{8\pi}$$

حاصل ہوتی ہے جس سے اندرونی امالہ

$$L_{\text{اندرونی}} = \frac{\mu z_0}{8\pi}$$

یانی میٹر امالہ

(8.69)

$$L_{\text{اندرونی فی میٹر}} = \frac{\mu}{8\pi}$$

³⁶ آپ لچھے کے محور پر سلاخ تصور کرتے ہوئے اس کے گرد گول گھومتی اور اوپر جاتی سطح تصور کر سکتے ہیں۔

حاصل ہوتی ہے۔

2575

2576

2577

مشق 8.2: صفحہ 205 میں ہم محوری تار دکھائی گئی ہے۔ بیرونی تار کی اندرونی امالہ حاصل کریں۔

2578

جوابات: تار کی لمبائی z_0 لیتے ہوئے

$$I_{\text{کھرب}} = \left(\frac{\rho_3^2 - \rho^2}{\rho_3^2 - \rho_2^2} \right) I$$

$$H_\phi = \frac{I}{2\pi\rho} \left(\frac{\rho_3^2 - \rho^2}{\rho_3^2 - \rho_2^2} \right)$$

$$d\Phi = \mu H_\phi z_0 d\rho$$

حاصل ہوتا ہے۔ یہ تفرقی بہاؤ ایک چکر کے $\frac{\rho_3^2 - \rho^2}{\rho_3^2 - \rho_2^2}$ حصے کے گرد گھومتی ہے لہذا تفرقی ارتباط بہاؤ

$$\text{تفرقی ارتباط بہاؤ} = \frac{\mu I z_0}{2\pi\rho} \left(\frac{\rho_3^2 - \rho^2}{\rho_3^2 - \rho_2^2} \right)^2 d\rho$$

اور یوں $z_0 = 1$ پر کرتے ہوئے فی میٹر امالہ

$$(8.70) \quad L_{\text{بیرونی تار}} = \frac{\mu}{2\pi (\rho_3^2 - \rho_2^2)^2} \left(\rho_3^4 \ln \frac{\rho_3}{\rho_2} - \frac{\rho_2^4}{4} - \frac{3\rho_3^4}{4} + \rho_2^2 \rho_3^2 \right)$$

2579

حاصل ہوتی ہے۔

2580

مساوات 8.69 ہی ہم محوری تار کے اندرونی تار کی امالہ دیتا ہے۔ یوں کم تعدد پر مساوات 8.67، مساوات 8.69 اور مساوات 8.70 کا مجموعہ

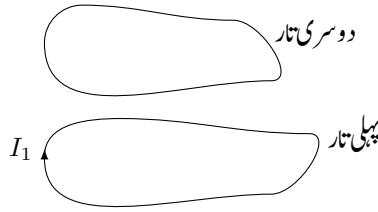
$$(8.71) \quad L = \frac{\mu I}{2\pi} \ln \frac{\rho_2}{\rho_1} + \frac{\mu}{8\pi} + \frac{\mu}{2\pi (\rho_3^2 - \rho_2^2)^2} \left(\rho_3^4 \ln \frac{\rho_3}{\rho_2} - \frac{\rho_2^4}{4} - \frac{3\rho_3^4}{4} + \rho_2^2 \rho_3^2 \right)$$

فی میٹر ہم محوری تار کا کل امالہ ہو گا۔ جیسے اگلے بابوں میں بتلایا جائے گا، بلند تعدد پر تار میں کثافت برقی روکیں نہیں رہتی جس کی وجہ سے تار کی اندرونی امالہ تقابل نظر انداز ہو جاتی ہے۔ یوں بلند تعدد پر مساوات 8.67 ہی فی میٹر تار کی امالہ دے گا۔

2582

آپ امالہ کے مخفی توانائی

$$(8.72) \quad W = \frac{LI^2}{2}$$



شکل 8.11: مشترکہ امالہ۔

سے بخوبی واقف ہیں جہاں مخفی توانائی مساوات 8.63، مساوات 8.64 یا مساوات 8.65 سے حاصل کی جاسکتی ہے۔ انہیں استعمال کرتے ہوئے امالہ یوں بھی حاصل کی جاسکتی ہے۔

$$\begin{aligned}
 L &= \frac{2W}{I^2} = \frac{1}{I^2} \int_h \mathbf{B} \cdot \mathbf{H} \, dh \\
 &= \frac{1}{I^2} \int_h \mu H^2 \, dh \\
 &= \frac{1}{I^2} \int_h \frac{B^2}{\mu} \, dh
 \end{aligned}
 \quad (8.73)$$

آپ سے مندرجہ بالا مساوات استعمال کرتے ہوئے، سوال 8.2 میں لا محدود لمبائی کے سیدھی تار کی امالہ اور سوال 8.3 میں ہم محوری تار کے بیرونی تار کی امالہ وونی امالہ حاصل کرنے کو کہا گیا ہے۔

2584

8.11 مشترکہ امالہ

2585

شکل 8.11 میں دو تار دکھائے گئے ہیں۔ انہیں پہلی تار میں برقی رو I سے پیدا مقناطیسی بہاؤ کا وہ حصہ حاصل کریں جو دوسرے تار سے گزرتا ہے۔ ان معلومات سے دونوں تاروں کے مابین **مشترکہ امالہ** حاصل کیا جائے گا۔ خود امالہ حاصل کرنے کے طرز پر دوسرے تار سے گزرتی بہاؤ کو

$$\Phi_2 = \frac{\mu_0 I_1}{4\pi} \oint \left(\oint \frac{dL_1}{R} \right) \cdot dL_2$$

لکھا جاسکتا ہے جہاں اندرونی مکمل پہلی تار پر ہے اور یہ کسی بھی نقطے پر مقناطیسی میدان دیتا ہے جبکہ دوسری مکمل دوسرے تار پر ہے جس میں سے گزرتی بہاؤ کا حصول درکار ہے۔ مشترکہ امالہ M_{21} کی تعریف

$$M_{21} = \frac{\Phi_2}{I_1} \quad (8.74)$$

ہے جس سے

$$M_{21} = \frac{\mu_0}{4\pi} \oint \left(\oint \frac{dL_1}{R} \right) \cdot dL_2 \quad (8.75)$$

2586

حاصل ہوتا ہے۔

اگر دوسری تار میں برقی رول جاتی اور پہلی سے گزرتی بہاؤ حاصل کی جاتی تب

$$M_{12} = \frac{\mu_0}{4\pi} \oint \left(\oint \frac{dL_2}{R} \right) \cdot dL_1 \quad (8.76)$$

حاصل ہوتا۔ مندرجہ بالا دو درجی تکمل میں اندرونی تکمل دوسری راہ پر ہے جبکہ بیرونی تکمل پہلی راہ پر ہے۔ تکمل لینے کی ترتیب بدلتے ہوئے اگر پہلا تکمل پہلی راہ پر لیا جائے اور بعد میں دوسری راہ پر تکمل لیا جائے تو تکمل کی قیمت میں کوئی تبدیلی رونما نہیں ہوگی لیکن ایسا کرنے سے ہمیں ہو بہو مساوات 8.75 ملتا ہے لہذا

$$M_{21} = M_{12} \quad (8.77)$$

حاصل ہوتا ہے۔ یہ انتہائی اہم نتیجہ ہے جس کے تحت کسی بھی دو لچھوں کے درمیان مشترکہ امالہ دونوں جانب سے برابر حاصل ہوتی ہے۔

2587

2588

سوالات

سوال 8.1: صفحہ 205 میں ہم محوری تار دکھائی گئی ہے۔ تصور کریں کہ اس ہم محوری تار کے اندرونی تار میں برقی روصفر کے برابر ہے جبکہ بیرونی تار میں برقی روصفر کے برابر ہے۔ بیرونی تار کی فی میٹر اندرونی امالہ مثال 8.2 کی طرز پر حاصل کریں۔

2590

$$\text{جواب:} \quad \frac{\mu}{2\pi(\rho_3^2 - \rho_2^2)^2} \left[\rho_2^4 \ln \frac{\rho_3}{\rho_2} + \frac{\rho_3^4 - \rho_2^4}{4} - \rho_2^2 (\rho_3^2 - \rho_2^2) \right]$$

2591

سوال 8.2: لا محدود لمبائی کے سیدھی تار کی امالہ مساوات 8.73 کی مدد سے حاصل کریں۔

2592

سوال 8.3: صفحہ 274 پر مثال 8.2 میں ہم محوری تار کے بیرونی تار کی اندرونی امالہ حاصل کی گئی۔ اسی کو دوبارہ مساوات 8.73 کی مدد سے حاصل کریں۔

2593

$$\text{جواب:} \quad \text{بیرونی تار میں} \quad H = \frac{I}{2\pi\rho} \left(\frac{\rho_3^2 - \rho^2}{\rho_3^2 - \rho_2^2} \right) \text{ استعمال کرتے ہوئے آگے بڑھیں۔}$$

2594

2595

باب 16

سوالات

سوال 16.1: میدان $E = 1.5a_z \frac{V}{m}$ میں الیکٹران حرکت کرتا ہے۔ لمحہ $t = 0$ پر الیکٹران نقطہ $(0, 0, 0)$ پر پایا جاتا ہے جبکہ اس کی سمتی رفتار $v = 3 \times 10^5 a_x \frac{m}{s}$ ہے۔ الیکٹران کا چارج $-1.6 \times 10^{-19} C$ اور اس کی کمیت $3.1 \times 10^{-31} kg$ ہے۔ نیوٹن کے قوانین حرکت سے تفرقی مساوات لکھ کر اسے حل کرتے ہوئے لمحہ $t = 150 ns$ پر الیکٹران کی سمتی رفتار، مقام اور حرکی توانائی دریافت کریں۔

جوابات: $1.63 \times 10^{-20} J$ ، $(0.045, 0, -3.48)$ ، $v = 300\,000a_x - 116\,129a_z \frac{m}{s}$

سوال 16.2: مقناطیسی میدان $B = 0.3a_x - 0.2a_y - 0.4a_z T$ میں لمحہ $t = 0$ پر الیکٹران کی سمتی رفتار $v = 10^6 a_z \frac{m}{s}$ ہے۔ الیکٹران پر قوت دریافت کریں۔ ایسا برقی میدان حاصل کریں جس کی موجودگی میں مقناطیسی اور برقی میدان مل کر اس الیکٹران پر صفر قوت پیدا کرتے ہیں۔

جواب: $E = -200a_x - 300a_y \frac{V}{m}$ ، $F = -32a_x - 48a_y fN$

سوال 16.3: میدان $B = 2a_x - 1a_y + 3a_z T$ اور $E = 3a_x + 2a_y - 1a_z \frac{V}{m}$ میں چارج $1.2 \mu C$ حرکت کر رہا ہے۔ لمحہ $t = 0$ پر اس کی رفتار $v = 10a_x - 30a_y + 20a_z \frac{km}{s}$ ہے۔ یہ چارج $5 \mu g$ کے کمیت پر پایا جاتا ہے۔ لمحہ $t = 0$ پر چارج کی اسراع حاصل کریں۔

جواب: $a = -16.8a_x + 2.4a_y + 12a_z \frac{Mm}{s^2}$

سوال 16.4: محدود z پر پڑی لامحدود لمبائی کے تار میں $5a_z A$ برقی رو گزر رہی ہے۔ اس کے قریب سطح $x = 0$ پر موصل تار $N_1(0, 1, 0)$ ، $N_2(0, 4, 0)$ ، $N_3(0, 4, 2)$ اور $N_4(0, 1, 2)$ نقطوں کو جوڑ کر مستطیل بناتی ہے جس میں N_1 سے N_2 جانب $2 A$ برقی رو چکر لگا رہی ہے۔ چکور کے چاروں اطراف پر قوت دریافت کرتے ہوئے پورے چکور پر قوت حاصل کریں۔

جوابات: تار $N_1(0, 1, 0)$ تا $N_2(0, 4, 0)$ پر قوت $2.77a_z \mu N$ ہے۔ گھڑی کے الٹ سمت چلتے ہوئے بقایا قوت $-1a_y \mu N$ ، $-2.77a_z \mu N$ اور $4a_y \mu N$ ہیں۔ یوں مستطیل پر کل قوت $3a_y \mu N$ ہے۔

سوال 16.5: محدود z پر پڑی لامحدود لمبائی کے تار میں $10a_z A$ برقی رو گزر رہی ہے۔ اس کے قریب نقطہ $N_1(2, 1, 3)$ سے $N_2(5, 4, 7)$ تک سیدھی موصل تار میں N_1 سے N_2 جانب $4 A$ برقی رو گزر رہی ہے۔ چھوٹی تار پر قوت حاصل کریں۔

جواب: $F = -6.74a_x - 4.49a_y + 8.42a_z \mu N$

سوال 16.6: سطح $x = 0$ پر مقناطیسی میدان کا z جزو $B_z = \frac{200}{z^2+1} \mu T$ پایا جاتا ہے۔ اس مقناطیسی جزو سے خطہ $1 < y < 3$ ، $-\infty < z < \infty$ میں کثافت $K = 0.2a_y \frac{A}{m}$ پر قوت حاصل کریں۔

جواب: $251a_x \mu N$

سوال 16.7: z محدود پڑی لامحدود لمبائی کے تار میں $2.2 A$ برقی رو پائی جاتی ہے۔ سطح $y = 0$ پر خطہ $1 \text{ mm} < x < 5 \text{ mm}$ پر a_z سمت میں کل $8 A$ برقی رو گزر رہی ہے۔ اس خطے کی فی میٹر لمبائی پر مقناطیسی قوت حاصل کریں۔ محدود z پر پڑی تار پر بھی فی میٹر قوت حاصل کریں۔

جواب: $1.4a_x \text{ mN}$ ، $-1.4a_x \text{ mN}$

سوال 16.8: محدود z پر پڑی لامحدود لمبائی کی تار میں I_1 برقی رو a_z جانب گزر رہی ہے۔ اس کے قریب سطح $z = 0$ پر تار $y = a$ ، $b < x < b$ میں I_2 برقی رو a_x سمت میں گزر رہی ہے۔ نقطہ $(0, 0, 0)$ کو محور لیتے ہوئے چھوٹی تار پر مروڑ حاصل کریں۔ صفحہ 260 پر شکل 8.6 میں صورت حال دکھایا گیا ہے۔

جواب: $-\frac{I_1 I_2 \mu_0}{\pi} \left(b - a \tan^{-1} \frac{b}{a} \right) a_y \text{ N m}$

سوال 16.9: موصل تار نقطہ $N_1(2, 0, 0)$ ، $N_2(5, 0, 0)$ ، $N_3(5, 0, 4)$ اور $N_4(2, 0, 4)$ کو جوڑ کر مستطیل بناتی ہے۔ مثبت y محدود کی جانب سے دیکھتے ہوئے، اس مستطیل میں $6 A$ برقی رو سمت گھڑی گردش کر رہی ہے۔ الف) یکساں میدان $B = 5a_x T$ کی صورت میں z محدود کو محور لیتے ہوئے مستطیل کے چاروں اطراف پر علیحدہ علیحدہ مروڑ حاصل کرتے ہوئے کل مروڑ حاصل کریں۔ ب) سطح $y = 0$ پر کلیر $x = 3$ کو محور لیتے ہوئے اسی یکساں میدان میں دوبارہ مروڑ حاصل کریں۔

جوابات: (الف) اور (ب): مستطیل کے چار حصوں پر مروڑ 0 ، $600a_z \text{ N m}$ ، 0 اور $-240a_z \text{ N m}$ ہے جس سے کل مروڑ $360a_z \text{ N m}$ حاصل ہوتا ہے۔

سوال 16.10: سوال 16.9 میں میدان یکساں ہے لہذا اس میں محور کا مروڑ پر کوئی اثر نہیں ہوتا۔ ایسی صورت میں مروڑ صفحہ 259 پر دئے مساوات 8.23 کی مدد سے حاصل کی جاسکتی ہے۔ ایسا ہی کریں۔

جواب: $360a_z \text{ N m}$

سوال 16.11: سوال 16.9 میں یکساں میدان کی جگہ اگر z محدود پڑی لامحدود لمبائی کے تار میں a_z جانب $25 A$ برقی رو میدان پیدا کرے تب محدود کے مرکز $(0, 0, 0)$ کو محور لیتے ہوئے مروڑ حاصل کریں۔ یاد رہے کہ یہ میدان غیر یکساں ہے لہذا مساوات 8.23 قابل استعمال نہیں ہے۔

جواب: مستطیل کے چار حصوں پر مروڑ $90a_y \mu \text{ N m}$ ، $-48a_y \mu \text{ N m}$ ، $120a_y \mu \text{ N m}$ ہے جس سے کل مروڑ $72a_y \mu \text{ N m}$ حاصل ہوتا ہے۔

سوال 16.12: دو سنٹی میٹر داس اور پانچ سو پچھر کے بیچ دار لچھے میں $3 A$ کی برقی رو گزر رہی ہے۔ یہ لچھا $1.5 T$ کے میدان میں پایا جاتا ہے۔ میدان اور لچھے کے محور آپس میں عمودی ہیں۔ لچھے پر مروڑ حاصل کریں۔

جواب: 2.83 N m

سوال 16.13: ایک مادہ میدان $B = 0.15za_y T$ میں پایا جاتا ہے۔ اس مادے کی $\chi = 2.5$ ہے۔ آپ سے گزارش ہے کہ J_m ، J_{33} ، M ، H ، μ_R اور J_T حاصل کریں۔

جوابات: $\mu_R = 3.5$ ، $H = 34.1z a_y \frac{kA}{m}$ ، $M = 85.3z a_y \frac{kA}{m}$ ، $J = -34.1a_x \frac{kA}{m^2}$ ، $J_m = -85.3a_x \frac{kA}{m^2}$ اور $J_T = -119a_x \frac{kA}{m^2}$

سوال 16.14: مندرجہ ذیل مادوں میں H حاصل کریں۔ الف) جزوی مقناطیسی مستقل $\mu_R = 2.2$ ، ایٹم کی تعدادی کثافت 1.5×10^{29} ایٹم فی مکعب میٹر جبکہ ہر ایٹم کا مقناطیسی جفت قطب $1.9 \times 10^{-30} a_x \frac{A}{m^2}$ ہے۔ ب) مادہ میں $M = 160a_z \frac{A}{m}$ اور اس کا مقناطیسی مستقل $\mu = 2.25 \frac{\mu_H}{m}$ ہے۔ پ) مادے کا $\chi_m = 0.65$ ہے جبکہ $B = 1.7a_y T$ ہے۔ ت) مساوات $\oint M \cdot dL = I_m$ کا استعمال کرتے ہوئے ایسے خطے میں M حاصل کریں جس میں تلکی سطح $\rho = 0.5 m$ پر $5a_z \frac{A}{m}$ اور تلکی سطح $\rho = 2.5 m$ پر $-1a_z \frac{A}{m}$ کثافت برقی رو پائی جاتی ہو۔

جوابات: $\mu_R = 0.24a_x \frac{A}{m}$ ، $202a_z \frac{A}{m}$ ، $820a_y \frac{kA}{m}$ اور $\rho < 0.5 m$ اور $\rho > 1 m$ خطوں میں $M = 0$ ہے جبکہ $0.5 < \rho < 2.5$ میں $M = \frac{2.5}{\rho} a_\phi \frac{A}{m}$ ہوگا۔

سوال 16.15: مندرجہ ذیل صورتوں میں مقناطیسیت M کی قیمت حاصل کریں۔ الف) میدان $B = 0.015 T$ اور $\chi_m = 0.002$ ہیں۔ ب) مقناطیسی شدت $H = 1600 \frac{A}{m}$ جبکہ مقناطیسی جزوی مستقل $\mu_R = 1.004$ ہے۔ پ) ایٹم کی تعدادی کثافت 6.5×10^{28} ایٹم فی مکعب میٹر ہے جبکہ ایک ایٹم کی مقناطیسی جفت قطب 3×10^{-30} ہے۔ تمام جفت قطب ایک ہی سمت میں ہیں۔

جوابات: $M = 23.8 \frac{A}{m}$ ، $6.4 \frac{A}{m}$ ، $0.195 \frac{A}{m}$

سوال 16.16: خطہ-1 کو مساوات $2x^2 + 3y - 4xz < 3$ ظاہر کرتی ہے جبکہ اس کی دوسری جانب خطہ-2 پایا جاتا ہے۔ ان کے جزوی مقناطیسی مستقل $\mu_{R1} = 1$ اور $\mu_{R2} = 2.2$ ہیں۔ نقطہ $N(2, 1, 1)$ پر پہلے خطے سے دوسرے خطے کی جانب اکائی سمتیہ حاصل کریں۔ اس نقطے پر پہلے خطے میں میدان $H = 15a_x - 5a_y - 10a_z$ ہے۔ دونوں خطوں میں اس نقطے پر میدان کے عمودی اور متوازی اجزاء حاصل کریں۔ سرحد کے عمود کے ساتھ دونوں خطوں میں میدان کا زاویہ حاصل کریں۔

جوابات: $H_{n1} = 5.6a_x + 4.2a_y - 11.2a_z$ ، $a_N = 0.42a_x + 0.32a_y - 0.85a_z$ ، $H_{m2} = 9.4a_x - 9.2a_y + 1.2a_z$ ، $H_{m1} = 9.4a_x - 9.2a_y + 1.2a_z$ ، $H_2 = 11.9a_x - 7.3a_y - 3.9a_z$ ، $H_{n2} = 2.6a_x + 1.9a_y - 5.1a_z$ ، $\theta_2 = 65.5^\circ$ ، $\theta_1 = 44.9^\circ$

سوال 16.17: $z < 0$ کو خطہ-الف ، $0 < z < 2$ کو خطہ-ب ، $2 < z < 3$ کو خطہ-پ جبکہ $z > 3$ کو خطہ-ت تصور کریں۔ خطہ-الف اور خطہ-ب خالی خلاء ہیں۔ خطہ-ب کا $\mu_R = 2.5$ جبکہ خطہ-پ کا $\mu_R = 1.5$ ہے۔ خطہ-الف میں میدان $H_1 = 3a_x - 2a_y + 5a_z$ پایا جاتا ہے۔ خطہ-الف ، ب ، پ اور ت میں میدان اور z محدد کے مابین زاویے حاصل کریں۔

جوابات: 35.8° ، 47.2° ، 61° ، 35.8°

سوال 16.18: ایک لمبے پیچ دار لچھے کارڈ اس 5 cm اور فی میٹر چکر 4000 ہیں۔ لچھے میں 100 mA برقی رو گزر رہی ہے۔ خطہ $\rho < a$ کا $\mu_R = 2.5$ ہے جبکہ بقایا خطے کا $\mu_R = 4.5$ ہے۔ الف) لچھے میں کل مقناطیسی بہاؤ $10 \mu Wb$ ہونے کی صورت میں a کی قیمت حاصل کریں۔ ب) دونوں خطوں میں برابر مقناطیسی بہاؤ کی صورت میں a کی قیمت اور کل بہاؤ حاصل کریں۔

جوابات: $12.7 \mu Wb$ ، 4 cm ، 4.96 cm

سوال 16.19: ایک مقناطیسی دور اندر سے کی شکل کا ہے۔ اندر سے کارقبہ عمودی تراش مستطیل ہے۔

جدول 16.1: σ

$\sigma, \frac{\text{S}}{\text{m}}$	چیز	$\sigma, \frac{\text{S}}{\text{m}}$	چیز
7×10^4	گرفتار	6.17×10^7	چاندی
1200	سلیکان	5.80×10^7	تانبا
100	فیرائٹ (عمومی قیمت)	4.10×10^7	سونا
5	سمندری پانی	3.82×10^7	المونیم
10^{-2}	چھونا پتھر	1.82×10^7	ٹنگسٹن
5×10^{-3}	چکنی مٹی	1.67×10^7	جست
10^{-3}	تازہ پانی	1.50×10^7	پیتل
10^{-4}	تقطیر شدہ پانی	1.45×10^7	نکل
10^{-5}	ریتیلی مٹی	1.03×10^7	لوبا
10^{-8}	سنگ مرمر	0.70×10^7	قلعی
10^{-9}	بیک لائٹ	0.60×10^7	کاربن سٹیل
10^{-10}	چینی مٹی	0.227×10^7	مینگنیز
2×10^{-13}	بیرا	0.22×10^7	جرمینیم
10^{-16}	پولیسٹرین پلاسٹک	0.11×10^7	سٹینلس سٹیل
10^{-17}	کوارٹس	0.10×10^7	نائیکروم

جدول 16.2 : $\sigma/\omega\epsilon$ and ϵ_R

$\sigma/\omega\epsilon$	ϵ_R	چیز
	1	خالی خلاء
	1.0006	ہوا
0.0006	8.8	المونیم آکسائیڈ
0.002	2.7	عنبر
0.022	4.74	بیک لائٹ
	1.001	کاربن ڈائی آکسائیڈ
	16	جرمنیم
0.001	4 تا 7	شیشہ
0.1	4.2	برف
0.0006	5.4	ابرق
0.02	3.5	نائلون
0.008	3	کاغذ
0.04	3.45	پلیکسی گلاس
0.0002	2.26	پلاسٹک (تھیلا بنانے والا)
0.000 05	2.55	پولیسٹرین
0.014	6	چینی مٹی
0.0006	4	ہائریکس شیشہ (برتن بنانے والا)
0.000 75	3.8	کوارٹس
0.002	2.5 تا 3	ریڑ
0.000 75	3.8	سلیکا SiO_2
	11.8	سلیکان
0.5	3.3	قدرتی برف
0.0001	5.9	کھانے کا نمک
0.07	2.8	خشک مٹی
0.0001	1.03	سٹائروفوم
0.0003	2.1	ٹیفلان
0.0015	100	ٹائٹینیم ڈائی آکسائیڈ
0.04	80	مقطر پانی
4		سمندری پانی
0.01	1.5 تا 4	خشک لکڑی

جدول 16.3: μ_R

μ_R	چیز
0.999 998 6	بسمت
0.999 999 42	پیرافین
0.999 999 5	لکڑی
0.999 999 81	چاندی
1.000 000 65	المونیم
1.000 000 79	بیریلم
50	نکل
60	ڈھلوان لوہا
300	مشین سٹیل
1000	فیرائٹ (عمومی قیمت)
2500	پریم بھرت (permalloy)
3000	ٹرانسفارمر پتری
3500	سیلکان لوہا
4000	خالص لوہا
20 000	میو میٹل (mumetal)
30 000	سنڈسٹ (sendust)
100 000	سوپریم بھرت (supermalloy)

جدول 16.4: اہم مستقل

قیمت	علامت	چیز
$(1.602\,189\,2 \pm 0.000\,004\,6) \times 10^{-19} \text{ C}$	c	الیکٹران چارج
$(9.109\,534 \pm 0.000\,047) \times 10^{-31} \text{ kg}$	m	الیکٹران کمیت
$(8.854\,187\,818 \pm 0.000\,000\,071) \times 10^{-12} \frac{\text{F}}{\text{m}}$	ϵ_0	برقی مستقل (خالی خلاء)
$4\pi 10^{-7} \frac{\text{H}}{\text{m}}$	μ_0	مقناطیسی مستقل (خالی خلاء)
$(2.997\,924\,574 \pm 0.000\,000\,011) \times 10^8 \frac{\text{m}}{\text{s}}$	c	روشنی کی رفتار (خالی خلاء)

